UNIVERSITÉ CHEIKH ANTA DIOP DE DAKAR FACULTÉ DES SCIENCES ET TECHNIQUES INSTITUT DES SCIENCES DE LA TERRE INSTITUT FRANCAIS DE LA RECHERCHE SCIENTIFIQUE POUR LE DEVELOPPEMENT EN COOPERATION (ORSTOM). CENTRE EXPERIMENTAL DE RECHERCHE ET D'ETUDE POUR L'EQUIPEMENT (CEREEQ)



N° d'ordre 0029/IST / 1991

#### **MEMOIRE**

présenté pour obtenir le grade

#### d'INGÉNIEUR - GÉOLOGUE DE CONCEPTION

par

Tamsir NDIAYE

## MISE EN ŒUVRE DE METHODES GEOPHYSIQUES POUR LA PROSPECTION DE GRAVELEUX LATERITIQUES

soutenu le 21 décembre 1991 devant la commission d'Examen composée de :

MM.	0.	DIA	Président
	J.P.	<b>MOURGUES</b>	Rapporteur
	I.	BAGUIDI	Rapporteur
	M.	MAURICE	Examinateur
	Α.	DIA	Examinateur
	M	RITZ	Evaminatour

#### **AVANT PROPOS**

Ce mémoire que nous présentons a été réalisé dans les laboratoires de l'ORSTOM et du CEREEQ.

Le but de ce travail était d'expérimenter les méthodes de prospection géophysique pour la recherche de graveleux latéritiques au Sénégal.

Dans un souci de livrer une information assez complète, nous avons abordé l'utilisation de ce matériau dans les techniques routières.

En entreprenant ce travail, nous n'ignorions pas les difficultés qui pourraient se dresser à nous. Mais une première étude expérimentale surtout dans le domaine exploré, fourmille souvent d'embûches.

La réalisation de ce travail n'a été possible que grâce à l'attention de nombreuses personnes qui ont bien voulu nous apporter leur aide, leurs conseils et auxquelles nous tenons à exprimer ici notre très sincère reconnaissance.

Il s'agit de:

Monsieur MOURGUES et de Monsieur MAURICE, pour avoir bien voulu suivre notre travail avec une attention particulière.

Monsieur Ousseynou DIA et Abdoulaye DIA, pour tout ce qu'ils ont eu à faire pour nous.

Monsieur I. GBAGUIDI, pour sa grande disponibilité.

Messieurs Magatte F.K. NIANG et à Rémi, pour avoir bien accepté de nous accompagner sur le terrain.

Nous témoignons nos remerciements à tous nos frères :

#### LISTE DES FIGURES

- Fig. 1 : Localisation géographique des sites test.
- Fig. 1a : Schéma type d'un profil d'altération latéritique.
- Fig. 2 : Dispositif quadripôle linéaire et symétrique, (AMNB)
- Fig. 3 : Distribution d'un courant à partir d'un dipôle AB.
- Fig. 4 : Morphologie des lignes de courant en fonction de l'écartement des électrodes A et B.
- Fig. 5 : Syscal R<sub>1</sub>. Résistivimètre utilisé pour les sondages électriques.
- Fig. 6 : Profil de résistivité avec une ligne AB mobile
- Fig. 7 : Déplacement des ondes sismiques dans les terrains.
- Fig. 8 : Sismographie à incrémentation de signal.
- Fig. 9 : Hodochrones des ondes longitudinales.
- Fig. 10 : Hodochrones dans le cas de 3 terrains
- Fig. 11 : Localisation des quatre sites test par rapport aux Routes Nationales.
- Fig. 12 : Localisation des sondages effectués à SEBIKOTANE.
- Fig. 13 : Coupes géologiques réalisées à partir des sondages électriques effectués à SEBIKOTANE.
- Fig. 14 : Localisation des sondages effectuées à NDIENE.
- Fig. 15 : Coupe réalisée sur le front de taille de la carrière de NDIENE2 côté Est.
- Fig. 16 : Coupes géologiques réalisées à partir des sondages électriques effectués à NDIENE.
- Fig. 17 : Coupes géologiques réalisées à partir des profils sismiques effectués à NDIENE.
- Fig. 18 : Localisation de sondages effectués à Keur Ibra Niane.
- Fig. 19 : Coupes géologiques réalisées à partir des sondages électriques effectuées à K.I.N.
- Fig. 20 : Coupe géologique réalisée à partir du sondage sismique effectué à K.I.N.
- Fig. 21 : Localisation des sondages effectués à KADAM.
- Fig. 22 : Coupes géologiques réalisées à partir des sondages électriques effectués à KADAM.
- Fig. 23 : Coupes géologiques réalisées à partir des sondages sismiques effectués à KADAM.

- Fig. 24 : Mesures faites sur le front de taille de la carrière de KADAM.
- Fig. 25 : Photo prise sur le côté SW du front de taille de la carrière de KADAM montrant le banc de grès quartzique.
- Fig. 26 : Coupe géologique synthétique à KADAM réalisée à partir du front de taille de la carrière de latérite.
- Fig. 27: "Trainés" électriques effectués à KADAM.
- Fig. 28 : Courbe  $\rho_a$ , CBR.
- Fig. 29 : Courbe V, CBR.
- Fig. 30 : Courbe C, Wopt.
- Fig. 31 : Courbe V, Ip.

#### LISTE DES ABREVIATIONS

 $\rho_a$  = Résistivité apparente

V = Vitesse des ondes sismiques

CBR = Californian Bearing Ratio (indice portant Californien)

W = Teneur en eau

Wopt = Teneur en eau optimum

 $\gamma d$  = Poids spécifique du graveleux sec

γh = Poids spécifique du graveleux humide

Pw = Poids de l'eau dans le graveleux

Ps = Poids des grains solides du graveleux

Wp = Limite de plasticité

W<sub>L</sub> = Limite de liquidité

Ip = Indice de plasticité

OPM = Optimum Proctor Modifié

 $\Omega$ .m = Ohm - mètre

Tr = Onde réfléchie

Td = Onde directe

Tc = Onde cônique

T. SCHL = "Traîné" Schlumberger

T.wen = "Traîné" Wenner

RN = Route Nationale

CEREEQ = Centre Expérimental de Recherche pour l'Equipement

I.S.T. = Institut des Sciences de la Terre

K.I.N. = Keur Ibra NIANE

### TABLE DES MATIERES

B - PREMIERE PARTIE : APPROCHE THEORIQUE DU PHENOMENE DE LATERISATION	
1 Nomenclature des matériaux latéritiques	
2 Mécanismes de formation des latérites	••
2.1 Altération des roches et latéritisation	
2.1.1 Décomposition des matériaux primaires	
2.1.2 Latéritisation	••
2.1.3 Induration	••
2 Classification des latérites	
3 Classification des latérites	
3.1 Les cuirasses latéritiques	
3.3 Les argiles latéritiques	
3.3 Les argnes faterniques	••
C - DEUXIEME PARTIE : PRINCIPE DES METHODES DE PROSPECTION GEOPHYSIQUE ET EXPLOITATION DES RESULTATS DES CAMPAGNES DE SONDAGE	
PROSPECTION GEOPHYSIQUE ET EXPLOITATION DES	••
PROSPECTION GEOPHYSIQUE ET EXPLOITATION DES RESULTATS DES CAMPAGNES DE SONDAGE	
PROSPECTION GEOPHYSIQUE ET EXPLOITATION DES RESULTATS DES CAMPAGNES DE SONDAGE  1 Généralités	••
PROSPECTION GEOPHYSIQUE ET EXPLOITATION DES RESULTATS DES CAMPAGNES DE SONDAGE  1 Généralités	
PROSPECTION GEOPHYSIQUE ET EXPLOITATION DES RESULTATS DES CAMPAGNES DE SONDAGE  1 Généralités	
PROSPECTION GEOPHYSIQUE ET EXPLOITATION DES RESULTATS DES CAMPAGNES DE SONDAGE  1 Généralités	
PROSPECTION GEOPHYSIQUE ET EXPLOITATION DES RESULTATS DES CAMPAGNES DE SONDAGE  1 Généralités	
PROSPECTION GEOPHYSIQUE ET EXPLOITATION DES RESULTATS DES CAMPAGNES DE SONDAGE  1 Généralités	
PROSPECTION GEOPHYSIQUE ET EXPLOITATION DES RESULTATS DES CAMPAGNES DE SONDAGE  1 Généralités	
PROSPECTION GEOPHYSIQUE ET EXPLOITATION DES RESULTATS DES CAMPAGNES DE SONDAGE  1 Généralités	

pour les latérites étudiées
3.1 Echelle de résistivité apparente des graveleux
latéritiques
3.2 Echelle de la vitesse sismique à travers les graveleux
latéritiques
4 Méthodes proposées pour une campagne de prospection géophysique
geophysique
5 Précision, limites et rendement des méthodes géophysiques
de prospection géotechnique
5.2 Sismique réfraction
3.2 Sismique leffaction
D - TROISIEME PARTIE : PROPRIETES GEOTECHNIQUES ET UTILISATION DES GRAVELEUX LATERITIQUES EN TECHNIQUES ROUTIERES
1 Détermination des propriétés géotechniques des graveleux
latéritiques
1.1 Définition des paramètres physiques des graveleux et
principe des essais d'identification
1.1.1 La teneur en eau (W %)
1.1.2 Poids spécifique du graveleux sec
1.1.4 Les limites d'Atterberg
1.1.4.1 Limite de plasticité (W <sub>p</sub> )
1.1.4.2 Limite de plasticité (W <sub>p</sub> )
1.1.4.3 Indice de plasticité (I <sub>p</sub> )
1.1.4.3 Indice de plastielle (1 <sub>p</sub> )
1.2 Essai de comportement réalisé : essai CBR
2 L'utilisation des graveleux latéritiques en technique
2 L'utilisation des graveleux latéritiques en technique routière

#### E - QUATRIEME PARTIE : ESSAI DE CORRELATION ENTRE LES PARAMETRES GEOTECHNIQUES ET GEOPHYSIQUES DES GRAVELEUX ETUDIES

#### INTRODUCTION

Dans les pays tropicaux comme le Sénégal, la latérite est en général disponible en abondance, mais dans bien des cas, sa répartition géographique sur le plan quantitatif est parfois qualitatif, n'est toujours pas adéquatement bien assurée.

Les situations sont courantes où l'accès aux gisements de latérite affleurant de qualité suffisante pour une utilisation en technique routière impose des distances de transfert déraisonnables.

Si l'on sait par ailleurs l'importance du transport sur le coût global des projets d'infrastructures routières, il peut s'avérer intéressant de faire recours à une prospection dans l'environnement immédiat du site à pourvoir.

Au Sénégal, la latéritisation marque la fin du continental terminal (vers la fin du pliocène).

La cuirasse ferrugineuse ainsi formée affleure largement à certains endroits.

Dans les autres parties du pays, elle est souvent couverte par une couche de sable plus ou moins épaisse.

Ainsi pour l'ouverture de carrières, on est souvent obligé de procéder à une campagne de prospection.

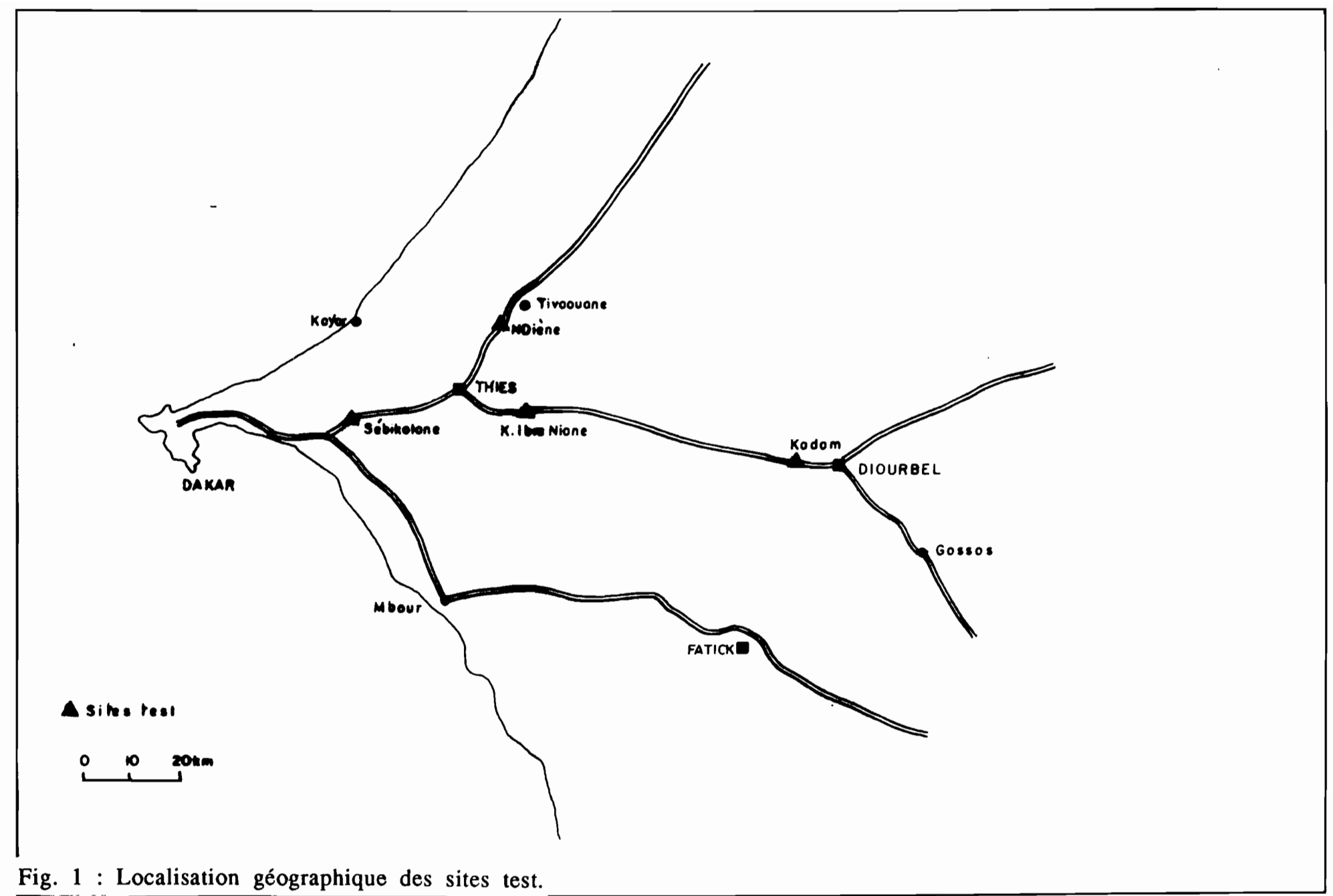
Jusqu'à présent, seule la méthode des puits a été utilisée au Sénégal dans la recherche des graveleux latéritiques.

Ce présent travail est axé sur la mise en oeuvre de méthodes géophysiques pour la prospection de matériaux routiers ; il s'agit essentiellement de :

- la méthode sismique légère (marteau);
- la méthode électrique (résistivité).

Il se compose de quatre grande parties :

- la première partie est consacrée au phénomène de latéritisation ;
- la deuxième partie concerne la présentation des résultats expérimentaux et leur interprétation ;
- la troisième partie porte sur l'utilisation des graveleux latéritiques en technique routière ;
- enfin la quatrième partie est un essai de corrélation entre les paramètres géotechniques et géophysiques des graveleux latéritiques étudiés.



## PREMIERE PARTIE

# APPROCHE THEORIQUE DU PHENOMENE DE LATERISATION

#### 1.- Nomenclature des Matériaux Latéritiques

Malgré l'abondante littérature sur les latérites, il n'existe pas une terminologie standard pour les décrire.

Les nombreuses tentatives de classifications ont connu des succès variables et surtout très localisés, tout simplement parce que les différents intervenants sont mus par des intérêts souvent très éloignés les uns des autres.

La grande diversité de définitions provient en partie du fait que les sols latéritiques ne s'apparentent pas à un type exclusif de roche mère, une époque géologique bien spécifique, encore moins à un mode de formation unique (Maignien, 1966).

Les conditions physico-chimiques tout au long du processus de formation ont une influence considérable sur la nature du produit final et, très souvent, elles sont hélas mal connues.

Le mot latérites qui vient étymologiquement du latin "later" signifiant brique fut pour la première fois introduit dans le langage scientifique en 1807 par un ingénieur anglais du nom de Buchanan pour désigner un matériau qu'à l'époque les Hindous utilisaient en construction immobilière (Gidigasu 1976).

Ce matériau était de nature ferrugineuse à structure poreuse mais surtout ayant la propriété de durcir lorsqu'il est exposé à l'air libre.

L'auteur a alors formulé une définition des latérites exclusivement basée sur cette propriété. Cette première approche qui avait un contenu essentiellement physique a fait autorité pendant une courte période pour être par la suite controversée et devoir céder le pas à d'autres fondées sur des caractéristiques morphologiques, chimiques ou minéralogiques.

Cette nouvelle orientation se consolidait au fil du temps, au fur et à mesure que les potentialités minières offertes par le matériau se confirmaient comme source éventuelle de minerais bauxitiques, manganifères, titanifères, etc...

#### 2.- Mécanisme de formation des sols latéritiques

La condition première pour la formation d'un sol latéritique est l'existence d'un dépôt altéré de puissance suffisante, contenant des concentrations appropriées de fer et/ou d'alumine (Maignien, 1968). Les roches ignées ou métamorphiques ayant été formées sous les conditions thermiques et de pressions considérables ont acquis un état d'énergie interne élevée qui dans certains cas, a pu se dissiper par évolution thermodynamique, ou demeurer emprisonnée dans un état métastable.

L'altération latéritique est due à des processus physicochimiques :

- dissolution
- oxydo-réduction
- hydrolyse

Il est bon de signaler que la "kaolinite" est identifiée comme étant le minerai argileux le plus courant dans les formations latéritiques.

#### 2.1.- Altération des roches et latérisation

On reconnais trois étapes essentiellement dans le processus de formation des latérites :

- la décomposition des minéraux primaires
- la latérisation
- l'induration

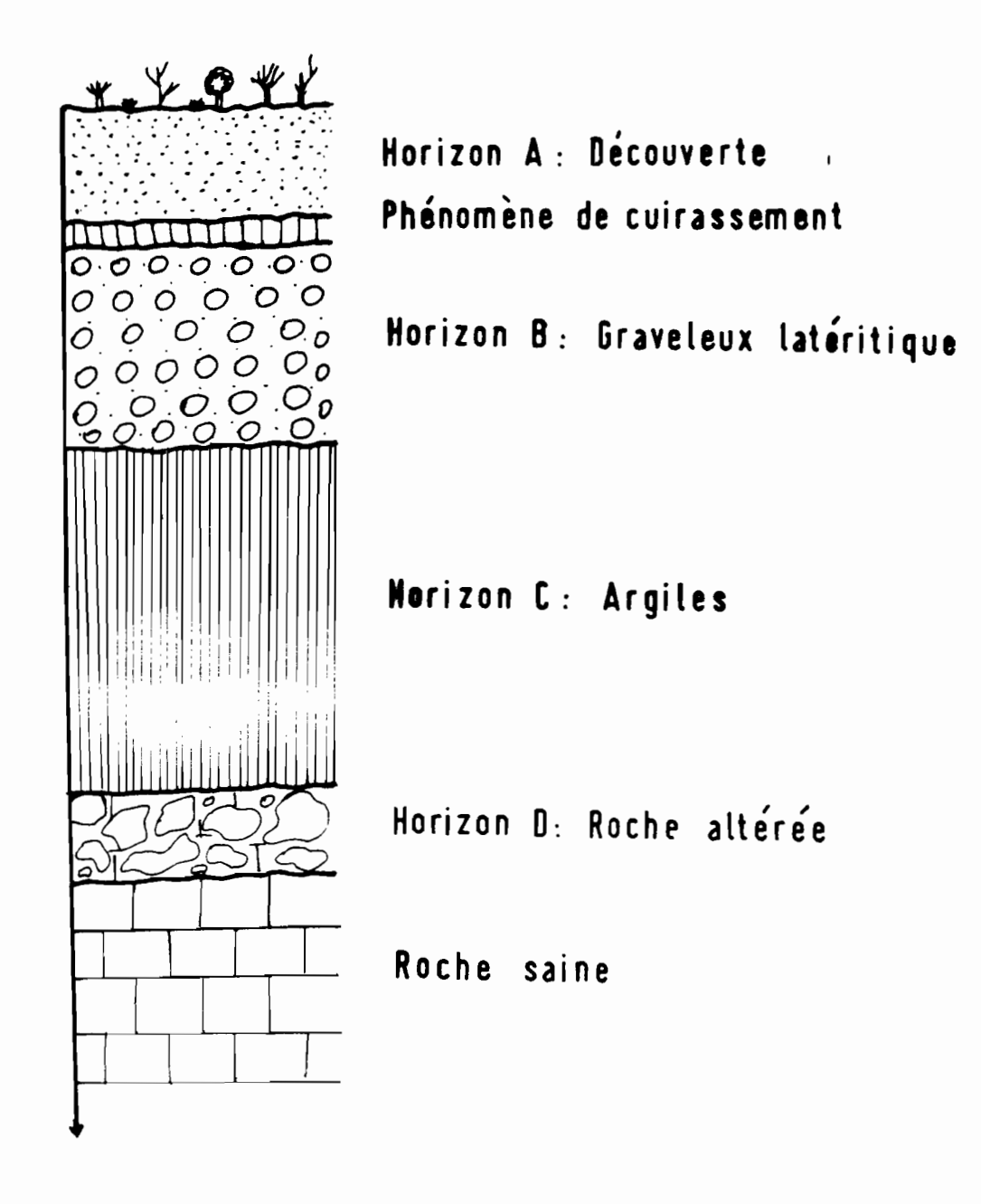


Fig: 1a \_ Schéma type d'un profil d'altération Latéritique

Précision qu'en règle générale, les feldspaths donnent des résidus riches, en alumine tandis que les ferromagnésiens tels que les pyroxènes, les amphiboles etc... donnent lieu à de riches concentrés en oxydes ferriques.

Signalons enfin que la dislocation de la structure des minéraux primaires peut aussi se réaliser par oxydation ou par carbonation.

#### 2.1.2.- Latérisation

Le phénomène de formation des latérites se traduit par une accumulation des éléments sesquioxydes (Al<sub>2</sub>0<sub>3</sub>, Fe<sub>2</sub>0<sub>3</sub>, TiO<sub>2</sub>) contenus dans les résidus d'altération.

Cette accumulation peut se faire de façon relative (élimination des substances solubles par action de l'eau de percolation) ou absolue (les sesquioxydes proviennent par migration d'une source extérieure).

Le premier mode d'accumulation affecte beaucoup plus l'alumine, même si quelque fois, elle est partiellement lessivée. Le deuxième mode lui, s'applique plutôt au fer.

Dans un cas comme dans l'autre, l'établissement d'un courant d'eau à travers la zone altérée est une condition nécessaire.

Lorsque la silice subsiste sous forme de quartz, sa stabilité s'accroît beaucoup, mais demeure inférieure à celle des sesquioxydes étant entendu que tout cela se produit au voisinage du point de neutralité.

Ce matériel est surtout présent dans les latérites lorsque la roche mère est hautement quartzifère, comme le granite.

La présence de quartz est un signe distinctif des latérites ferrugineuses par opposition à celles riches en alumine où il est souvent absent. Il faut dire que la grande stabilité reconnue aux sesquioxydes n'est pas absolue, ils n'ont une solubilité très liée au pH de l'environnement aqueux. Ce qu'on peut affirmer sans équivoque, c'est qu'un pourcentage élevé de sesquioxydes (Al<sub>2</sub>O<sub>3</sub> et/ou Fe<sub>2</sub>O<sub>3</sub>) demeure le seul dénominateur commun à toutes les latérites.

Celle-ci peuvent par ailleurs renfermer des concentrations importantes de quartz ou d'argile (Kaolinite en particulier) dont les proportions relatives sont influencées par le type de roche mère et les conditions locales de drainage.

#### 2.1.3.- L'induration

L'induration correspond à un état à partir duquel la latérite acquiert une consistance telle que sous des conditions normales de pH, cette dernière n'est plus détruire par l'environnement aqueux.

Elle se réalise par déshydratation partielle ou complète des mélanges riches en sesquioxydes qui étaient auparavant dans un état colloïdal amorphe. Certes l'induration a été identifiée sur des latérites alumineuses, mais il semblerait que le phénomène s'associe beaucoup plus aux latérites ferrugineuses. Les substances ferriques jouent un rôle primordial dans le processus d'induration. En effet, les colloïdes ferriques essentiellement constitués de limonites (Fe<sub>2</sub>0<sub>3</sub>, H<sub>2</sub>0) se réorganisent par dessication pour évoluer vers une structure cristalline de mieux en mieux affirmée, où le fer apparaîtra ensuite sous forme de goethite Fe<sub>2</sub>0<sub>3</sub>, (OH) et ultimement d'hématite (Fe<sub>2</sub>0<sub>3</sub>,).

#### 3.- Classification des latérites

Le rapport silice sur alumine (Si0<sub>2</sub>/Al<sub>2</sub>0<sub>3</sub>) dans la fraction colloïdale a été initialement proposé comme base de classification. Mais ce critère comme on peut le constater, néglige l'importance des oxydes de fer (Fe<sub>2</sub>0<sub>3</sub>) qui sont pourtant des éléments jugés essentiels dans le processus d'induration d'une latérite au sens du BUCHANAN.

Aussi par la suite, on a fait une extension de la définition en introduisant le rapport silice sur sesquioxydes : (Si<sub>2</sub>0<sub>3</sub>) (Al<sub>2</sub>0<sub>3</sub> + Fe<sub>2</sub>0<sub>3</sub>). A partir de ce rapport, une classification a été proposée. Elle a été également abandonnée, car ce rapport classe dans les latérites, le minerai de fer et la bauxite;

La classification que nous retiendrons est celle qui considère la latérite en tant que matériau de construction. De ce fait, le vocable "latérite" peut désigner trois types de matériaux différents :

- les cuirasses latéritiques ;
- les latérites graveleuses ;
- les argiles latéritiques.

#### 3.1.- Les cuirasses latéritiques

Elles correspondent à un niveau formé d'une croûte très indurée de couleur brune à noire à structure vacuolaire et ayant souvent l'aspect d'une scorie.

Ce niveau se caractérise à la base par l'apparition de pseudopisolithes très résistantes. Celles-ci sont d'ailleurs utilisées au Sénégal parfois :

- en moellons taillés pour la construction de bâtiments et d'édifices divers ;
- pour la fabrication de gabions ou "de blocage", la construction de hérissons, de murs de protection au niveau des plages.

#### 3.2.- Les latérites graveleuses

On les appelle communément des tout-venant latéritiques. Elles sont composées d'une fraction graveleuse noyée dans une matrice argileuse. Cette fraction graveleuse peut être formée soit :

- par des pisolithes;
- par des concrétions caverneuses.

Les gisements de latérites gravillonnaires du Sénégal présentent fréquemment un pourcentage de blocs et boules pouvant atteindre 30 à 60 % du volume total.

Les latérites graveleuses proviennent toujours du démantèlement de la cuirasse.

#### 3.3.- Les argiles latéritiques

Elles sont sous-jacentes aux latérites graveleuses. Sur le plan pratique, nous rangeons également dans cette catégorie de matériaux, les argiles plus ou moins graveleuses présentant un pourcentage de fines supérieur à 50 %.

#### Remarque:

Pour la suite de cette étude, le terme "latérite" sous-entendra qu'il s'agit de latérites graveleuses qui en fait est pratiquement le seul type utilisable couramment en matériau de chaussée.

## **DEUXIEME PARTIE**

PRINCIPE DES METHODES DE PROSPECTION
GEOPHYSIQUE ET EXPLOITATION DES
RESULTATS DES CAMPAGNES DE SONDAGE

#### I - GENERALITES

#### I.1.- Principe des mesures électriques

La méthode des résistivités différencie les terrains par leur plus ou moins grande conductibilité. On injecte le courant électrique dans le sol par un circuit AB et on mesure une différence de potentiel entre deux électrodes MN situées autour du centre du segment AB (fig. 2).

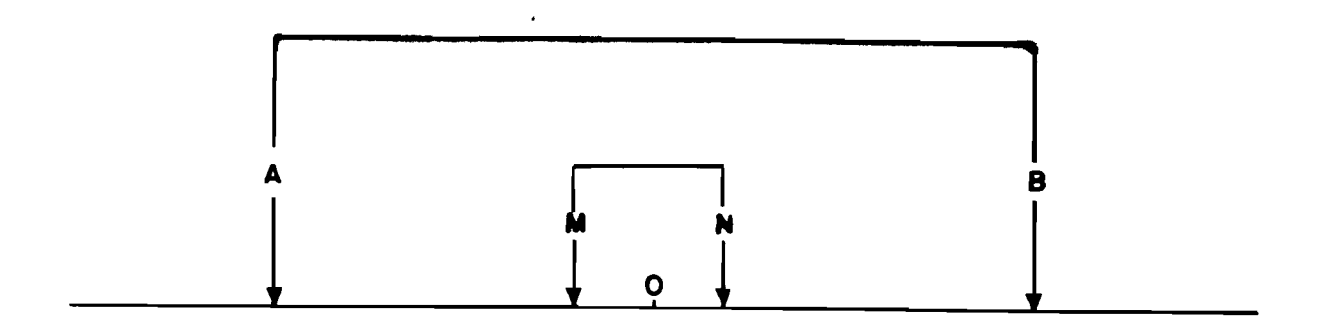


Fig. 2 : Dispositif quadripôle linéaire et symétrique, (AMNB)

La connaissance de la différence de potentiel ΔV, de l'intensité du courant I, et de la géométrie du dispositif AMNB appelé quatripôle, permet de calculer la résistivité moyenne d'un certain volume de terrain situé autour de l'axe AB et qu'on symbolise par un point sur la verticale du centre du dispositif AMNB.

La profondeur d'investigation dépend de la longueur AB, de la résistivité du terrain et de la distribution des résistivités en fonction de la verticale.

Lorsque AB devient grand, l'influence des terrains superficiels s'estompe (fig. 4).

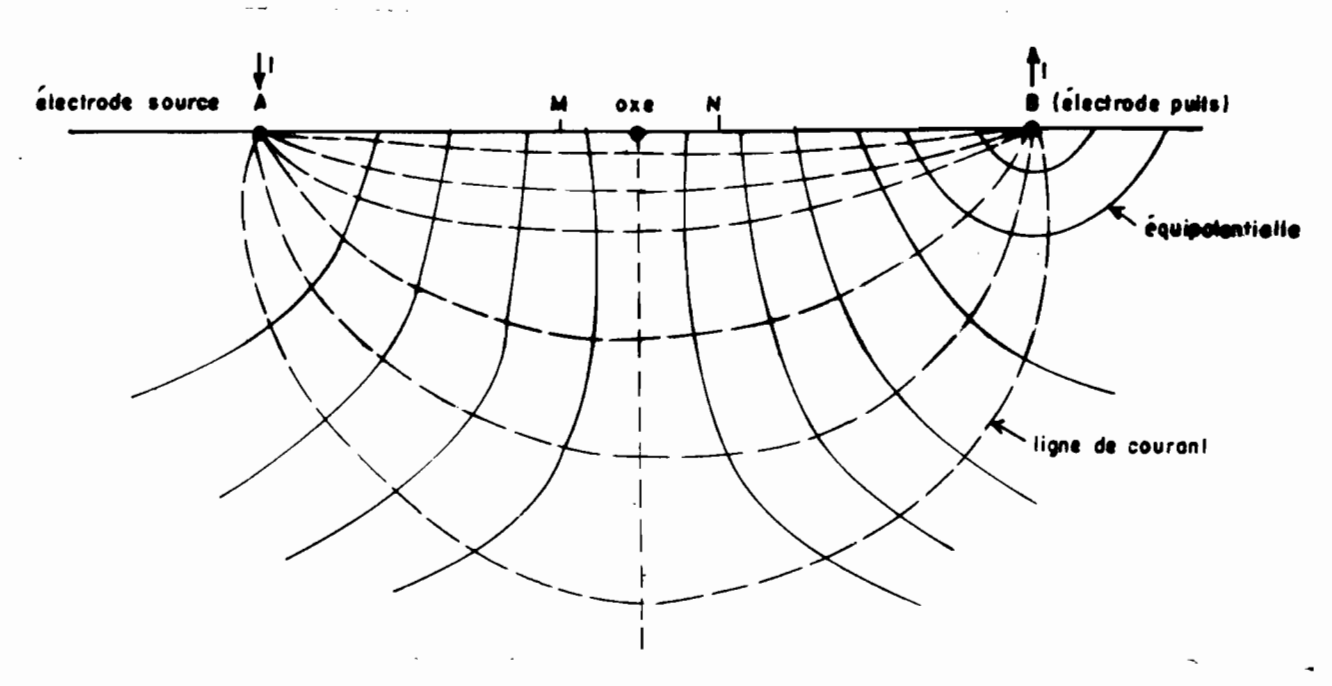


Fig. 3: Distribution d'un courant à partir d'un dipôle AB.

profondeur balays par les équiperentielles et les lignes de courant qui sont perpendiculaires (fig. 3). auxquells les acquires les lignes de courant qui sont perpendiculaires (fig. 3).

Pour une résistivité uniforme, les lignes de courant gardent la même morphologie quelque soit la distance AB, ce qui explique d'ailleurs que plus l'écartement entre A et B est grand, plus la profondeur d'investigation augmente (fig. 4).

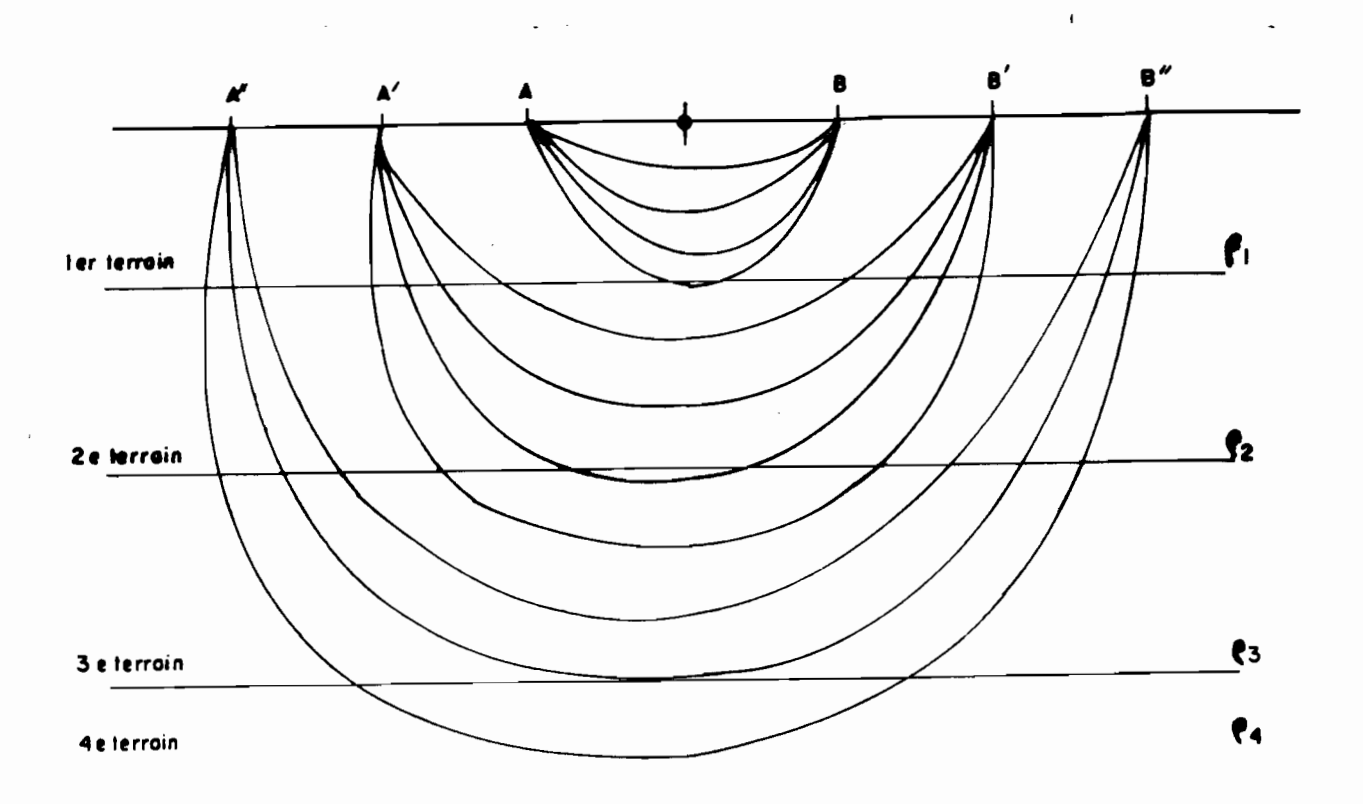


Fig. 4 : Morphologie des lignes de courant en fonction de l'écartement des électrodes A et B.

#### I.2.- Les sondages électriques

On fait varier la longueur AB de 1 m à x mètres, x dépendant du problème posé et suivant un pas de mesure croissant.

Pour chaque longueur de AB, on mesure I et  $\Delta V$ . En appliquant la loi d'Ohm  $\left(i = \frac{dI}{dS} = \frac{I}{S}\right)$  avec s = 1/2 sphère à l'espace séparant deux équipotentielle entre lesquelles existe une tension  $\frac{\Delta V}{\Delta V}$ , où  $-\frac{dV}{dV} = \frac{\rho_a}{2 \pi r^2}$  avec r la distance laquelle on mesure le potentiel et  $\rho_a$  la résistivité apparente du terrain.

En intégrant nous obtenons 
$$V = \frac{\rho_a I}{2\pi r} + \text{constante}$$
 (1)

Dans le cas du dispositif quadripôle, l'équation (1) nous permet donc de calculer le potentiel aux points M et N, ce qui donne

$$V_{M} = \frac{\rho_{a} I}{2\pi} \left( \frac{1}{MA} - \frac{1}{MB} \right) + constante$$

$$V_N = \frac{\rho_a I}{2\pi} \left( \frac{1}{NA} - \frac{1}{NB} \right) + constante$$

En faisant la différence, la constante d'intégration disparaît, ce qui est d'ailleurs un des avantages de ce dispositif et on obtient finalement :

$$V_{M} - V_{N} = \Delta V \frac{\rho_{a} I}{2\pi} \left( \frac{1}{MA} - \frac{1}{MB} - \frac{1}{NA} + \frac{1}{NB} \right)$$
 (2)

De l'équation (2), nous tirons la résistivité apparente qui est ici le paramètre recherché.

$$\rho_{a} = \frac{\Delta V \times 2\pi}{I} \cdot \frac{1}{1/_{MA} - \frac{1}{MB} - \frac{1}{NA} + \frac{1}{NB}}$$
 (3)

on pose 
$$K = \left(\frac{2\pi}{\frac{1}{AM} - \frac{1}{MB} - \frac{1}{NA} + \frac{1}{NB}}\right)$$
 et l'équation

devient 
$$\rho_{a} = \frac{K \cdot \Delta V}{I}$$
 (3')

Le facteur K ne dépend que de la position relative des quatre électrodes ; il est appelé "coefficient géométrique" du dispositif de mesure. La valeur de K va donc varier suivant qu'on utilise la méthode Schlumberger (où la distance AB est grande par rapport à la distance MN petite) ou la méthode Wenner (où MN = AB/3).

a) Valeur de K dans la méthode Schlumberger

nous avons 
$$K = \frac{2\pi}{\left(\frac{1}{MA} - \frac{1}{MB} - \frac{1}{NA} + \frac{1}{NB}\right)}$$

$$K = \frac{2\pi}{\frac{MB - MA}{MA \cdot MB}} - \frac{NB - NA}{NA \cdot NB}$$

MA • MB NA • NB et comme AB est très grand par rapport

à MN,

nous pouvons considérer que  $MA \cdot MB = NA \cdot NB \approx \left(\frac{AB}{2}\right)^2$ 

$$K = \frac{2\pi}{\frac{MN}{(AB/2)^2}} = \frac{\pi}{\frac{MN}{(AB/2)^2}}$$

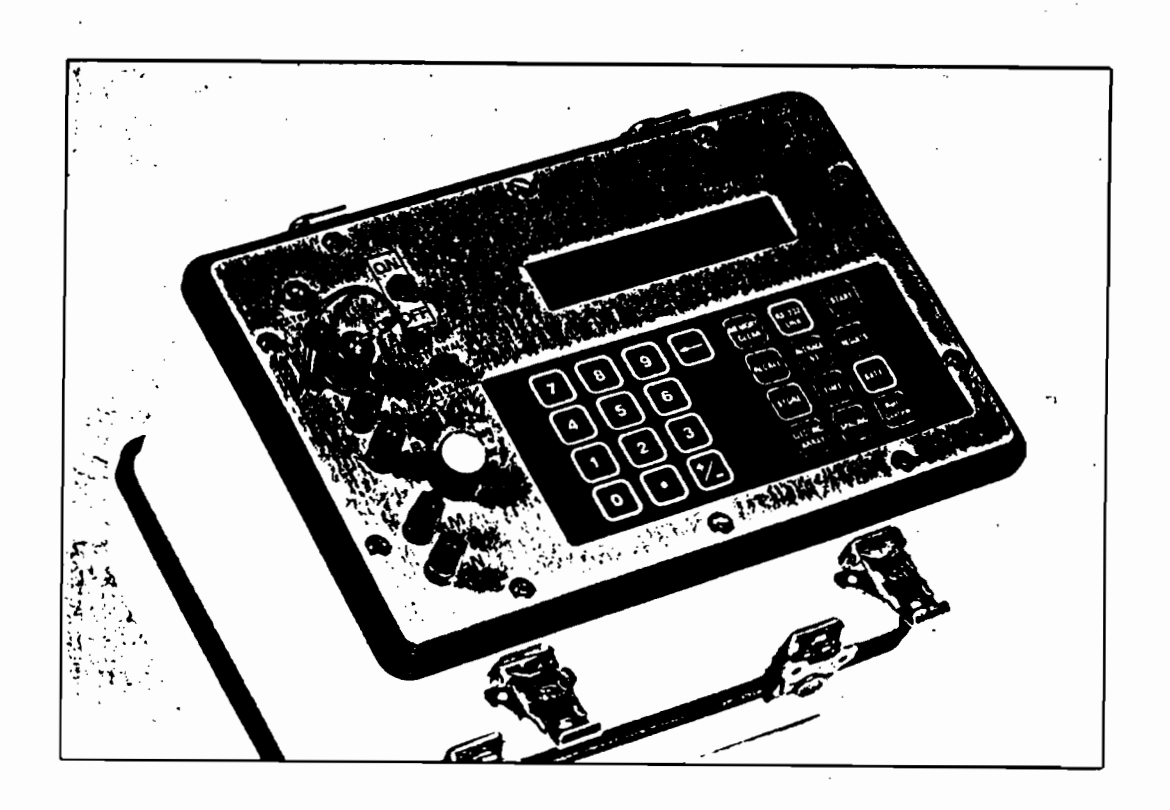
$$K = \frac{\pi AB^2}{4 \text{ MN}} = \frac{AB^2 \times \pi}{4 \times \text{MN}} \iff K = \left(\frac{AB}{2}\right)^2 \frac{\pi}{\text{MN}}$$

b) Valeur de K dans la méthode de Wenner

$$K = \frac{2\pi}{\frac{1}{MA} - \frac{1}{MB} - \frac{1}{NA} + \frac{1}{NB}}$$
 mais comme MN = AB/<sub>3</sub>

nous avons 
$$K = \frac{2\pi}{3/_{AB} - \frac{1.5}{AB} - \frac{1.5}{AB} + \frac{3}{AB}}$$

$$K = \frac{2\pi}{3/A B} \Rightarrow K = 2/3 \pi \cdot AB$$



## SYSCAL R1

Fig. 5 : Syscal R1. Résistivimètre utilisé pour les sondages électriques.

#### DESCRIPTION DE L'APPAREIL DE MESURE

Le SYSCAL R1 est contenu dans un boîtier antichoc étanche au ruissellement (Fig. 5). Le boîtier comprend, outre le couvercle supérieur, la partie centrale qui contient la face avant et la partie électronique, et la partie inférieure qui contient les piles d'alimentation.

#### La face avant comprend:

- \* un bouton Marche/Arrêt (ON/OFF);
- \* un clavier de fonctions (12 touches) permettant de choisir les paramètres nécessaires à la mesure, d'effectuer une mesure, de lire les résultats, de les stocker;
- \* un clavier numérique (13 touches) permettant d'introduire des données (n° de station, longueur de lignes...);
- \* un afficheur alphanumérique de deux lignes, pour l'affichage des questions du menu, et des résultats ;
- \* quatre bornes pour la connection des électrodes (A et B : électrodes d'émission de courant ; M et N : électrodes de réception) ;
- \* un commutateur de tension de sortie à quatre position (10-30 V, 55 V, 110 V, 220 V);
- \* une sélection de source Interne/Externe.
- \* deux bornes pour la connection d'une source externe (10-30 V);
  - \* une prise pour la liaison série (transfert des données).

A chaque fois que nous faisons varier AB/2, l'appareil de mesure nous donne la valeur de la résistivité apparente  $\rho_a$  directement, car étant programmé pour effectuer les calculs (fig. 5).

On arrive ainsi à déterminer une courbe  $\rho_a$  en fonction de AB/2 qui est le document objectif soumis à l'interprétation et appelé <u>courbe</u> de <u>sondage</u> électrique de terrain.

L'interprétation d'un sondage électrique n'est significative que dans le cas d'un terrain tabulaire horizontal au sein duquel les diverses couches sont homogènes et ne présentent surtout pas de variations latérales de résistivité.

Naturellement dans la pratique, ces conditions ne sont jamais parfaitement réalisées.

Le principe de l'interprétation consiste à trouver une courbe modèle superposable à la courbe de terrain. La forme de cette courbe dépend du rapport des résistivités des terrains traversés.

Milito, Hino

#### I.3.- Le "trainé" électrique

Un "trainé" électrique consiste à réaliser un certain nombre de points de mesure alignés avec une longueur de ligne AB constante. On peut ainsi tracer un profil de résistivité qui donne la résistivité apparente d'une certaine tranche de terrain. Les variations latérales de cette résistivité seront interprétées en fonction des connaissances géologiques. L'espacement des mesures ou "pas" est déterminé en fonction de la nature du problème posé, de la finesse d'investigation désirée; l'espacement optimum serait évidemment égal à la longueur de la ligne MN. On pourrait parfois même le faire plus petit que la ligne MN pour avoir encore plus de précision (fig. 6).

L'interprétation d'un "trainé" peut être qualitatif ou quantitatif

(AB) qui comple

ele « / makklis qued?

Elle est qualitative lorsqu'il s'agira de traduire par un profil des résistivités apparentes le résultat des mesures. C'est presque toujours la démarche adoptée pour exploiter les données d'un "trainé" électrique.

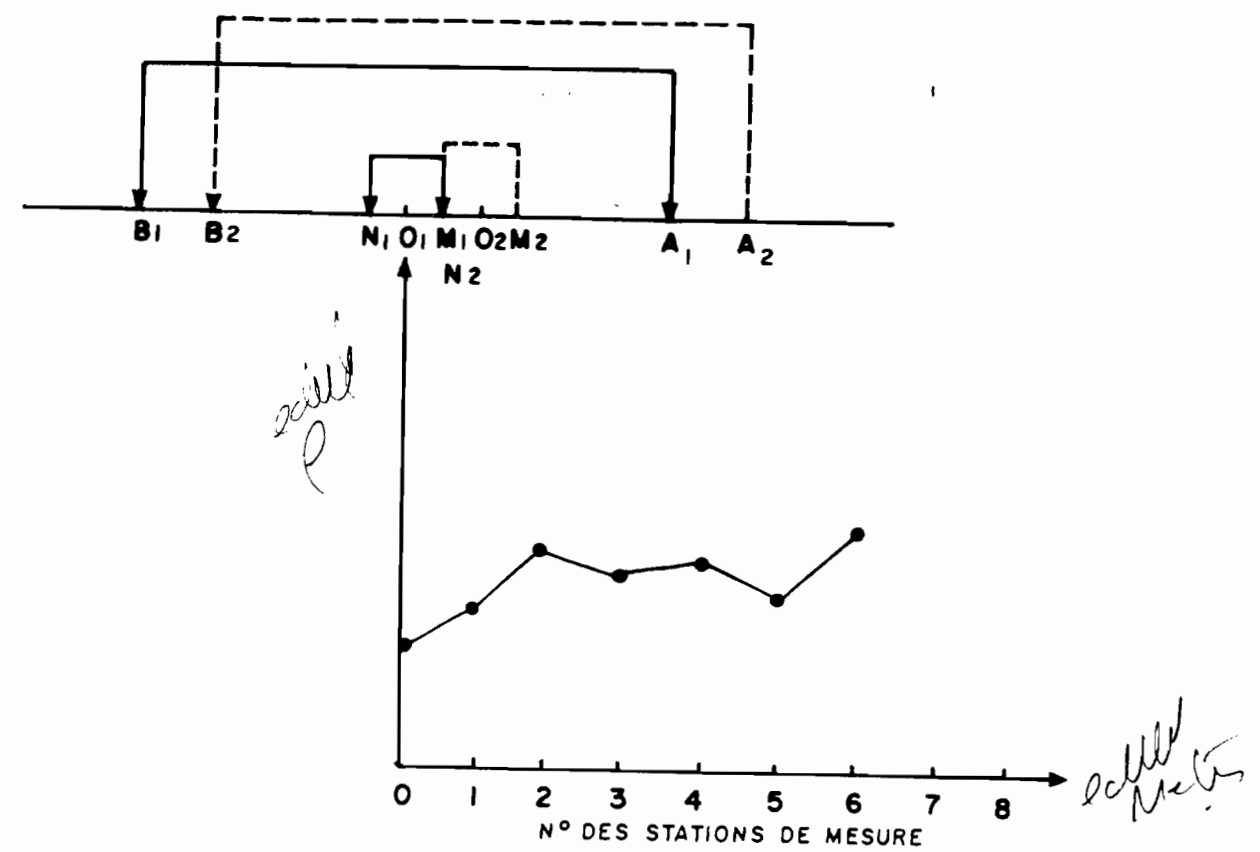


Fig. 6: Profil de résistivité avec une ligne AB mobile les uniations de l'ouvenir le profit par intermedit rous des vouvaites de parment de constant au montre de l'antie (consclur preude avant roug) en pre de variables de facis (qualitatif).

I.4.- Le principe de la sismique réfraction

La sismique est fondée sur l'étude comparative des vitesses de propagation des ondes dans les différentes couches de terrain.

La loi de réfraction des ondes passant d'un milieu de vitesse  $V_1$  à un milieu de vitesse  $V_2$  est la suivante

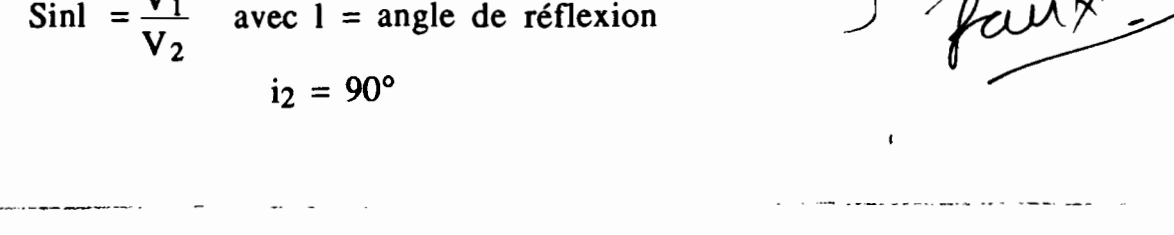
$$\frac{\sin i_1}{V_1} = \frac{\sin i_2}{V_2}$$

i<sub>1</sub> = angle d'incidence

avec

i<sub>2</sub> = angle de réfraction

Sinl = 
$$\frac{V_1}{V_2}$$
 avec 1 = angle de réflexion  
 $i_2 = 90^{\circ}$ 



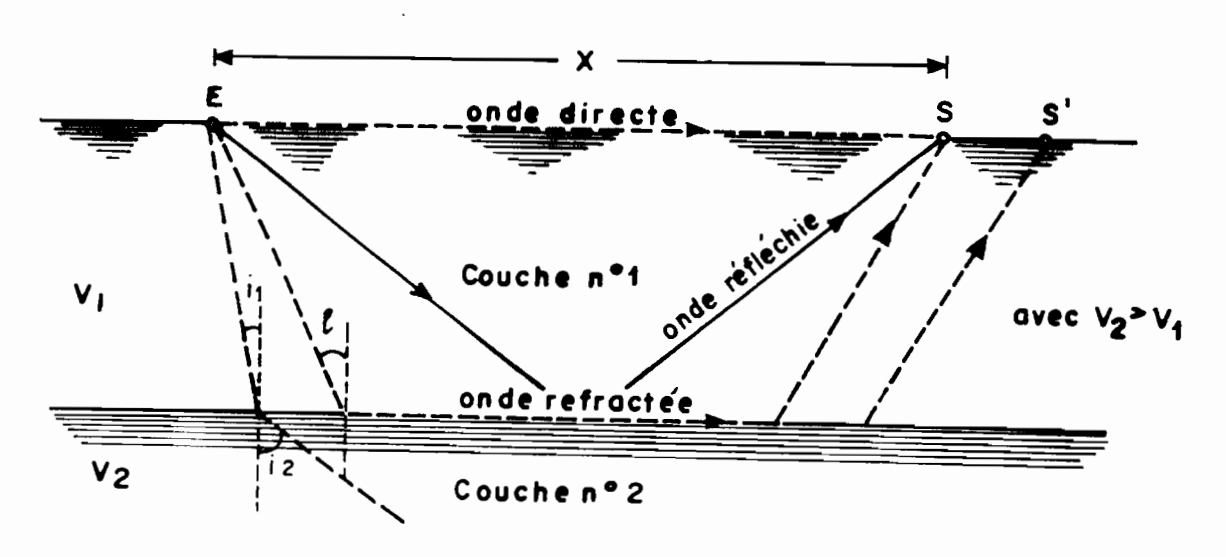


Fig. 7: Déplacement des ondes sismiques dans les terrains.

Tout épranchement produit des ondes sismiques qui se propagent dans les milieux suivant les lois de l'élasticité. On distingue 2 types d'ondes définies par les déformations élastiques qui les caractérisent :

- les ondes P (ondes premières) correspondent à déformation longitudinale (dilatation et compression dans la même direction que la propagation);
- les ondes S (ondes secondaires) correspondent à une déformation transversale, la vibration est dans ce cas orthogonale à la direction de propagation. En général, elles ne sont pas utilisées an proclai.

A proximité du point de tri ou de choc, la première onde qui atteint le sismographe est l'onde directe.

1 Jul

## SISMOGRAFO AD INCREMENTO DI SEGNALE

MOD. LCM-4

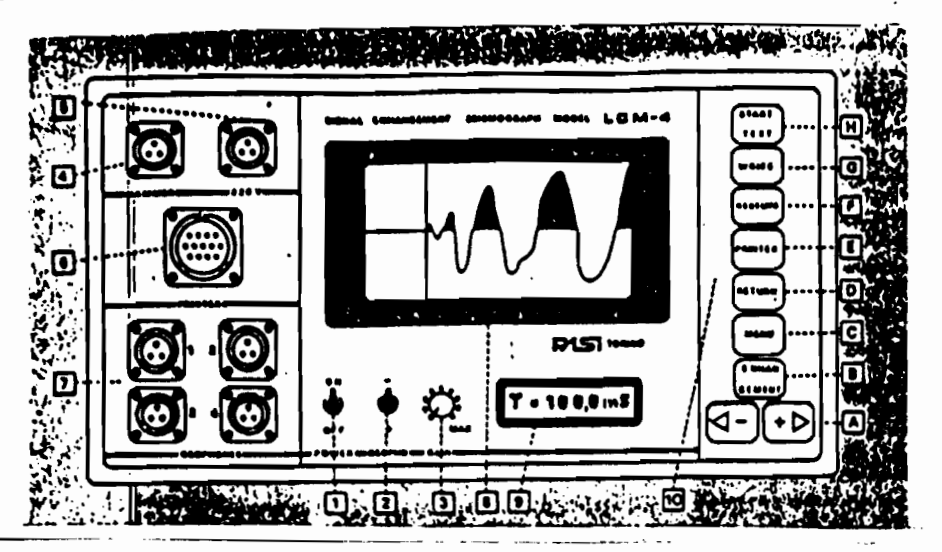


Fig. 8 : Sismographe à incrémentation de signal.

Cette onde directe se propage dans le terrain (1) dans le temps  $t_d = \frac{x}{V_1}$ , x étant la distance parcourue entre la source et la géophone (fig. 7).

Lorsque la vitesse des ondes est plus grande dans la couche (2) que dans la couche (1), ce qui est le cas le plus général, il existe une onde réfractée qui se propage parallèlement à l'interface à la partie supérieure de la couche (2) (fig. 7). C'est-à-dire suivant les conditions de l'angle limite. Cette onde réfractée est appelée onde cônique et son temps de propagation te est :

$$t_c = \frac{x}{V_2} + \frac{2 \text{ h cosl}}{V_1}$$

Quand l'onde sismique se réfléchit sur la surface de séparation entre les milieux (1) et (2) de sorte que l'angle d'incidence soit égale à l'angle de réflexion, nous avons une onde réfléchie (fig. 7). Cette onde, n'est pas utilisée en sismique réfraction. L'utilisation de ce type d'ondes est l'objet d'une autre méthode de prospection sismique pas courante qui est la sismique réflexion. Son temps de propagation tr est de :

 $c^{\prime}$ 

 $t_r = \frac{\sqrt{4 h^2 + x^2}}{V_1}$ Duy la present chief by water early of the partition of the properties of the properties of the properties of the partition of the partition of the properties of the properties

Pour exploiter les résultats d'un profil sismique, il faut interpréter la courbe t = f(x)

(t = temps de propagation de l'onde;

x = distance parcourue par l'onde entre la source et la géophone)

Cette courbe est appelée hodochrone ou dromochronique (fig. 9).

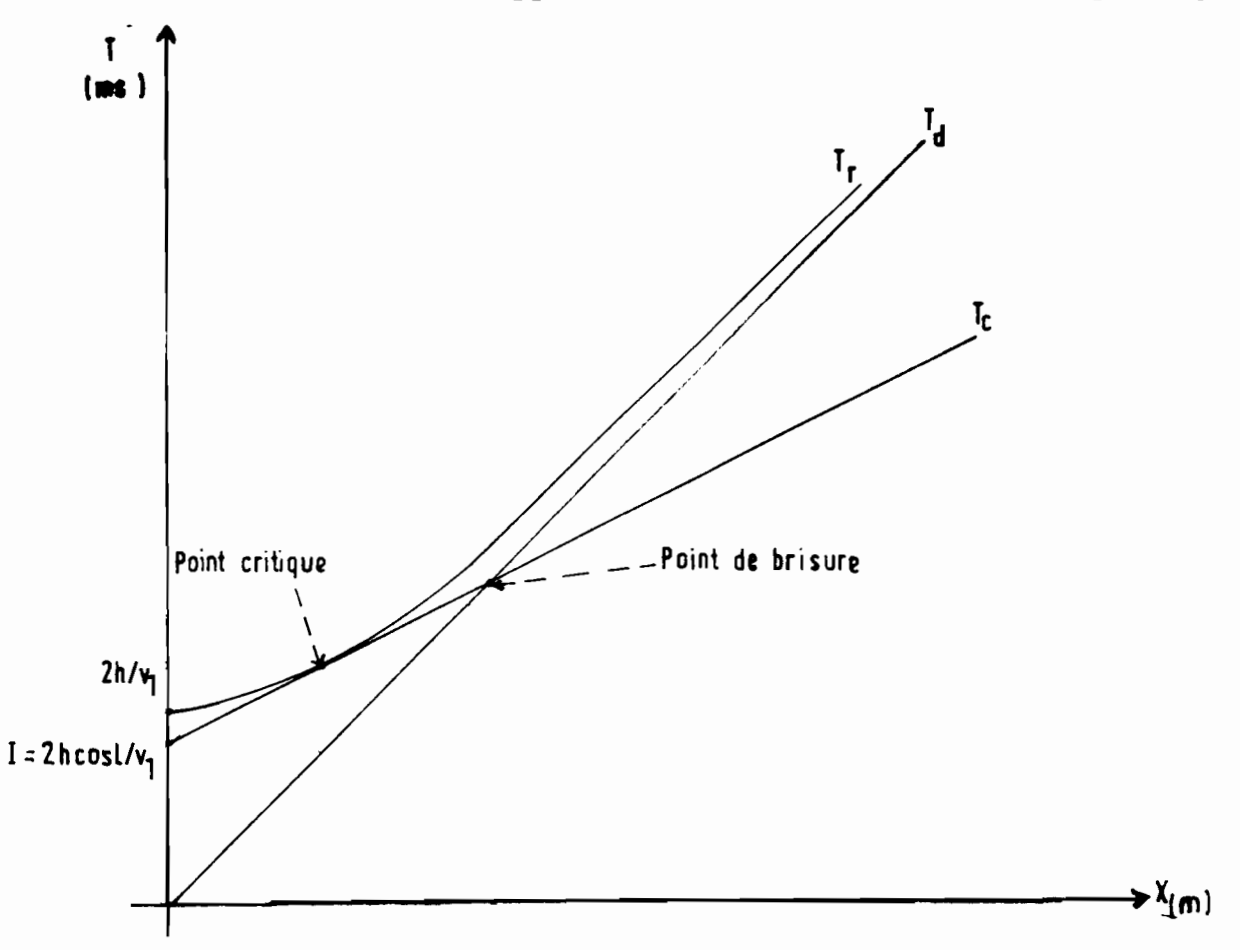


Fig. 9: Hodochrones des ondes longitudinales

On remarque (fig. 9) que:

- l'hodochrone de l'onde directe est une droite de pente 1/v1;
- l'hodochrone de l'onde réfléchie devient une droite asymtotique à td quand x devient grand ; nou le double or ky impeable.
- l'hodochrone de l'onde conique est une droite affine de pente

et dont l'ordonnée à l'origine est égale à  $\frac{2 \text{ h cosl}}{V_1}$  qui est une constanté indépendante de la distance appelée intercept (I).

Si on ne considère que la première arrivée, les points de brisure permet de passer d'un terrain à un autre, chacun étant caractérisé par les hodochrones de pente 1/V1, 1/V2 et 1/V3 (fig. 10).

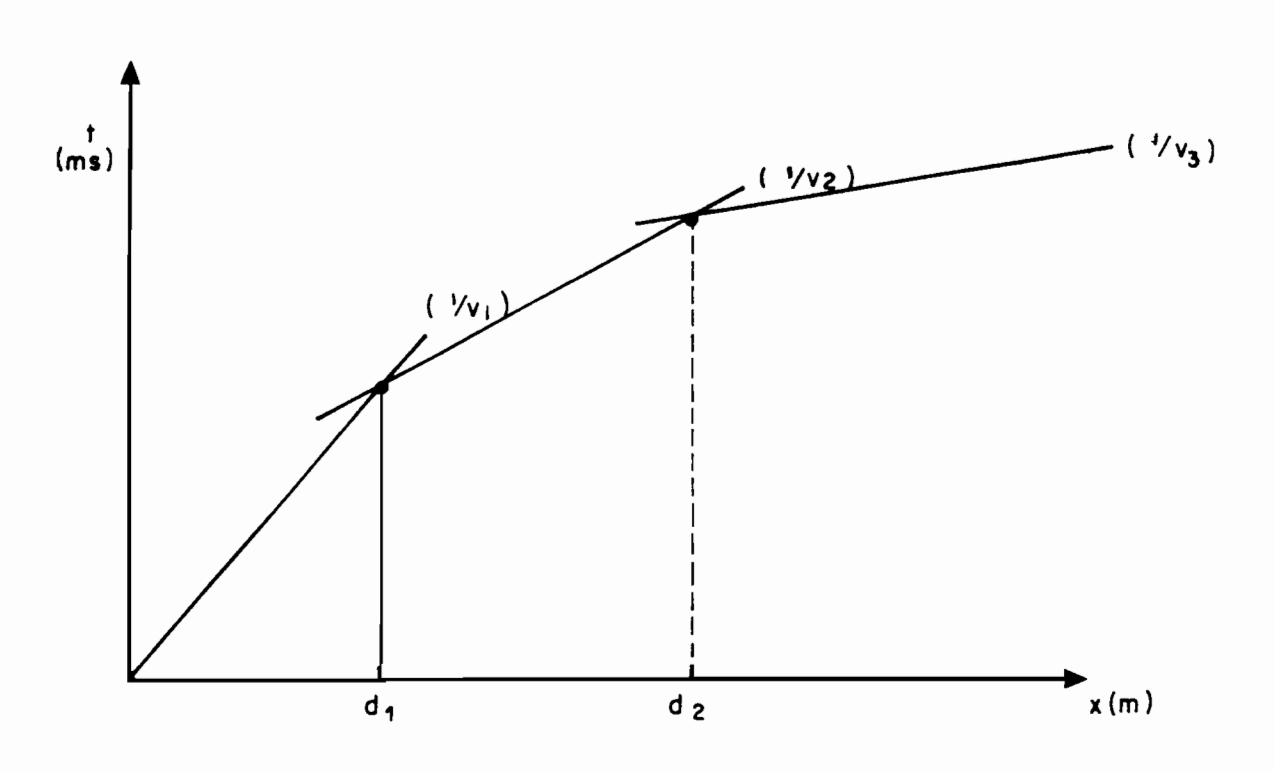


Fig. 10: Hodochrones dans le cas de 3 terrains

Au point de brisure, nous avons  $t_d = t_c$ 

Si d<sub>1</sub> est l'abcisse du point de brisure, nous pouvons écrire, la relation :

relation:
$$\frac{d_1}{V_1} = \frac{d_1}{V_2} + \frac{2 \text{ h cosl}}{V_1} \qquad d_1 \left( \frac{1}{V_1} - \frac{1}{V_2} \right) = \frac{2 \text{ h cosl}}{V_1}$$
Comme cosl =  $\sqrt{1 - \sin^2 1} = \sqrt{\frac{(V_2 - V_1)(V_2 + V_1)}{V_2^2}}$  puisque Sin 1 =  $V_1/V_2$ 

A. Lyth

En remplacant Cosl par sa valeur, nous pouvons trouver l'épaisseur du premier terrain h1.

$$h_1 = \frac{d_1}{2} \sqrt{\frac{V_2 - V_1}{V_2 + V_1}}$$

Dans le cas de trois terrains, l'épaisseur du deuxième terrain est donné par la relation :

$$h_2 = \left( \frac{5}{6} h_1 + \frac{d_2}{2} \sqrt{\frac{V_3 - V_2}{V_3 + V_2}} \right) - h_1$$

d<sub>2</sub> étant l'abcisse du deuxième point de brissure.

## 2 - EXPLOITATION DES DONNEES DE TERRAIN POUR CHAQUE SITE

Durant toute la campagne de prospection, nous avons choisi de faire nos sondages autour de carrières de latérites déjà exploitées ou en cours d'exploitation.

Cette démarche présente l'avantage de fournir des valeurs de référence grâce aux documents du CEREEQ (prospection par puits et études géotechniques).

Aussi quaire sites test ont été prospectés (fig. 11) :

- SEBIKOTANE dans la région de Dakar ;
- NDIENE dans la région de Thiès ;
- KEUR IBRA NIANE dans la région de THIES ;
- KADAM dans la région de Diourbel.

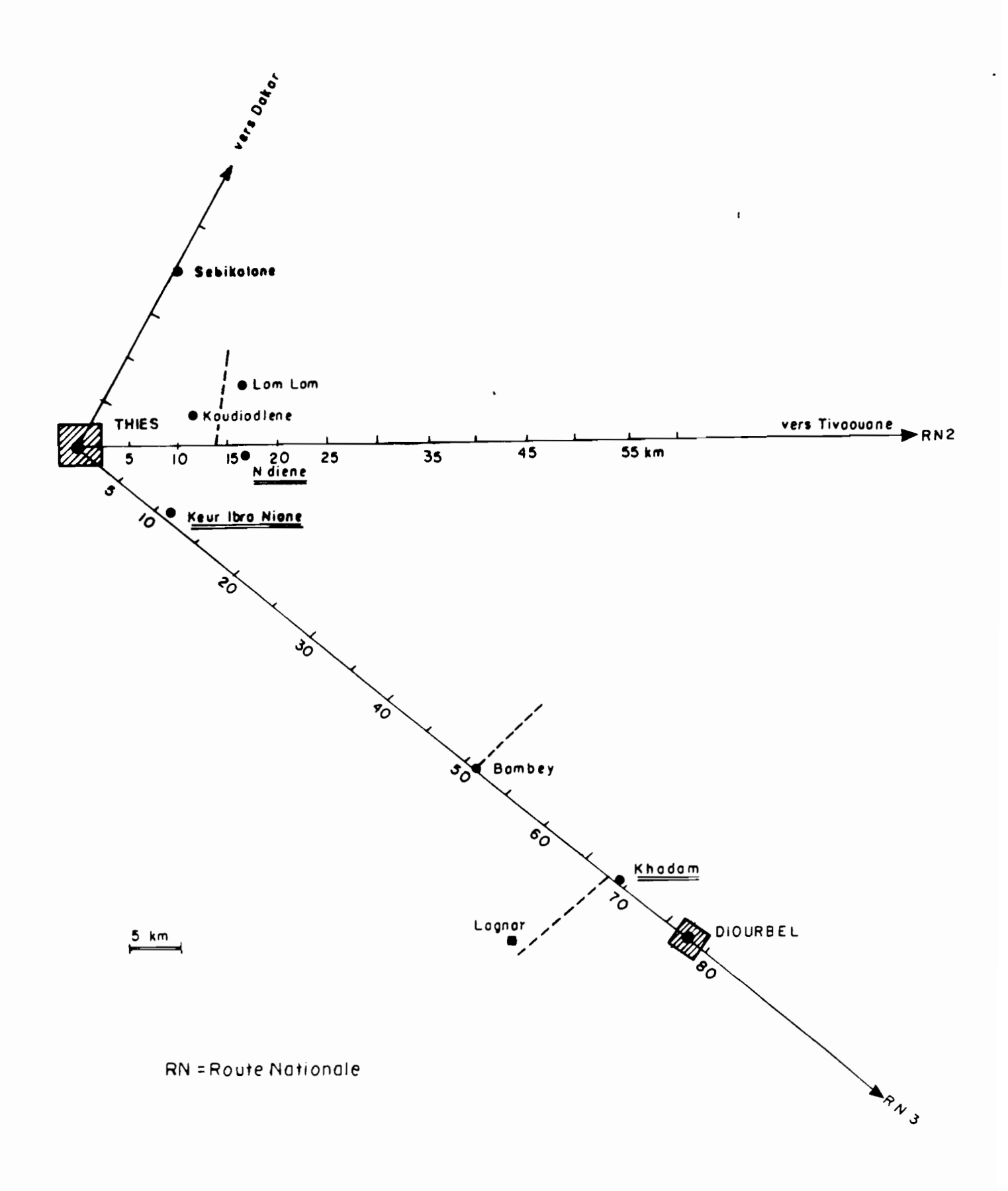


Fig. 11: Localisation des quatre sites test par rapport aux Routes Nationales.

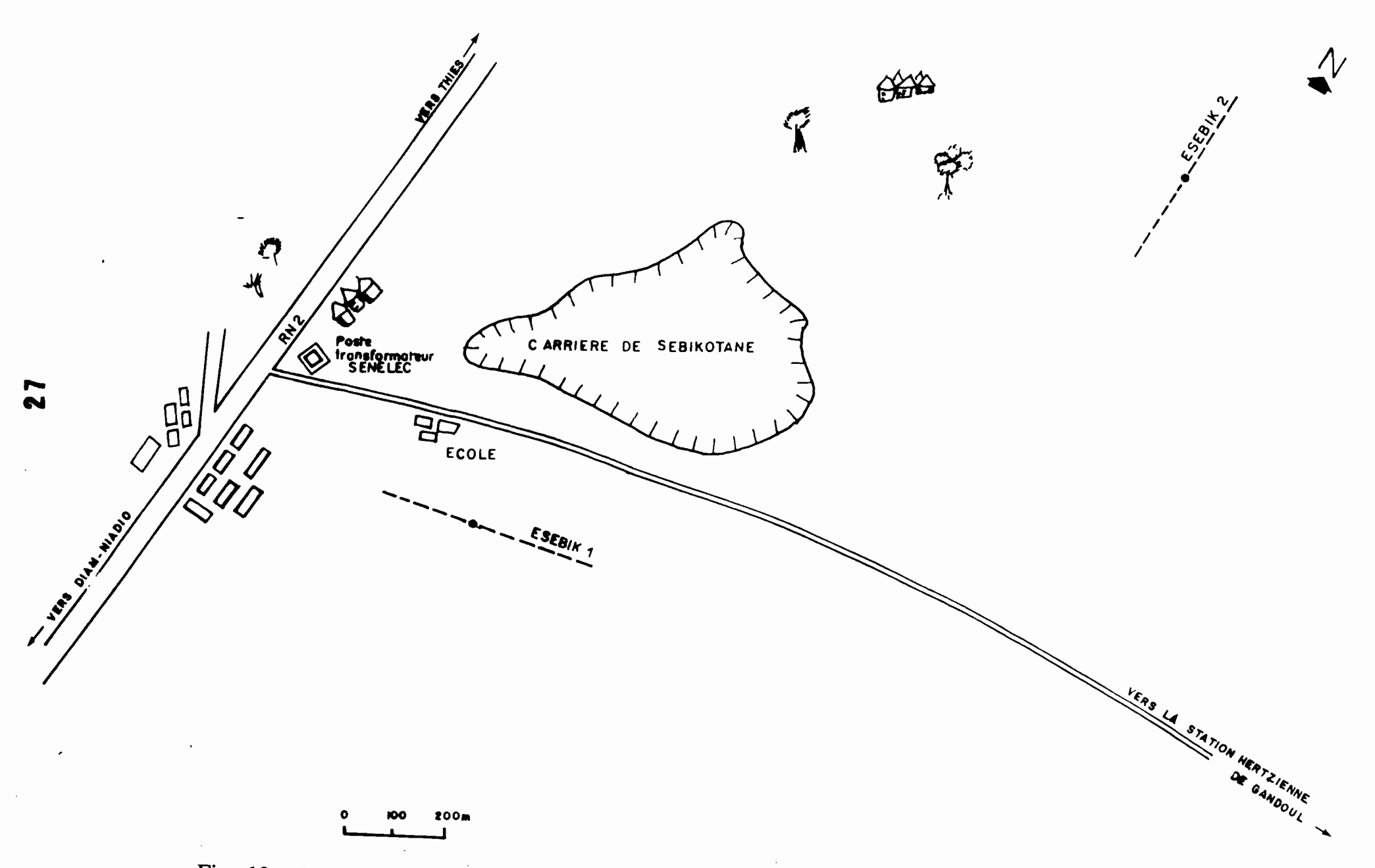


Fig. 12: Localisation des sondages effectués à SEBIKOTANE

#### 2.1. - Site de SEBIKOTANE

SEBIKOTANE est située sur la RN<sub>2</sub> à 20 km de Thiès (fig. 11). Son paysage de bas-fonds et de petites collines est la conséquence de mouvements tectoniques qui sont d'ailleurs à l'origine de la formation du horst de Ndiass. Sur ce site, deux sondages électriques ont été effectués (fig. 12) à deux points ayant une différence d'altitude d'environ 25 m.

Les 2 courbes de sondages SEBIK<sub>1</sub> CO et ESEBIK<sub>2</sub> révèlent 4 terrains de résistivités différentes. Leur interprétation a donné les résultats mentionnés sur les tableaux I et II.

N° du	ρ.	e.(m)
terrain	$(\Omega.m)$	
1	800	0,25
2	4000	2
3	180	1
4	3000	

1	14 Gu		C.(III)
	terrain		
	1	1300	3
	2	130	4_
	3	1950	14
	4	585	

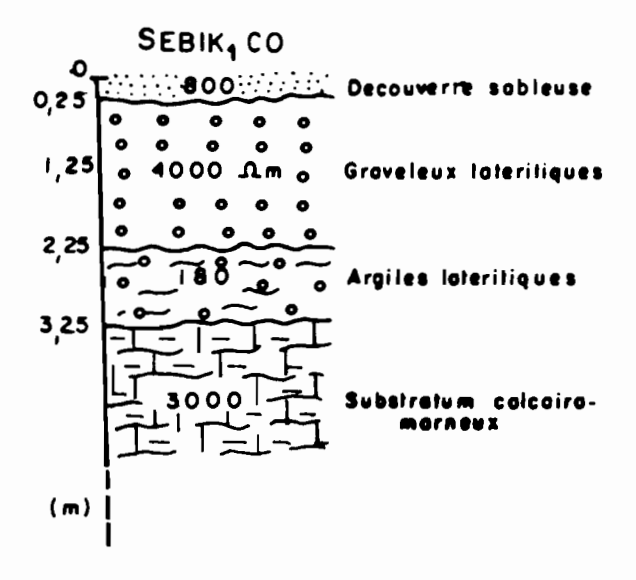
 $| N^{\circ} du | \rho_{\bullet}(\Omega, m) | \rho_{\bullet}(m)$ 

Tableau I : Résultats de SEBK<sub>1</sub>CO

Tableau II : Résultats de ESEBIK2

D'après les logs de sondage donnés par le CEREEQ à la suite de ses prospections par puits de 1974 et 1984 et d'après nos propres observations à partir du front de taille de la carrière de latérite de SEBIKOTANE, nous avons pu définir la nature géologique de chaque terrain (fig. 13).

Nous remarquons ici que la dénivellation entre les deux points où les sondages ont été réalisés n'a aucune influence sur la variation de l'épaisseur de la latérite, tout dépend de la puissance de la roche mère qui a été latéritisée. La différence d'altitude est simplement dûe à un décalage de compartiments à la suite de mouvements tectoniques.



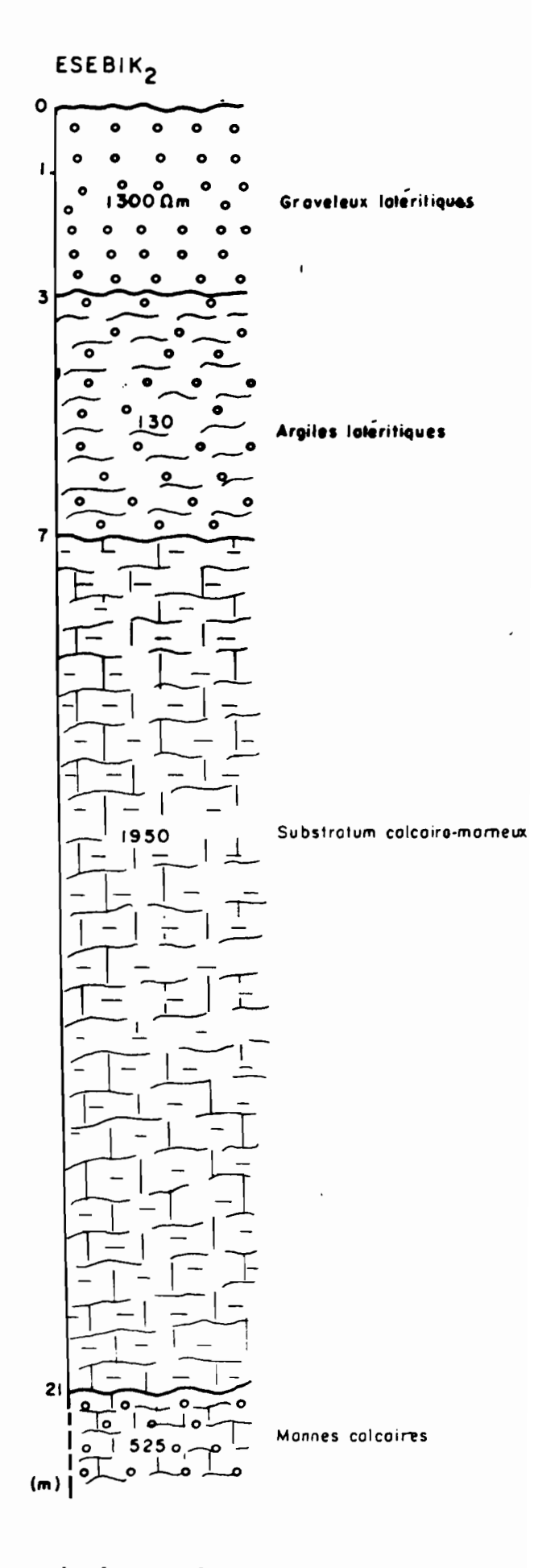
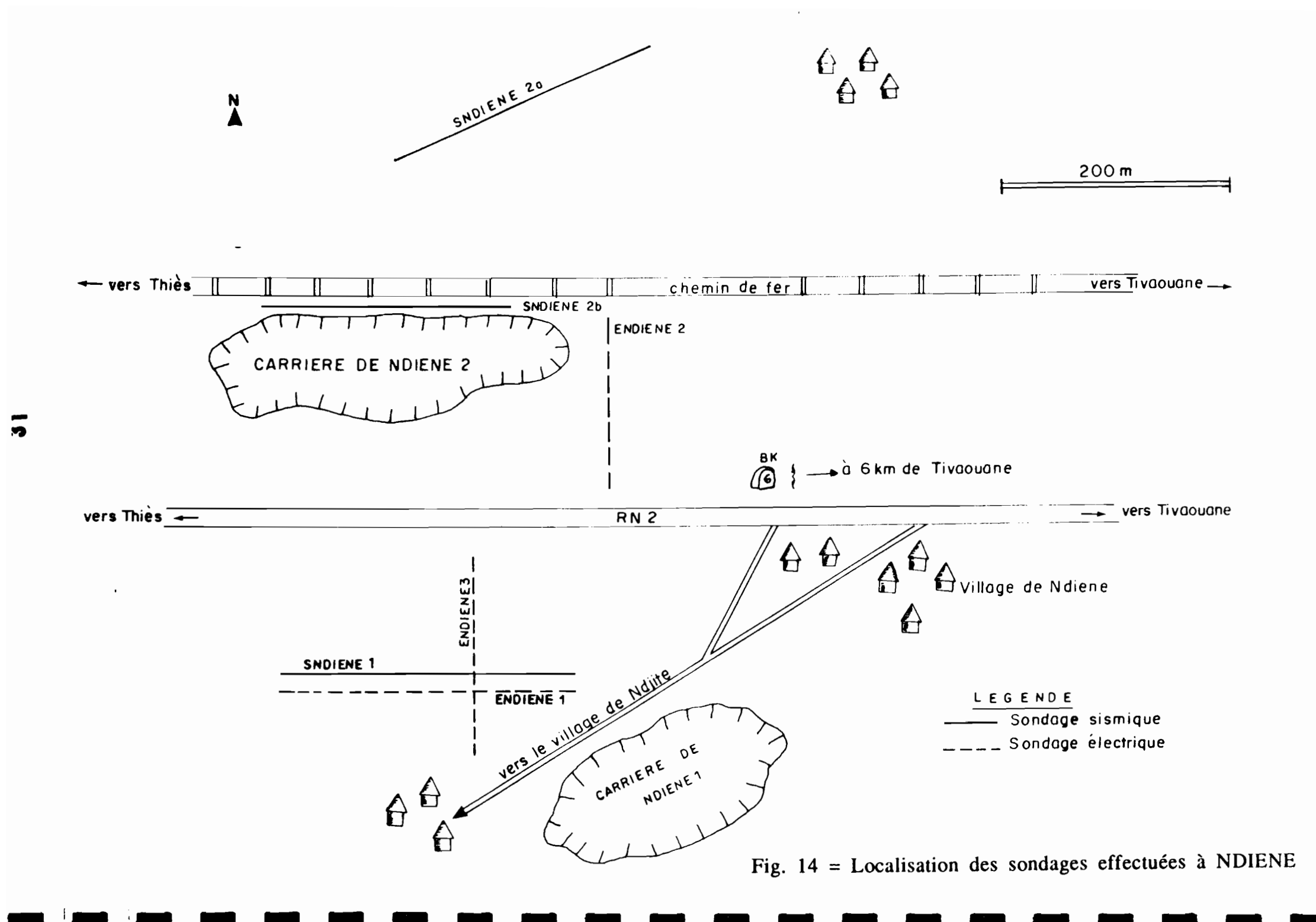


Fig. 13 : Coupes géologiques réalisées à partir des sondages électriques effectués à SEBIKOTANE

Une comparaison des épaisseurs avec les valeurs de références données par le CEREEQ à la suite des prospections par puits réalisées en 1974 et 1984, confirme bien nos résultats.

	Epaisseur de la découverte (en m)	Epaisseur de latérite (m)
Résultats du CEREEEQ 1974/1984	0,10 à 0,50	1,10 à 2,90
Prospection Géoph. oct./1991	0,25	2 à 3

Tableau III : Comparaison des épaisseurs trouvées à SEBIKOTANE avec les résultats du CEREEQ.



#### 2.2.- Site de NDIENE

Le village de NDIENE se situe sur la RN<sub>2</sub> à 6 km de Tivaouane (fig. 11).

Sur ce site, trois sondages électriques et trois profils sismiques ont été effectués (fig. 14).

Le sondage ENDINE<sub>1</sub> a donné comme résultat, des points tellement dispersés qu'il nous a été impossible de tracer une courbe de sondage, par conséquent, il est impossible de trouver un modèle pour une interprétation quantitative.

Ceci est dû très certainement au fait que nous avions de mauvais contacts à cause de la sécheresse des terrains. Il y a eu beaucoup de difficultés de mise en place pour les mesures. Les intensités étaient faibles et il fallait parfois arroser les piquets AB pour faciliter l'injection du courant. Cependant qualitativement, nous remarquons qu'il y a, au moins trois terrains de résistivités différentes. Ceci est confirmé par le sondage ENDIENE3 réalisé au même endroit, mais après la saison des pluies. Les profils sismiques ont aussi tous révélés l'existence de trois terrains à NDIENE (fig. 15 et 16). Le profil sismique SNDIENE2b effectué directement sur la cuirasse latéritique, a montré l'existence de deux niveaux de graveleux latéritiques. Un niveau ferralitique exploitable d'après le CEREEQ et un niveau alumineux avec de gros blocs et des moellons qui est inutilisables (fig. 17).

L'interprétation quantitative des courbes de sondage électrique et des dromochroniques des profils sismiques effectuées sur le site de NDIENE a donné les résultats mentionnés sur les tableaux (IV, V, VI, VII et VIII).

N° du terrain	ρ. (Ω.m)	e.(m)
1	400	1,8
2	90	2
3	2000	1

Tableau IV: Résultats de ENDIENE2

N° du terrain	ρ <sub>4</sub> (Ω.m)	e.(m)
1	500	1,5
2	325	6
3	1300	2
4	28	3 1
5	2000	_

Tableau V : Résultats de ENDIENE<sub>3</sub>

I for continue England

N° du	V.	e.(m)
terrain	$m/10^{-3}$ s	
1	0,32	0,80
2	0,80	3
3	1,00	1

Tableau	W		Décultate	da	SNDIENE <sub>1</sub>
i adieau	VI	:	Resultats	ae	SUDIENE

N° du	v	e.(m)
terrain	$m/10^{-3}$ s	
1	0,50	1,15
2	0,80	1,47
3	1,50	1

Tableau VII: Résultats de SNDIENE2a

N° du	V.	e.(m)
terrain	m/10 <sup>-3</sup> s	
. 1	0,51	1,5
2	1,04	6,21
3	1,87	1

Tableau VIII: Résultats de SNDIENE<sub>2b</sub>

En tenant compte des informations sur la lithologie fournies par le plan minéral sénégalais, les résultats du CEREEQ (1979 et 1984) la coupe réalisé par C. MONCIARDINI (1966) dans la zone et surtout nos observations à partir des fronts de taille des carrières (fig. 15), nous avons pu identifier la nature géologique de chaque terrain (fig. 16 et 17).

Au niveau de ce secteur de NDIENE, les sondages électriques ENDIENE1 et ENDIENE3 effectués sur le même endroit mais à des saisons différentes, nous ont permis de vérifier que la qualité du sondage est nettement meilleure quand celui-ci est réalisé pendant l'hivernage ou juste après. Cela s'explique par le fait que les contacts sont plus francs quand les terrains sont humides et le courant y est mieux conduit.

Solya me intensit ou firente on ne per monimum es contracts, le problème en soion sobre en e sumant:

contracts, le problème en soion sobre en e sumant:

certaini zons tres siches possibir me resistant humanité

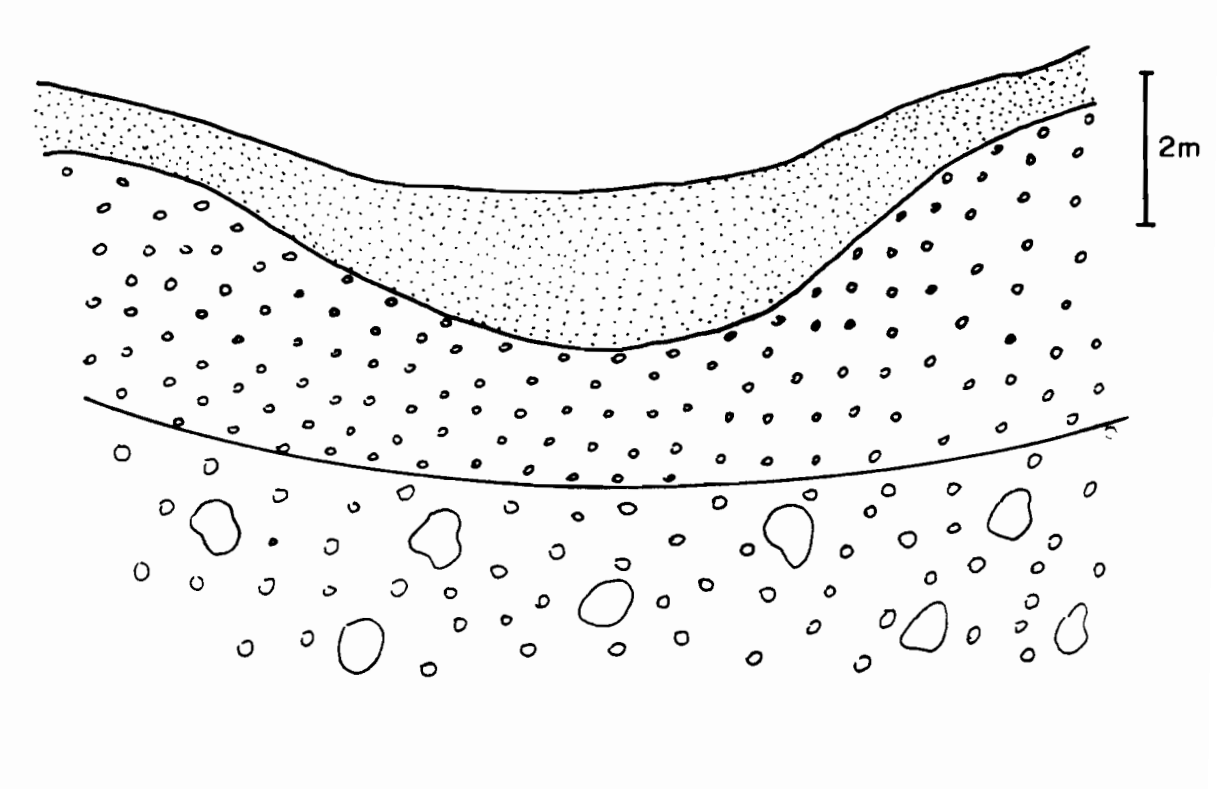
chorée d'outher zons que ent per consuver me certaine humanité

chorée d'outher zons que ent per consuver me certaines sentants.

Asteur conduction - l'ajamisation aleatoni de ces volumes resistants.

Contracte mitroduir me deformation uniporte le de lique de consumer et par consequent des equerolembells - Ami ce que consequent des equero tembells - Ami ce que

l'a menure entre Mer N (DV) n'a plus prim four tour sapporters



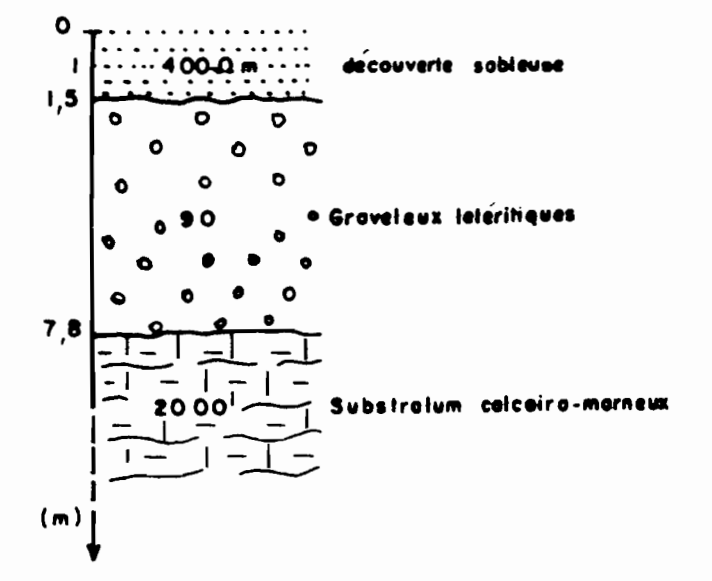
couverture de sable à épaisseur trés variable

couche de graveleux latéritique jugée exploitable par le cereeq (1 er niveau ferralitique)

couche de graveleux latéritique jugée non exploitable à cause de la présence de gros blocs et de mœllons inutilisables (2 e niveau alumineux)

Fig. 15 : Coupe réalisée sur le front de taille de la carrière de NDIENE2 côté Est.





#### ENDIENE 3

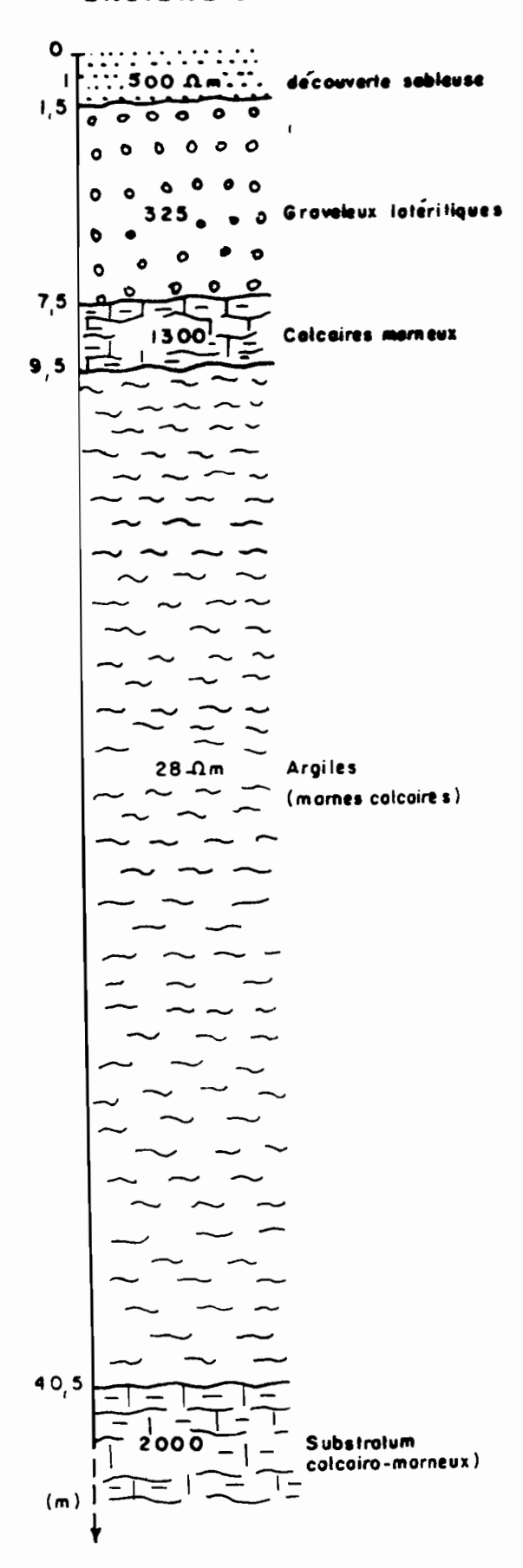


Fig. 16 : Coupes géologiques réalisées à partir des sondages électriques effectués à NDIENE.

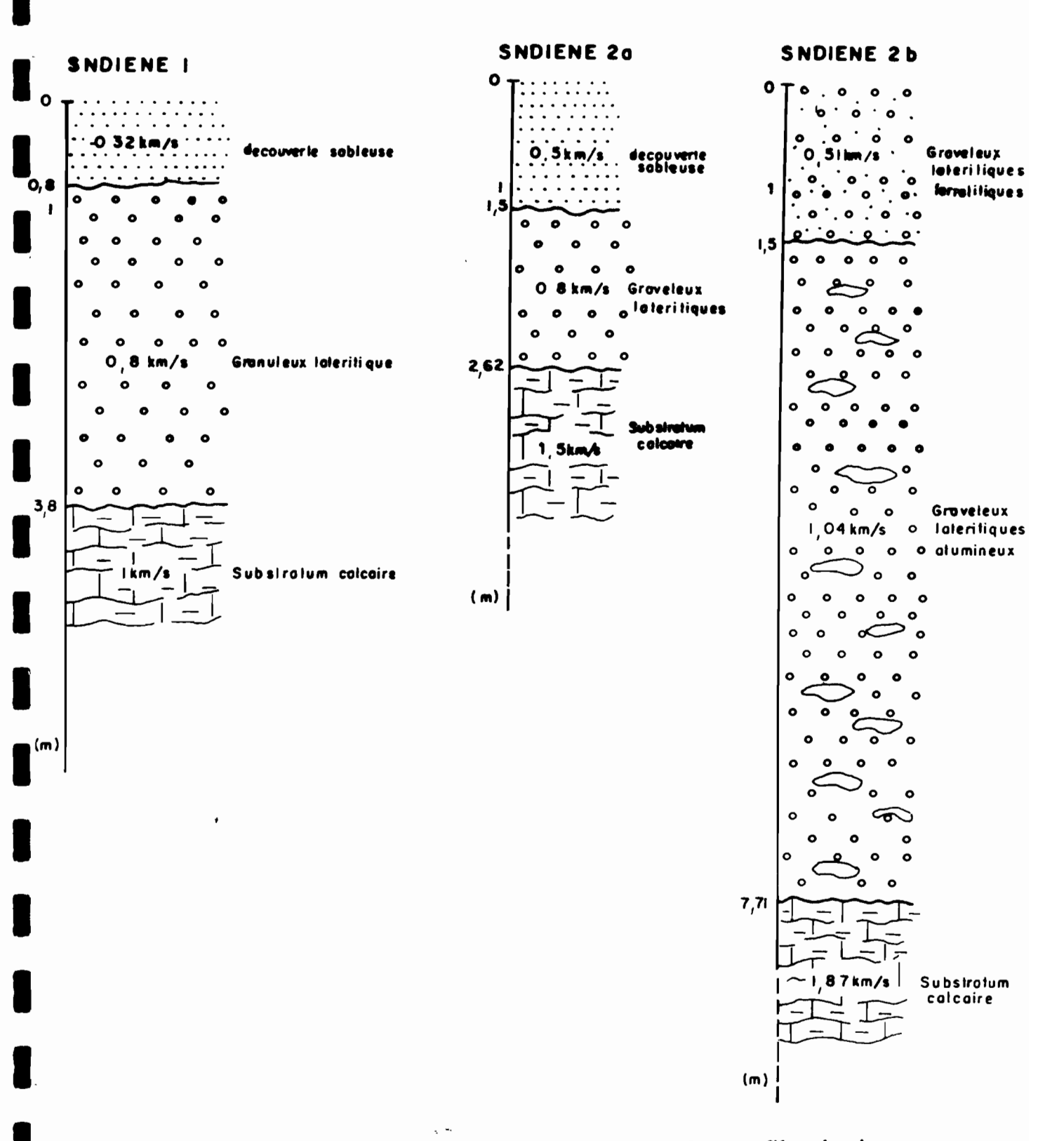


Fig. 17: Coupes géologiques réalisées à partir des profils sismiques effectués à NDIENE.

Une comparaison des épaisseurs avec des valeurs de référence données par le CEREEQ à la suite d'une prospection par puits réalisée à NDIENE en 1979 et 1984, montre que nos estimations sont plus optimistes quant à la puissance de la couche de graveleux latéritiques.

	Epaisseur de la découverte (en m)	Epaisseur des graveleux (m)
Résultats du CEREEQ (79/84)	0,25 à 1,70	0,85 à 1,70
Prospection géophysique (1991)	0,80 à 1,80	1,47 à 6

Tableaux IX: Comparaison des épaisseurs trouvées à NDIENE avec les résultats du CEREEQ.

On peut remarquer ici que les valeurs de l'épaisseur de la découverte sont dans l'ensemble cohérentes, par contre au niveau de la puissance de la couche de graveleux latéritiques, il y a un écart important qui peut s'expliquer par le fait qu'au niveau du CEREEQ, ils n'ont retenu en définitive que l'épaisseur de la couche de latérite exploitable c'est-à-dire ayant les qualités géotechniques requises pour une utilisation dans les travaux routier.

La coupe réalisée sur le front de taille de la carrière de NDIENE2 montre bien que la puissance totale de la latérite dépasse bien les estimations du CEREEQ fig. 15).

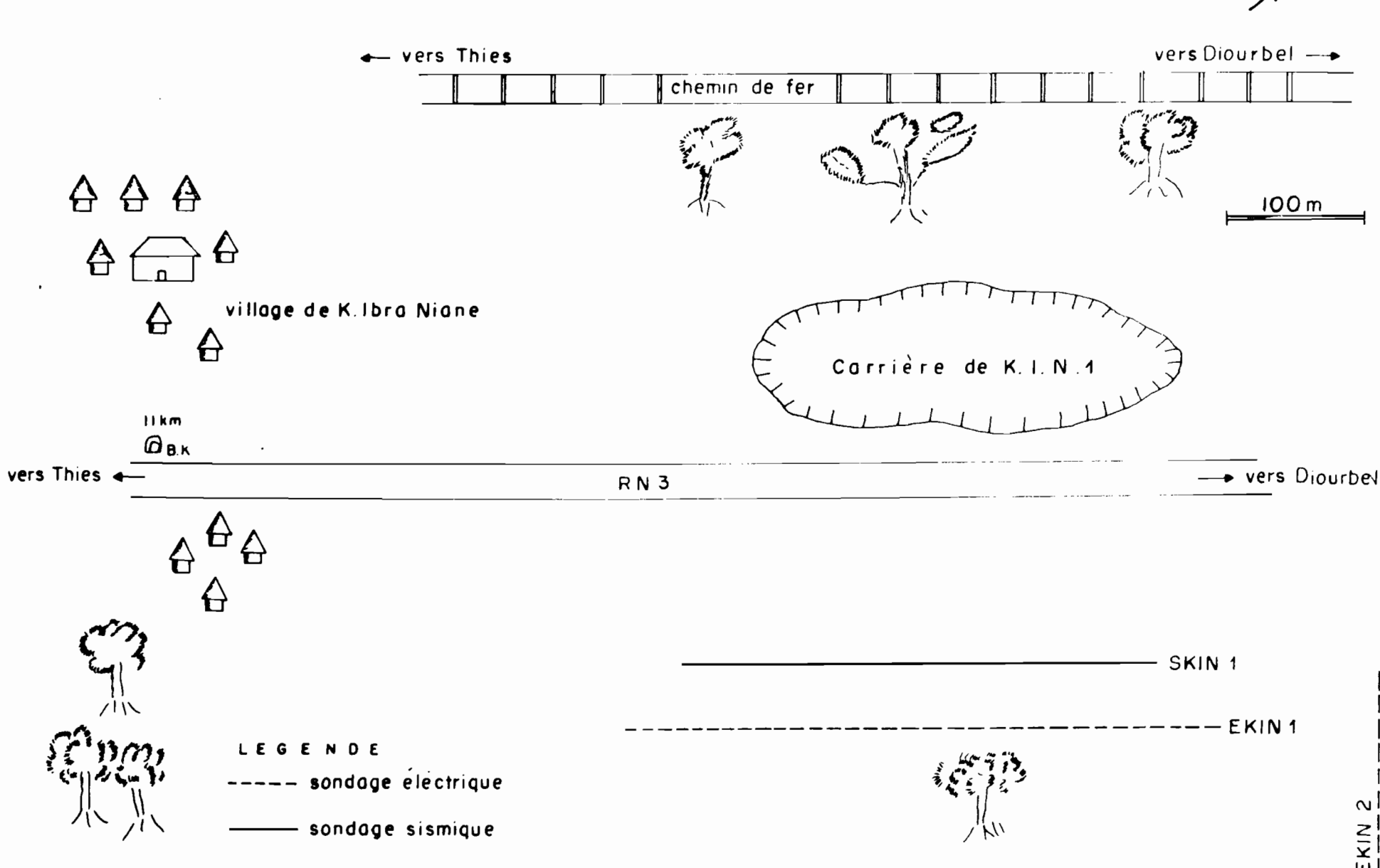


Fig. 18: Localisation des sondages effectués à Keur Ibra Niane.

#### 2.3.- Site de Keur Ibra NIANE (KIN)

Le village de Keur Ibra NIANE (KIN) se situe à 11 km de la ville de Thiès sur la RN<sub>3</sub> (fig. 11).

Sur ce site, deux sondages électriques et un profil sismique ont été effectuées (fig. 18).

Le sondage EKIN<sub>1</sub> et le profil SKIN<sub>1</sub> ont été réalisés directement sur la cuirasse latéritique très indurée. Nous avons eu d'énormes difficultés pour mettre en place les piquets de sondage. Ceci nous a obligés d'ailleurs à faire deux essais aussi bien en électrique qu'en sismique.

Le sondage EKIN<sub>2</sub> par contre, a été effectué dans de meilleures conditions, parce qu'il y avait la présence d'une découverte de sable et le terrain était encore mouillé par les dernières pluies de l'hivernage finissant. L'interprétation quantitative des courbes de sondage et des hodochrones des profils sismiques a donné les résultats mentionnés sur les tableaux X, XI et XII.

N° du	$\rho$ .	e.(m)
terrain	$(\Omega.m)$	
1	2500	3,3
2	6000	6,6
3	875	/

Tableau X : Résultats de EKIN1

N° du	ρ.	e.(m)
terrain	$(\Omega.m)$	
1	1000	1
2	3500	2,6
3	60	40
4	525	1

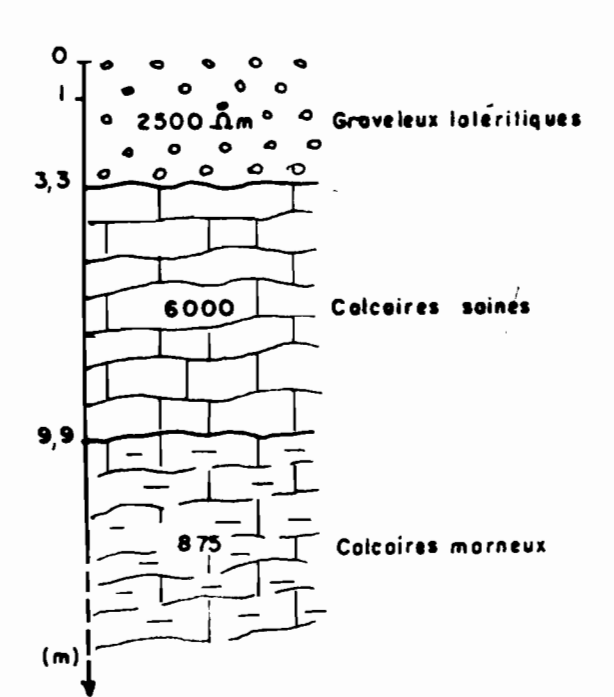
Tableau XI : Résultats de EKIN<sub>2</sub>

N° du	V	e.(m)
terrain	$m/10^{-3}$ s	
1	0,5	0,90
2	1,5	/

Tableau XII: Résultats de SKIN<sub>1</sub>

En plus des résultats du CEREEQ (1984), les sondages SIF n° 5, 6 et 7 à 17, donnés par le plan minéral sénégalais ajoutés à nos observations de terrains, nous ont permis de trouver la nature géologique de chaque terrain (fig. 19).

Les sondages EKIN<sub>1</sub> et EKIN<sub>2</sub> donnent des valeurs d'épaisseur de latérites très cohérentes. Mais en comparant les résultats de l'électrique avec ceux de la sismique (SKIN<sub>1</sub>), nous constatons un écart trop important (fig. 19 et 20). Il pourrait provenir de mauvais contacts lors de la réalisation du profil sismique qui a eu lieu en saison sèche. Malheureusement, nous n'avons pas eu les moyens matériels de reprendre ce profil aussitôt après la saison des pluies pour contrôler.



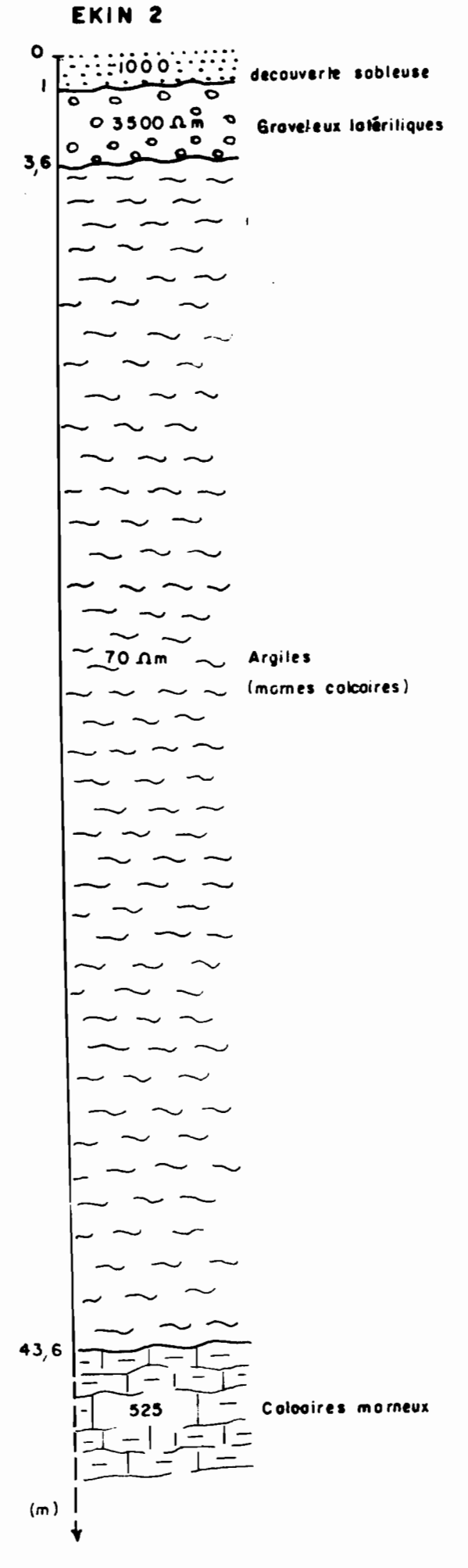


Fig. 19 : Coupes géologiques réalisées à partir des sondages électriques effectuées à K.I.N.

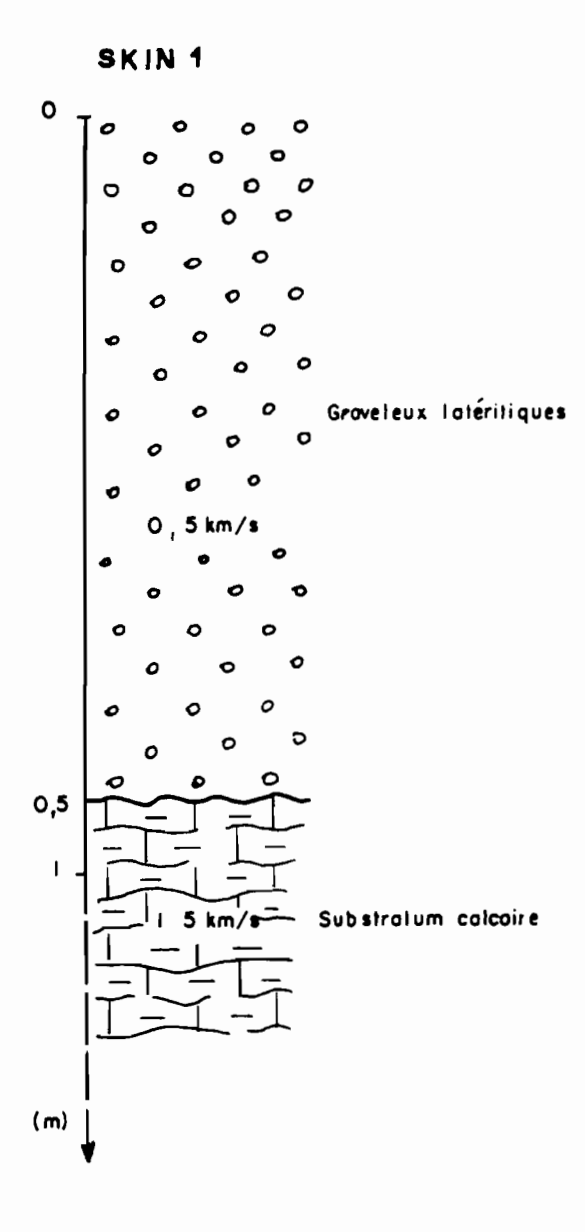


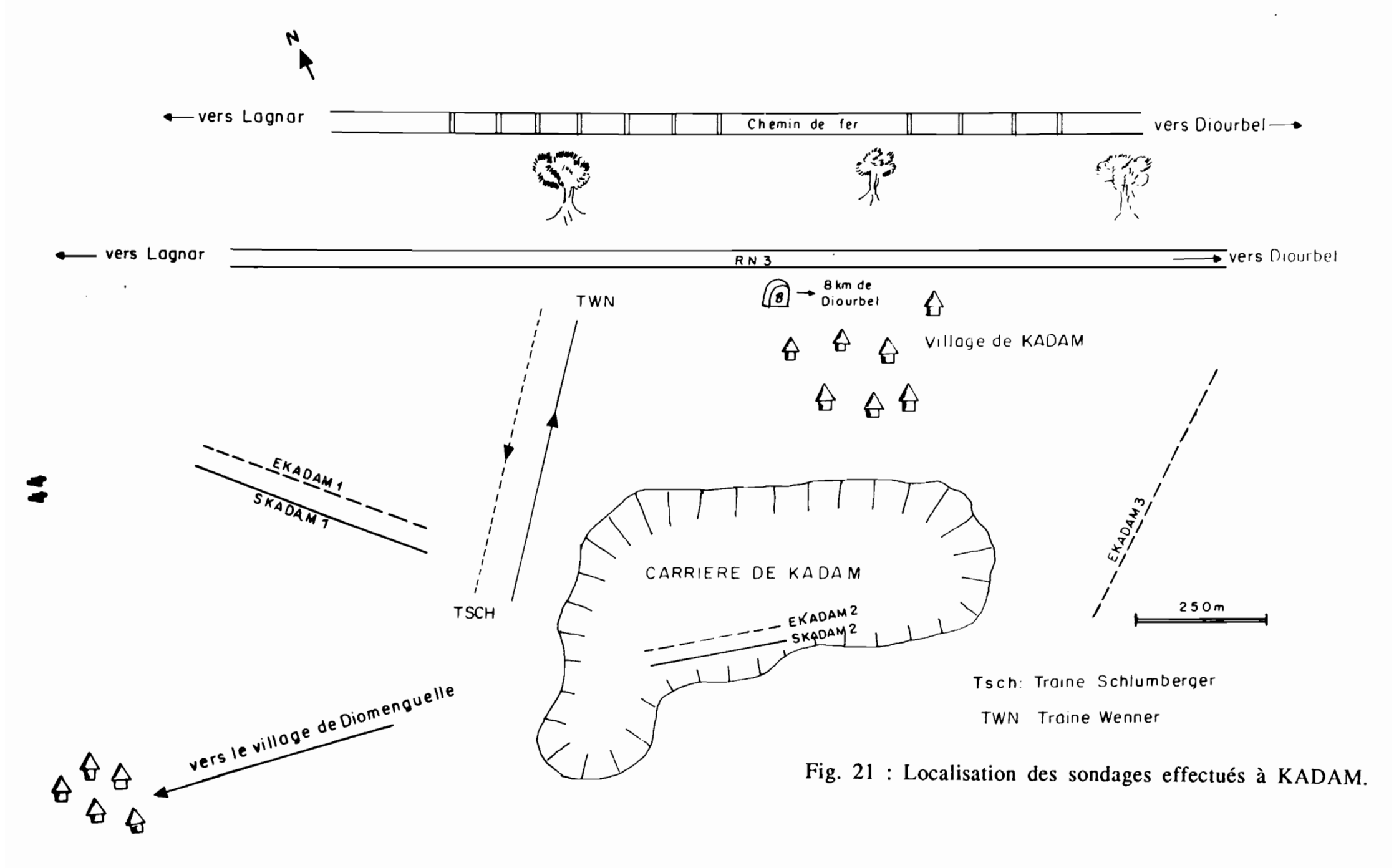
Fig. 20 : Coupe géologique réalisée à partir du sondage sismique effectué à K.I.N.

Une comparaison des épaisseur avec des valeurs de référence données par le CEREEQ à la suite d'une prospection par puits réalisée en 1984, montre une légère différence.

Ceci peut s'expliquer par les variations importantes des épaisseurs de la découverte sableuse et de la couche de graveleux observables en faisant le tour du front de taille de la carrière.

	Epaisseur de la découverte (en m)	Epaisseur des graveleux (m)
Résultats du CEREEQ (1984)	0,3 à 2	0,80 à 2
Prospection géophysique (1991)	1	0,9 à 3,3

Tableau XIII : Comparaison des épaisseurs trouvées à Keur Ibra Niane avec les résultats du CEREEQ.



#### 2.4.- Site de KADAM

Le village de KADAM est situé à 8 km de Diourbel sur la RN3 (fig. 11), dans la Communauté rurale de Lagnar.

Sur ce site, nous avons effectué:

- trois sondages électriques ;
- deux profils sismiques;
- et deux "trainés" électrique (fig. 21).

L'interprétation des courbes de sondages et des hodochrones a donné les résultats mentionnés sur les tableaux XIV, XV, XVI, XVII et XVIII.

N° du	$\rho_{lack a}$	e.(m)
terrain	$(\Omega.m)$	
1	400	0,55
2	120	2,5
3	1200	1

14 da	P 1	U.(111)
terrain	$(\Omega.m)$	
1	120	1,4
2	1350	3
3	90	1

Tableau XIV : Résultats de EKADAM<sub>1</sub> Tableau XV : Résultats de EKADAM<sub>2</sub>

N° du	$\rho_{ extbf{1}}$	e.(m)	
terrain	$(\Omega.m)$		
1	270	0,8	
2	88 —	5,2	
3	1920	2,5	
4	40	1	



Tableau XVI: Résultats de EKADAM<sub>3</sub>

N° du	V.	e.(m)	
terrain	$m/10^{-3}$ s		
1	0,4	0,70	
2	0,6	4,6	
3	1,5	1	

N° du	V	e.(m)	
ter <u>rain</u>	$m/10^{-3}$ s		
1	0,55	2,1	
2	1,8	/	

Tableau XVII: Résultats de

Tableau XVIII: Résultats de SKADAM2

SKADAM<sub>1</sub>

A partir des courbes de sondages électriques, EKADAM<sub>1</sub> et EKADAM<sub>3</sub>, nous remarquons que les modèles ont la même allure jusqu'au troisième terrain et que EKADAM<sub>3</sub> révèle un quatrième terrain. Ceci confirme le fait que quand les terrains sont humides, l'investigation est plus facile et plus précise. Néanmoins, la méthode reste bien valable en saison sèche et les résultats du sondage EKADAM<sub>1</sub> nous le montre comparé à ceux de EKADAM<sub>3</sub>.

EKADAM<sub>2</sub> réalisé en saison sèche dans le fond de la carrière, donne une courbe qui épouse la même forme que celle de EKADAM<sub>3</sub> si on fait abstraction de la partie représentant la découverte.

D'après la coupe réalisée par la société des pétroles du Sénégal en janvier 1960, d'après les résultats de sondage du CEREEQ (1963), mais aussi et surtout d'après nos observations de terrains à partir du front de taille de la carrière et des déblais d'un puits creusé à 200 m environ, nous avons pu identifier la nature géologique de chaque terrains (fig. 22 et 23).

A partir des coupes des fig. 22 et 23, nous remarquons que l'épaisseur de la découverte est peu variable (0,55 à 0,8 m). Par contre les sondages EKADAM<sub>1</sub>, EKADAM<sub>3</sub> et SKADAM<sub>1</sub>, SKADAM<sub>2</sub>, montre une grande variabilité des valeurs de l'épaisseur de la couche de graveleux.

Des mesures faites tout autour du front de taille de la carrière de KADAM confirment bien cette variation de la puissance de la latérite (fig. 24).

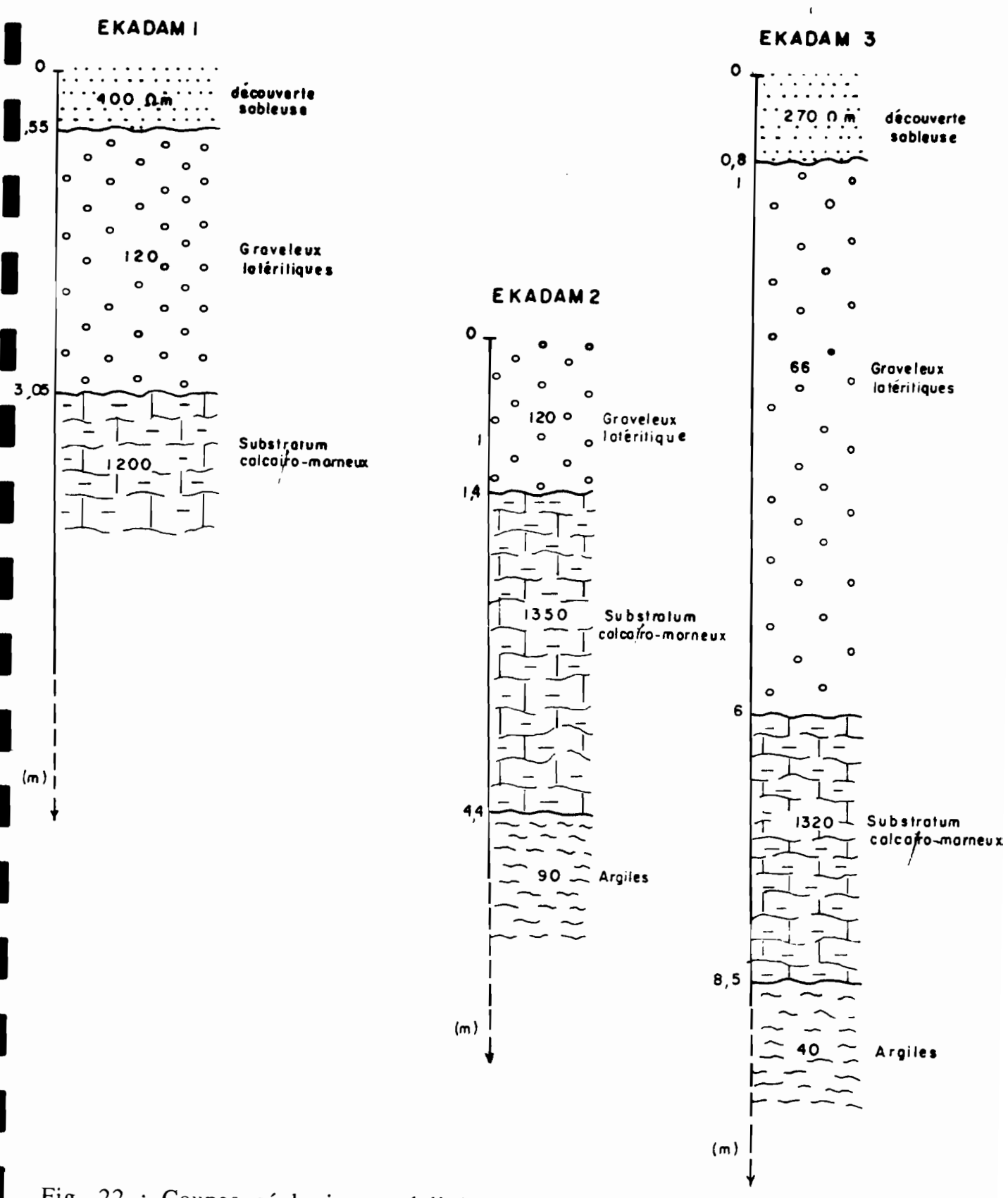


Fig. 22 : Coupes géologiques réalisées à partir des sondages électriques effectués à KADAM.



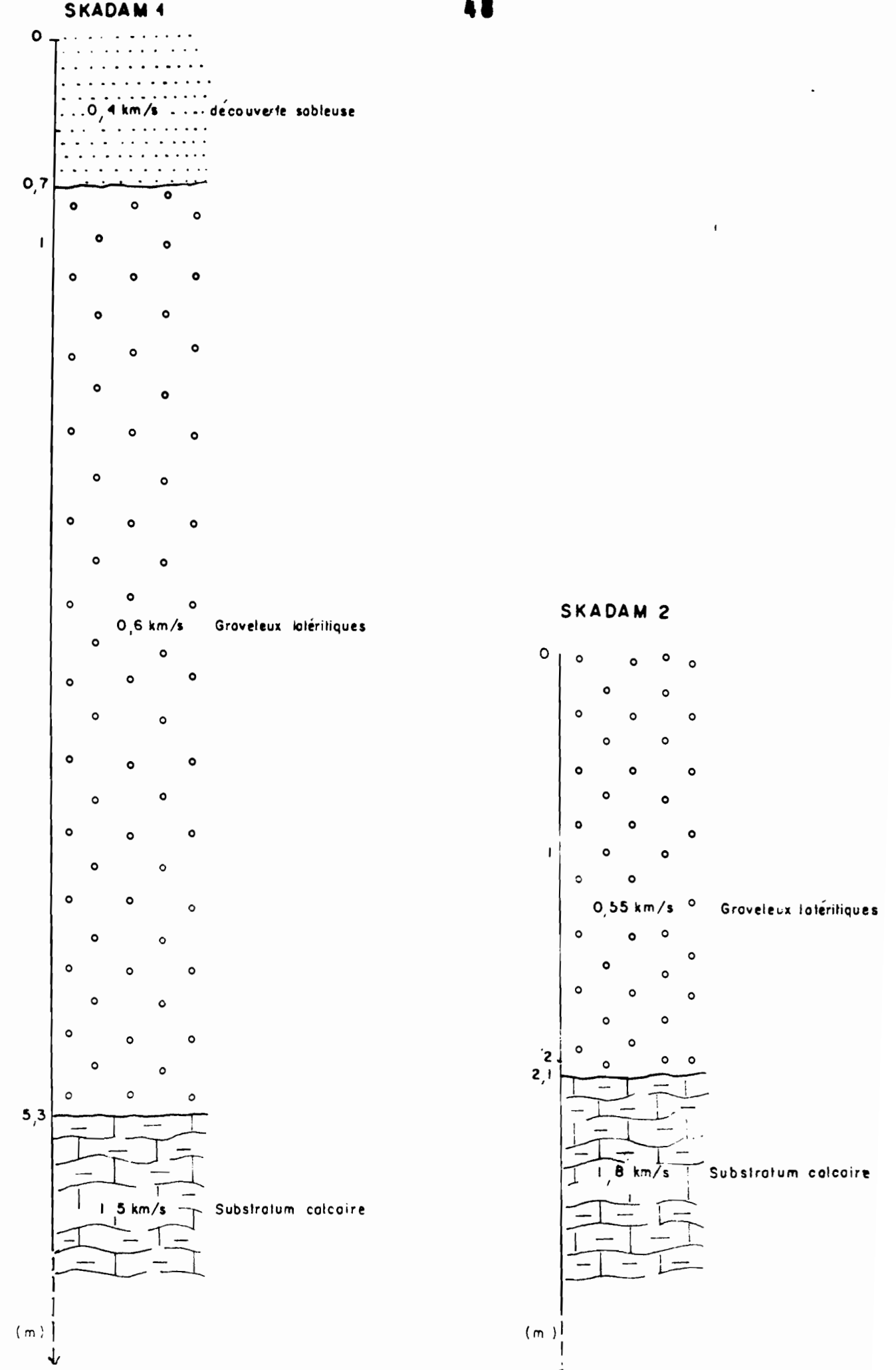


Fig. 23 : Coupes géologiques réalisées à partir des sondages sismiques effectués à KADAM

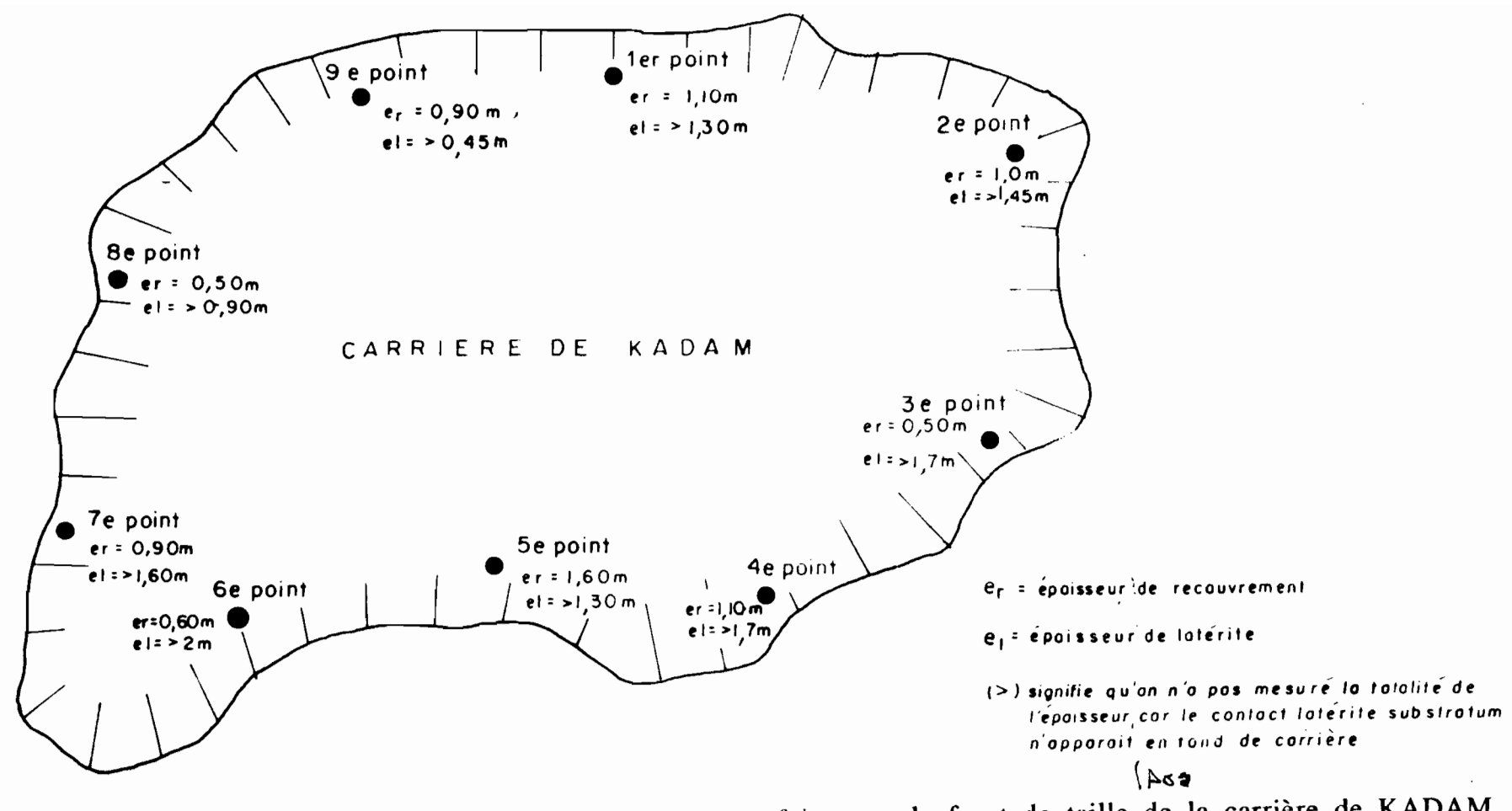


Fig. 24 : Mesures faites sur le front de taille de la carrière de KADAM.

Les valeurs des épaisseurs de découverte et de graveleux données par le CEREEQ à la suite d'une prospection par puits réalisée en 1963 sur ce site, nous permet de faire une comparaison.

	Epaisseur de la découverte (en m)	Epaisseur des graveleux (m)
Résultats du CEREEQ (1963)	1,10	1,70
Prospection géophysique (1991)	0,55 à 0,80	2,50 à 5,20

Tableau XIX: Comparaison des épaisseurs trouvées à KADAM avec les résultats du CEREEQ.

En analysant ce tableau XIX, nous remarquons comme précédemment que les valeurs de l'épaisseur de la découverte sont sensiblement les mêmes pour les deux méthodes.

diver

Les épaisseurs de la couche de graveleux latéritiques trouvées par les méthodes géophysiques sont toujours plus importantes parce que parfois le CEREEQ ne donne que l'épaisseur de la latérite jugée exploitable. Dans le cas présent, il y a deux niveaux de latérite séparée par un bancs de grès quartzique discontinu (fig. 25). Le CEREEQ a donné l'épaisseur du premier niveau de graveleux latéritiques qui était déjà suffisant pour les travaux à faire surtout qu'une exploitation du deuxième niveau pourrait poser des difficultés à cause de ce banc très dur. L'épaisseur de ce premier niveau de graveleux fait environ 2 m (fig. 25 et fig. 26), et serait donc parfaitement comparable à la valeur donnée par le CEREEQ.



Fig. 25: Photo prise sur le côté SW du front de taille de la carrière de KADAM montrant le banc de grès quartzique.

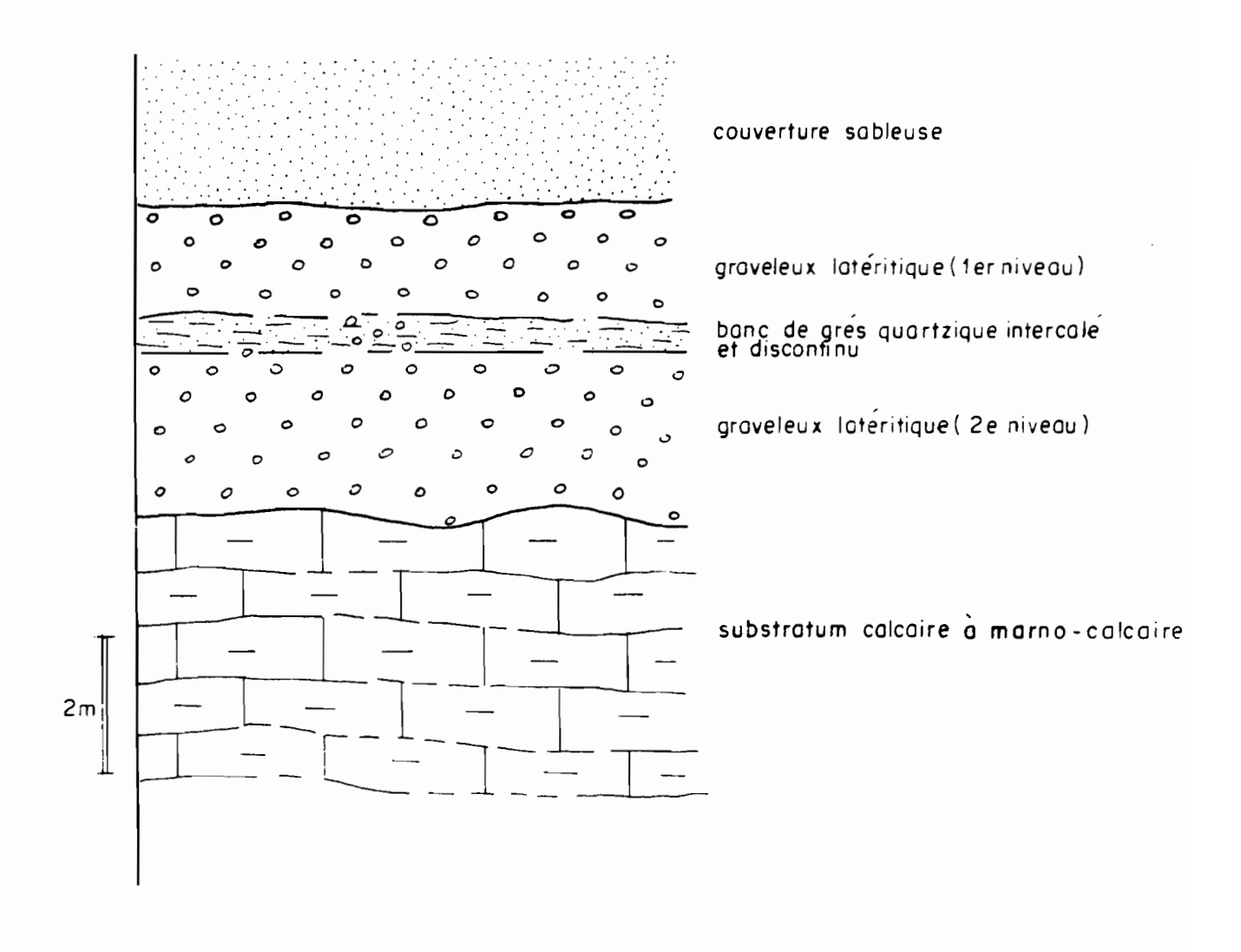


Fig. 26 : Coupe géologique sonthétique à KADAM réalisée à partir du front de taille de la carrière de latérite.

## \* Les "trainés" électriques

Les deux "trainés" électriques ont été réalisés parallèlement et sur le même endroit.

Pour le "trainée Wenner (T.Wen), nous avons AB<sub>/3</sub> = 4 m.

Pour le "trainé" Schlumberger (T SchL), nous avons choisi AB<sub>/2</sub> = 15 m et MN<sub>/2</sub> = 2 m.

Ces paramètres ont été choisis en fonction des données des sondages réalisés sur le site. A KADAM, le mur de la couche de graveleux se situerait au maximum à 6,2 m. Comme pour un "trainé" la profondeur d'investigation varie entre AB<sub>20</sub> et AB<sub>4</sub>, les valeurs de AB<sub>3</sub> (Wenner) et AB<sub>2</sub> (Schlumberger) choisies permettent en principe de rendre compte de l'extension de la couche de graveleux latéritiques à partir des variations latérales des résistivités.

En faisant une interprétation qualitative des courbes obtenues, on remarque des maxima et des minima aussi bien pour le Wenner que le Schlumberger (fgi) 27). Les variations latérales sont plus marquées sur le profil Schlumberger (pic) puisque l'investigation concerne une tranche de terrain plus importante (AB = 30 m alors que Wenner AB = 12 m). Les maxima et minima correspondraient à des augmentations ou diminutions de l'épaisseur de graveleux latéralement Il serait dès lors intéressant pour mieux optimiser les résultats d'une prospection géophysique dans le secteur, d'établir une carte des résistivités. Ceci permettrait de faire plus facilement une localisation plus juste des melleurs gisements en tenant compte des paramètres profondeurs, puissance et extension latérale.

AR

lechye un enai durlemente som epaissons am la base senti Wever (AB 12 h) what reconneur gravelus bellus (AB: 30m) relate favelens agriculture

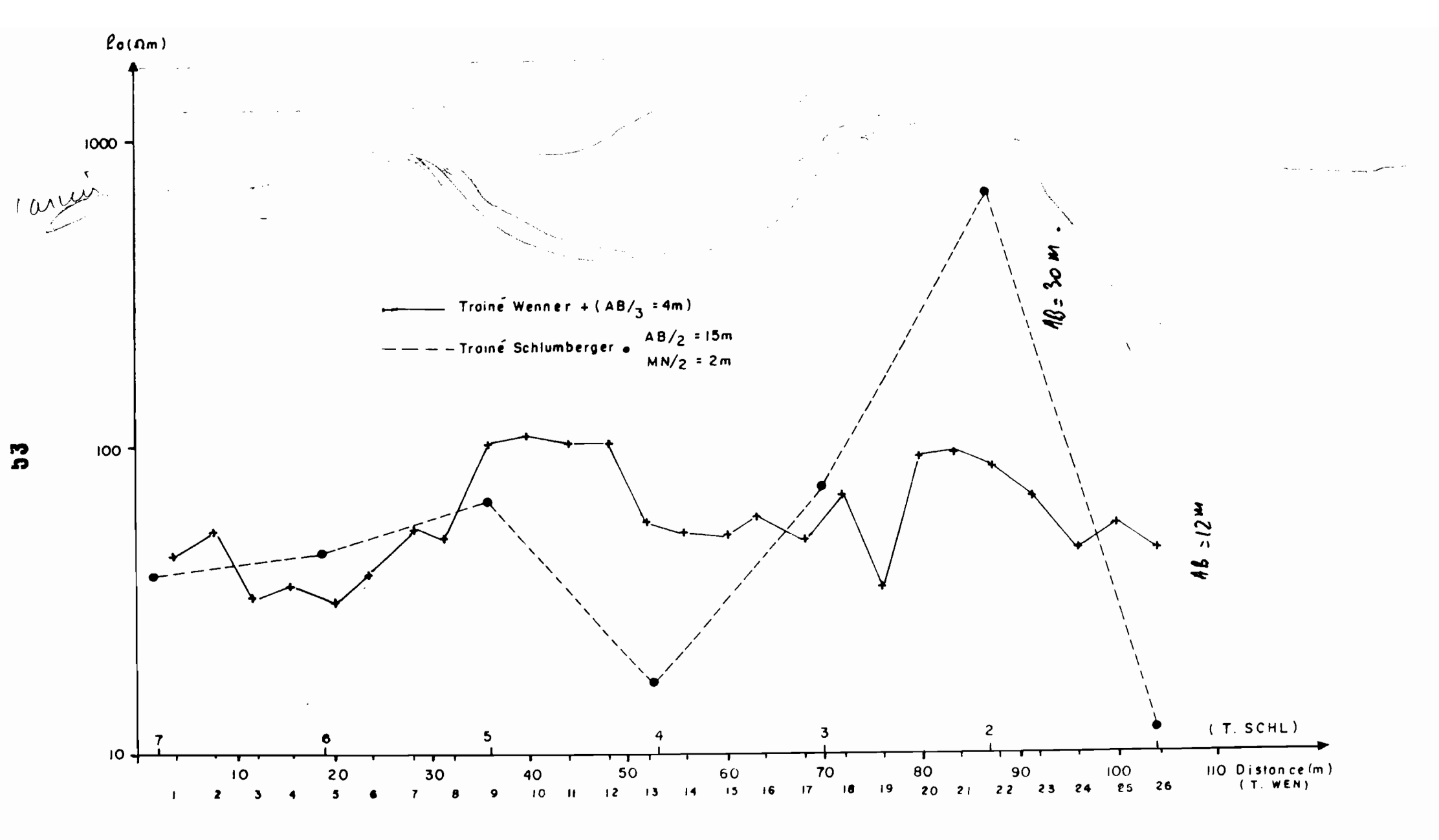


Fig. 27: "Trainés" électriques effectués à KADAM.

# 3 - DEFINITION D'UNE ECHELLE DE RESISTIVITE APPARENTE ET DE VITESSE SISMIQUE POUR LES LATERITES ETUDIES

# 3.1.- Echelle de résistivité apparente des graveleux latéritiques

Sondage électriqu e	SEBIK <sub>1</sub>	ESEBIK <sub>2</sub>	ENDIEN E2	ENDIEN E3	EKIN <sub>1</sub>	EKIN <sub>2</sub>	EKADA M1	EKADA M2	EKADA M3
ρ <sub>a</sub> (Ω.m)	4000	1300	90	325	2500	3500	120	120	66 (88)

and could be for the same

Tableaux XX : Synthèse des  $\rho_a$  trouvées au niveau des sites test pour les graveleux.

D'après le professeur SAWADOGO (cours IST.2 1989), la résistivité apparente des latérites de zone tropicale varierait de 100  $\Omega$ .m à 3.000  $\Omega$ .m. Nous remarquons que toutes nos valeurs sont bien encadrées dans cet intervalle à l'exception de deux qui ne sont d'ailleurs pas loin des extrêmes.

# 3.2.- Echelle de la vitesse sismique à travers les graveleux latéritiques étudiés

Profil sismique	SNDIENE <sub>1</sub>	SNDIENE <sub>2</sub>	SNDIENE <sub>2</sub>	SKIN <sub>1</sub>	SKADAM <sub>1</sub>	SKADAM <sub>2</sub>
$(m/10^{-3}s)$	0,80	0,80	0,51 7 1,04	0,50	0,60	0,55
Ver	6.32	0.51			15-6	

Tableau XXI: Synthèse des vitesses sismiques à travers les graveleux des sites test.

Malheureusement nous n'avons eu aucun document donnant des valeurs de vitesse sismique à travers les latérites pour pouvoir comparer avec les valeurs de vitesse trouvées à la suite de notre étude. D'après les résultats expérimentaux, nous pouvons estimer que la vitesse moyenne se situerait entre 0,8 m/10-3 s et 0,5 m/10-3 s.

# 4 - METHODE PROPOSEE POUR UNE CAMPAGNE DE PROSPECTION GEOPHYSIQUE

Une bonne campagne de prospection géophysique doit comporter au moins les quatre grandes phases suivantes :

## 1°) Phase de reconnaissance générale. Elle consiste :

- à étudier toute la documentation sur la région (forages effectués, carrières exploitées...);
- à étudier la géologie de la région, sa morphologie et sa topographie ;
- à faire des observations directes sur le terrain. Cette étape nous permet d'avoir grossièrement une idée sur la nature et l'organisation des différentes couches de terrain.

## 2°) Phase d'étalonnage

L'étalonnage s'effectuera sur des affleurements ou des carrières situées le plus proche possible de la zone à prospecter.

un la reali

Etant donné que les graveleux latéritiques représentent un matériau trop hétérogène, les résistivités et les vitesses sismiques sont très variables et peuvent être fonction de la teneur en eau, de la granulométrie, de la plasticité, de la fraction argileuse...

Il est donc préférable de faire l'étalonnage des mesures sur un grand nombre d'échantillons (sites) ce qui permettrait d'avoir une fourchette de valeurs caractéristiques de la couche de graveleux latéritiques.

#### 3°) Prospection s.s.

C'est seulement après les deux premières phases que la prospection proprement dite peut débuter.

- \* Si on suppose l'élément et on veut voir son extension, on réalise des profils (trainés) ou des cartes de potentiel.
- \* Si le but est exploratoire, on réalise des "trainés" sur x km avec sondage tous les km par exemple.
- \* On peut aussi effectuer des sondages suivant une maille et faire des corrélations pour déterminer l'extension et la puissance du gisement recherché.

# 4°) Sondage de contrôle

Il est préférable quelque soit la fiabilité de la méthode utilisée de terminer une campagne de prospection géophysique par l'examen direct des sols en place à partir de deux tranchées ou puits.

Le choix entre tranchée et puits sera fonction des engins et outils disponibles, de l'homogénéïté et du modelé superficiel du terrain.

Outre la possibilité de faire les études d'ensemble du terrain, ce procédé permet d'extraire des échantillons appropriés pour les différents essais géotechniques de laboratoire.

# 5 - PRECISION, LIMITES ET RENDEMENT DES METHODES GEOPHYSIQUES DE PROSPECTION

# 5.1.- Sondages électriques

<u>La précision</u> de l'investigation par les méthodes électriques est essentiellement liée aux facteurs suivants :

- contraste des caractéristiques physiques des couches à différencier (rapport des résistivités);
  - horizontalité des couches ;

الملكم

- épaisseur suffisante par rapport à la profondeur.

Théoriquement, la méthode n'a pas de <u>limite</u>, il suffit de donner à la ligne AB une longueur suffisante. On sera seulement limité par la puissance de l'appareillage.

<u>Le rendement</u> de la méthode est fonction elle, de trois facteurs principaux :

- la profondeur d'investigation recherchée et la maille imposée;
- le type d'appareillage;
- le nombre de membres de l'équipe et leur habileté.

#### 5.2.- Sismique réfraction

Cette méthode est aujourd'hui très employée et permet de résoudre de nombreux problèmes courant aux faibles profondeurs.

La précision de la méthode dépend presqu'exclusivement de la sensibilité de l'appareillage. Il faudrait avant toute mesure, bien régler le bruit de fond pour pouvoir mieux déceler le temps d'arrivée des premières ondes qui en fait sont les plus importantes à relever pour l'interprétation des hodochrones.

<u>Le rendement</u> de la méthode est très intéressant, car les appareillages légers sont en général mis en oeuvre par une équipe de fonctionnement composée d'un opérateur et deux manoeuvres.

# **REMARQUES**

On peut rencontrer des difficultés de mise en oeuvre quand les terrains sont trop secs, par conséquent, il serait préférable d'effectuer les sondages pendant l'hivernage ou alors juste après les dernières pluies. Les contacts seraient nettement meilleurs et le contraste de résistivité amélioré.

L'interprétation est très délicate et peut même parfois devenir très complexe du fait surtout que les correspondances entre faciès géophysiques et faciès géologiques ne sont pas biunivoques.

magnity

# TROISIEME PARTIE

# PROPRIETES GEOTECHNIQUES ET UTILISATION DES LATERITES EN TECHNIQUES ROUTIERES

# 1.- Détermination des propriétés géotechniques des graveleux latéritiques

C'est dans les travaux routiers que l'utilisation des graveleux latéritiques est la plus répandue. Les caractéristiques géotechniques les plus importantes pour ce type de matériau sont :

- la granularité;
- les limites d'atterberg ;
- l'optimum Proctor;
- et la portance CBR.

Il faut signaler par ailleurs qu'au Sénégal, d'importantes études ont été menées pour la construction de bâtiments en sol latéritique stabilisée à la chaux ou au ciment.

Dans le but d'établir une corrélation entre les paramètres géophysiques (résistivité et vitesse sismique) et les caractéristiques physiques et mécaniques des graveleux latéritiques, quelques essais d'identification et de comportement ont été réalisés sur des échantillons prélevés au niveau des quatre sites test (NDIENE, KIN, KADAM et SEBIKOTANE).

Les résultats des analyses faites dans les laboratoires du CEREQ et de l'ENSUT, sont consignés dans le tableau XXIIa.

## 1.1.- La teneur en eau (W %)

La teneur en eau d'un graveleux est le rapport entre le poids d'eau et le poids des grains solides d'un certain volume après séchage à l'étude à 105°C jusqu'à un poids constant.

Elle s'exprime en pourcentage

$$W \% = \frac{P_w}{P_s} \times 100$$

 $P_w = poids de l'eau$ 

 $P_s$  = poids des grains solides

·L'essai est réalisé sur des échantillons représentatifs.

En général, on procède à plusieurs déterminations de la teneur en eau sur un échantillon et on prend la valeur moyenne appelée teneur en eau optimum (Wopt).

## 1.1.2.- Poids spécifique du graveleux sec

Le poids spécifique est défini par le rapport poids sur volume.

Pour la réalisation de l'essai, on prélève un échantillon de volume connu et immédiatement on le pèse pour obtenir son poids.

Le rapport poids sur volume donne le poids spécifique du graveleux humide.

L'échantillon est ensuite placé à l'étude et on pourra ainsi déterminer sa teneur en eau (W %). Le poids spécifique du graveleux sec  $(\gamma_d)$  sera alors donné par la relation :

$$\gamma_d = \frac{\gamma_h}{1 + w}$$

# 1.1.3.- Analyse granulométrique

Elle se propose de définir la répartition des grains constitutifs d'un sol par classe de taille en utilisant le tamisage mécanique pour les grains supérieurs à 0,1 mm ou la sédimentométrie pour les particules inférieures à 0,1 mm.

Nous savons que la latérite a une structure concrétionnaire.

Elle se réalise par agrégation des sesquioxydes positivement chargés autour des particules argileuses de charge négative.

Précisons que cette agrégation se réalise plus facilement dans le cas des oxydes de fer que celui de l'alumine. Géotechniquement, le graveleux latéritique est défini comme une latérite de granulométrie 0/20 mm à 0/40 mm comportant 10 à 35 % de fines passant au tamis de 80 mm (tamis n = 200 ASTM) et un "squelette" (refus sur le tamis de 2 mm ASTM N = 10) de 20 à 60 %.

Quand la latérite contient plus de 35 % de passant à 80 mm, elle n'est plus considérée comme graveleux mais plutôt comme sol fin par conséquent, elle ne pourra être utilisée dans les travaux qu'après amélioration au ciment par exemple ou à la chaux.

#### 1.1.4.- Les limites d'ATTERBERG

C'est un essai qui se pratique sur les fines.

Dans la fraction fine des graveleux, les limites d'atterberg mettent en évidence l'influence de la teneur en eau sur la consistance du matériau.

Lorsque la teneur en eau décroît, on distingue trois états (état liquide, plastique et état solide).

La transition d'un état à l'autre est progressive. On fixe conventionnellement les teneurs en eau limite (ou limite d'atterberg) entre les différents états.

# 1.1.4.1.- Limite de plasticité (Wp)

C'est la teneur en eau au-dessous de laquelle le sol perd sa plasticité et devient friable.

La plasticité dépend essentiellement de la nature de la fraction argileuse à  $80~\mu$ .

Par ailleurs, la proportion de fines demeure aussi un critère d'utilisation de grande importance et nous pouvons pour ce, évoquer deux raisons :

- d'abord parce que la qualité recherchée est avant tout la stabilité du matériau. Cette condition exige que la matrice soit maintenue au-delà d'un pourcentage minimal de façon à pouvoir contenir par cohésion l'action du trafic;
- une limite supérieure doit cependant être spécifiée pour contrôler une éventuelle perte complète de contact entre les éléments de gros calibre.

#### 1.1.4.2.- Limite de liquidité (W1)

C'est la teneur en eau au-dessus de laquelle le sol se comporte comme un semi liquide et s'écoule sous son propre poids.

## 1.1.4.3.- Indice de plasticité (Ip)

A partir des limites d'Atterberg, on peut calculer l'indice de plasticité qui permet au géotechnicien une appréciation rapide du comportement du matériau.

L'indice de plasticité est obtenue par la relation suivante :

$$I_p = W_l - W_p (\%)$$

Il définit l'étendue du domaine plastique, il est d'autant plus élevé que le graveleux contient plus d'argile (fines). Suivant la valeur de l'indice de plasticité. On peut procéder à une classification du matériau, ainsi nous avons :

#### 1.2. Essai de comportement réalisé : Essai CBR

La portance routière d'un graveleux est son aptitude à supporter à travers une certaine structure de chaussée les charges routières qui devront parcourir la chaussée. Diverses techniques d'évaluation de la portance en laboratoire et in situ, ont été mises au point. Parmi les essais de laboratoire, l'essai CBR (Californian Bearing Ratio) ou Indice portant Californien est le plus utilisé. C'est une méthode de dimensionnement des chaussée souples bien adaptée aux problèmes de route.

Il existe des abaques qui donnent l'épaisseur des chaussées souples en fonction de l'indice portant CBR et aujourd'hui, ces abaques tiennent même compte de l'intensité du trafic, de la charge par essieu et de la fréquence d'application des charges.

Pour évaluer la portance d'un graveleux latéritique, on le soumet à un poinçonnement après compactage.

Les pressions correspondantes aux enfoncements de 2,5 mm et 5 mm sont comparées à des valeurs de références qui ont été obtenues sur un sol californien type dont l'indice CBR a été pris conventionnellement égal à 100.

L'indice portant CBR est égal à la plus grande valeur des rapports exprimés en pourcentage des pressions correspondantes aux enfoncements de 2,5 mm ou 5 mm aux pressions correspondantes aux mêmes enfoncements sur le matériau standard soit respectivement 70 et 105 Kgf/cm<sup>2</sup>.

La valeur du CBR est donnée par la relation suivante :

[ P (2,5 mm) / 70] x 100 et [P (5 mm) / 105]\* 100] ]

Rappelons qu'il existe deux types d'essai CBR :

- Essai CBR de portance immédiate ; sans surcharge ni imbibition
- Essai CBR de portance avec surcharge et imbibition dans l'eau pendant 4 jours.

C'est ce deuxième type que nous avons effectué estimant que les conditions de cet essai sont plus proches de la réalité.

Les réserves émises à l'encontre de la méthode CBR portent entre autres sur la déformation à vitesse constante qui ne correspond pas aux conditions de travail de la chaussée. En effet, dans la pratique, les charges circulant sur la chaussée ne sont pas uniformes.

Néanmoins dans la pratique, l'essai CBR s'est avéré très satisfaisant et à partir des valeurs de l'indice CBR, le géotechnicien est à même de prévoir le comportement des matériaux pour le chantier. Il est recommandé d'effectuer plusieurs essais de poinçonnement (au moins 3) pour déterminer un indice CBR.

# 2.- Utilisation des graveleux latéritiques en technique routière

Les tout-venants latéritiques restent de loin les matériaux les plus utilisés pour la construction et l'entretien des chaussées revêtues ou non. Le matériau idéal doit avoir les propriétés suivantes : des caractéristiques mécaniques élevées (latérites riches en éléments graveleux), une non formation de tôle ondulée et un dégagement de peu de poussière en saison sèche, une absence de glissance et une résistance à l'érosion pendant la saison des pluies surtout pour les chaussées non revêtues (route en terre).

Il a été établi des spécifications optimales dégagées par l'expérience et des essais au laboratoire pour l'utilisation des graveleux dans les différents travaux routiers. . A propos des routes non revêtues, le graveleux latéritique peut avoir quatre utilisations.

Comme couche de fondation, un graveleux à forte portance est choisi pour pouvoir résister aux efforts verticaux.

Il peut être aussi utilisé comme couche de roulement parce que la latérite développe généralement une bonne cohésion qui résiste aux effets des pneus sans être argileux, c'est-à-dire sans se ramollir considérablement à l'humidification ou à l'imbibition.

Dans le régions où la latérite est vraiment en grande abondance, on peut utiliser le graveleux dans les travaux de terrassement.

Le graveleux latéritique fournissant une assise stable à la chaussée, est utilisée également pour la couche de forme.

Dans le cas des routes revêtues, trois utilisations sont courantes.

La première est l'utilisation en couche de fondation. Les critères de convenance dépendent des pays. Dans le cas général, on admet que c'est le CBR mesuré après 4 jours d'imbibition et pour une densité de 95 % OPM qui est fondamental. On exige souvent un CBR de 30 au plus pour cette couche. Les tolérance admissibles pour les pourcentages de fines et la plasticité sont modulées selon l'importance du trafic.

Pour la deuxième utilisation, le graveleux latéritique peut servir à la réalisation des accotements des routes en pays tropicaux.

Enfin, lorsque le critère fondamental de convenance est respecté (un CBR minimum de 80 pour une compacité de 95 % OPM), le graveleux latéritique peut être utilisé comme couche de base. Il y a aussi possibilité d'utiliser un graveleux de CBR > 60 en le traitant au ciment si le trafic est important.

Site où	i I					
l'échantil-		Paramèi	tres Géote	echniques	étudiés	
lon a été	CBR	Ιp	$\gamma_{\rm dmax}$	Wopt	% P	assant
prélevé	(%)	(%)	$(g/cm^3)$	(%)	à 2 mm	à 0,1 mm
Keur Ibra Niane (KIN)	64	18 → 16	2,04	9,0	22 à '35	9 à 11
K	80	19 → 16	2,32	7,1	9,0 → 25	7 à 14
A D A	65	$22 \rightarrow 54$	2,28	7,2	24 → 29	9 à 16
M	03	14 →(41)	2,34	6,7	20 → 35	8 à 13
N	105/70	9/7 → 8/5	2,05 →	8/10	15/15 →	6/5 →
D			1,97		28/33	11/12
I E	115	10 → 10	2,04	8,5	$18 \rightarrow 34$	7 → 12
N	113	(2)		0,5		
E	113	((8,5))	2,09	8,6	<b>→ 49</b>	<b>→ 22</b>
S						
E	126	8 → 8	2,16	8,7	$40 \rightarrow 65$	18 →27
B I		19 → 22	1,85	12,0	23→ 28	15 → 19
K		$ 19 \rightarrow 22 $	1,05	12,0	23→ 28	$13 \rightarrow 19$
0	120	20 → 20	1,91	13,2	32 à 40	19 à 26
T						
A N						
E						

TABLEAU XXIIA: Résultats des essais de laboratoire réalisés sur les graveleux latéritiques étudiés.

N.B.: Valeur avant compactage  $\rightarrow$  Valeur après compactage

# QATRIEME PARTIE

ESSAI DE CORRELATION ENTRE PARAMETRES GEOPHYSIQUES ET GEOTECHNIQUE

# I - COMMENTAIRES DES DIFFERENTES COURBES DE CORRELATION

Les différents sondages électriques et profils sismiques réalisés au niveau des quatre sites test nous ont permis d'avoir différentes valeurs de la résistivité apparente et de la vitesse sismique des graveleux latéritiques (tableaux XX et XXI). Les valeurs des différents paramètres géotechniques consignés sur le tableau XXIIa ont été obtenues grâce à des essais réalisés dans les laboratoires du CEREEQ et de l'ENSUT.

Il nous a semblé intéressant de tenter une corrélation entre les paramèrres géotechniques les plus importants dans le choix d'un matériau et les résistivités et vitesses sismiques trouvées.

L'objectif de cette démarche est d'essayer de trouver une relation directe, à défaut une tendance qui servirait à donner une première idée de la qualité géotechnique des graveleux à partir des résultats d'un sondage géophysique.

	Latérite du site de / Paramè- tre	SEBIK <sub>1</sub> CO	SEBIK <sub>2</sub>	NDIENE 1	NDIENE 2	NDIENE 3	KIN <sub>1</sub>	KIN <sub>2</sub>	KADAM 1	KADAM 2	KADAM 3
	ρ <sub>a</sub> (W.m)	4000	1300	1	90	325	2500	3500	120	120	66
[	V(m/m _8)	1	1	0,8	0,51 1,04	0,8	0,5	1	0,6	0,55	1
	CBR	126	/ 120	105	/ 70 /	105	64	/ 64	_80	/ 65 /	62
	Ιp	15	/ 19	9_	7 / 1	0/8	18	/ 18		14 / 19	)
	Wopt	8,7	/_8,9	8,0	/ 8,6 /	8,5	9,0	9,0	7,2	/ 7,1 /	6,7

Tableau XXII : Synthèse des valeurs des paramètres géophysiques (ρ<sub>a</sub> et V) et géotechniques (CBR, Ip et Wopt) à corréler.

Malgré le petit nombre de points ayant servi à tracer les courbes, les corrélations ont donné des tendances parfois très nettes.

#### 1.1.- Courbe ρ.. CBR (fig. 28)

La courbe de la figure 28 montre que les résistivités apparentes des graveleux latéritiques sont proportionnelles à leur CBR. Aussi en prenant les valeurs trouvées au niveau de nos sites test, on devrait avoir les plus forts CBR là où nous avons mesuré les plus fortes résistivités.

Le tableau XXII confirme bien cette tendance hormi les valeurs du site de KIN qui sont d'ailleurs les deux seuls points abérants par rapport à notre courbe.

Les difficultés rencontrées dans la réalisation de nos sondages à Keur Ibra Niane, pourraient être une explication (manyais contacts).

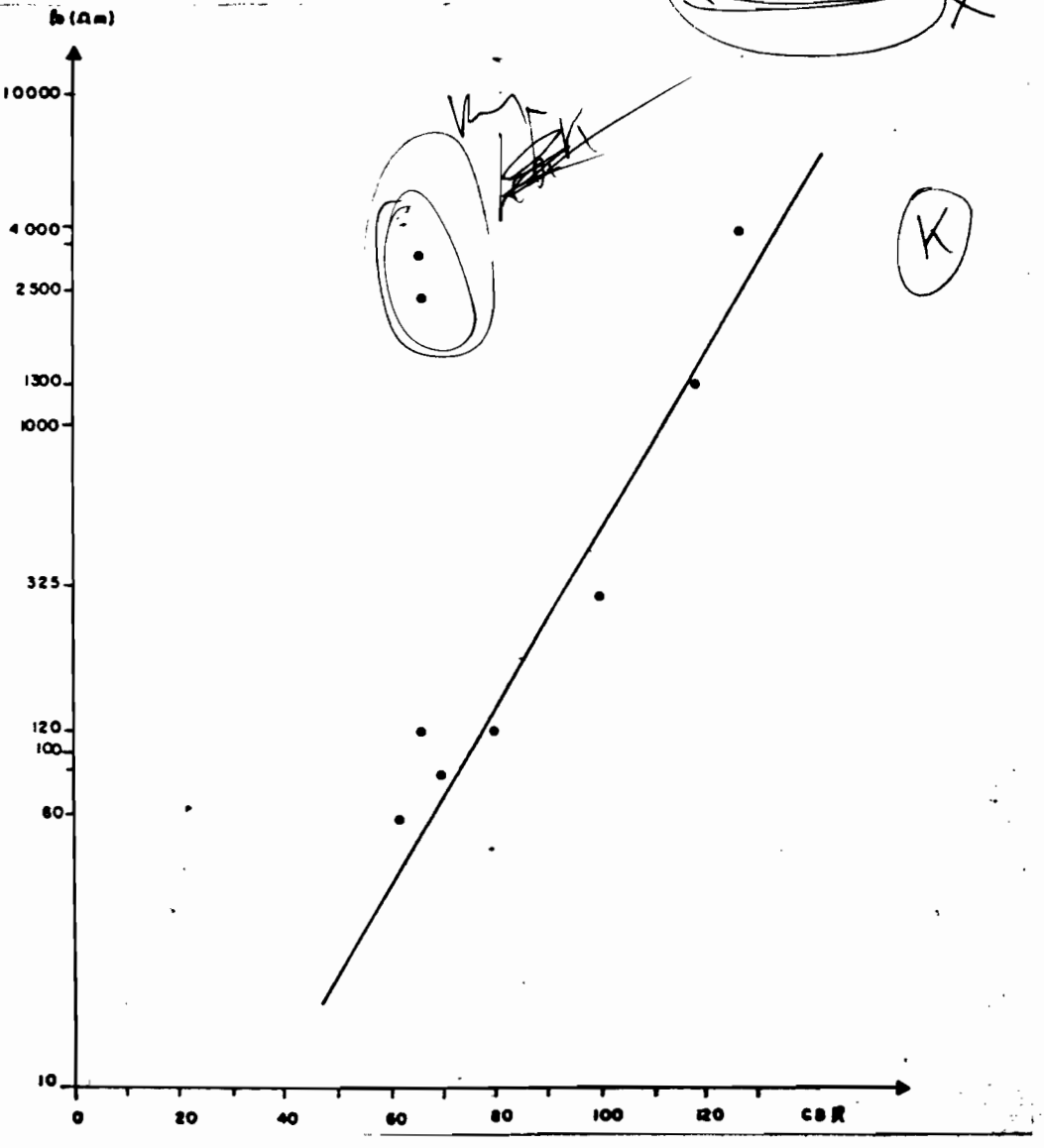


Fig. 28 : Courbe  $\rho_a$ , CBR

#### 1.2.- Courbe V. CBR (fig. 29)

La corrélation entre les vitesses sismiques et le CBR des graveleux latéritique est très correcte.

V et CBR sont proportionnels d'après la courbe et cette tendance est confirmée par les valeurs du tableau XXII.

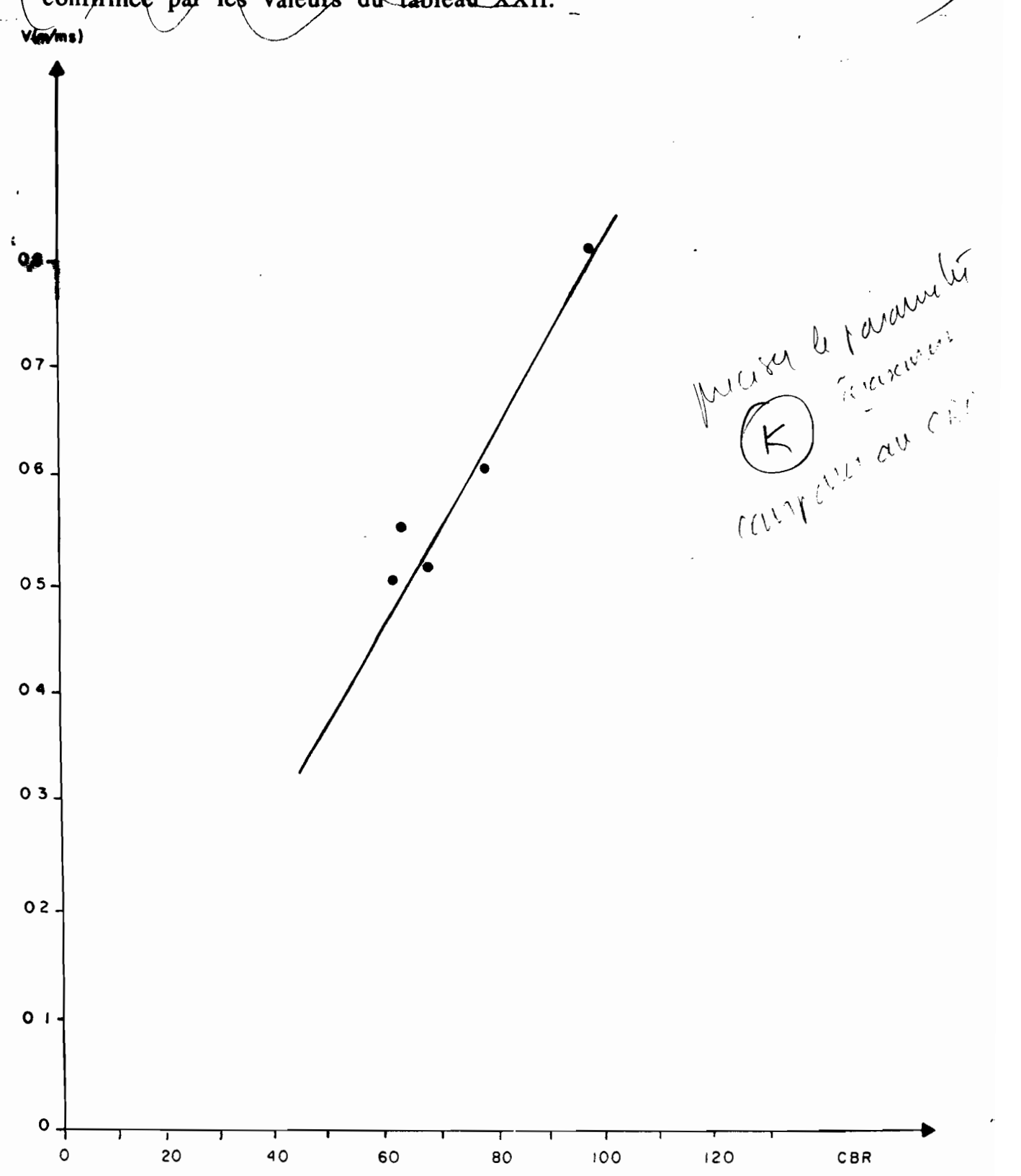


Fig. 29: Courbe V, CBR

## **I.3.-** Courbe **V.** Wopt (fig. 30)

La courbe de la figure 30 montre bien que la vitesse à travers les graveleux augmente en fonction de la teneur en eau hormis deux valeurs jugées aberrantes par rapport à la tendance et c'est toujours les valeurs trouvées à Keur Ibra Niane.

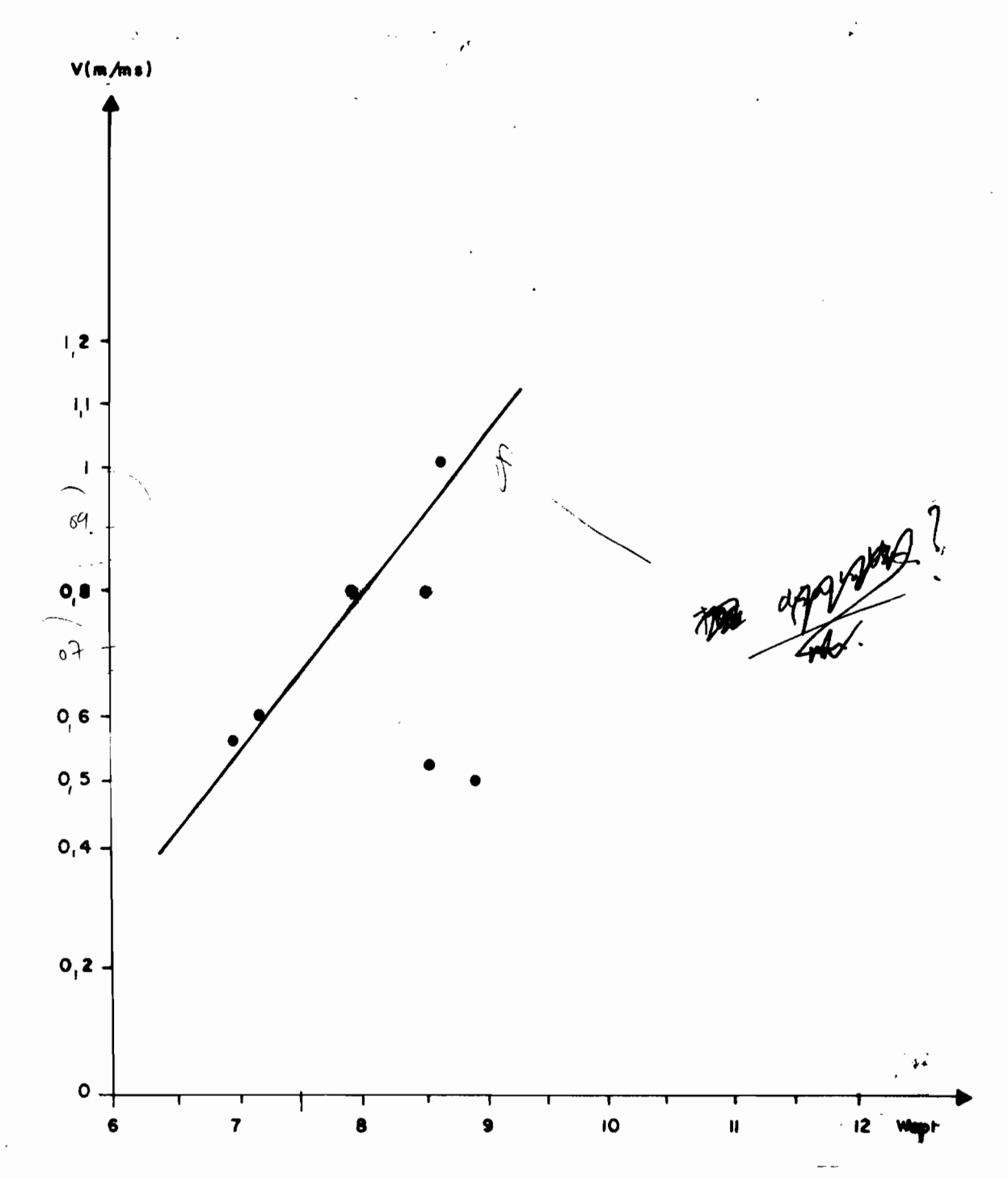


Fig. 30: Courbe♥, Wopt

### I.4.- Courbe V. In (fig. 31)

La courbe de la figure 31 montre que la vitesse sismique est inversement proportionnelle à l'indice de plasticité. Cette tendance est confirmée par les valeurs du tableau XXII.

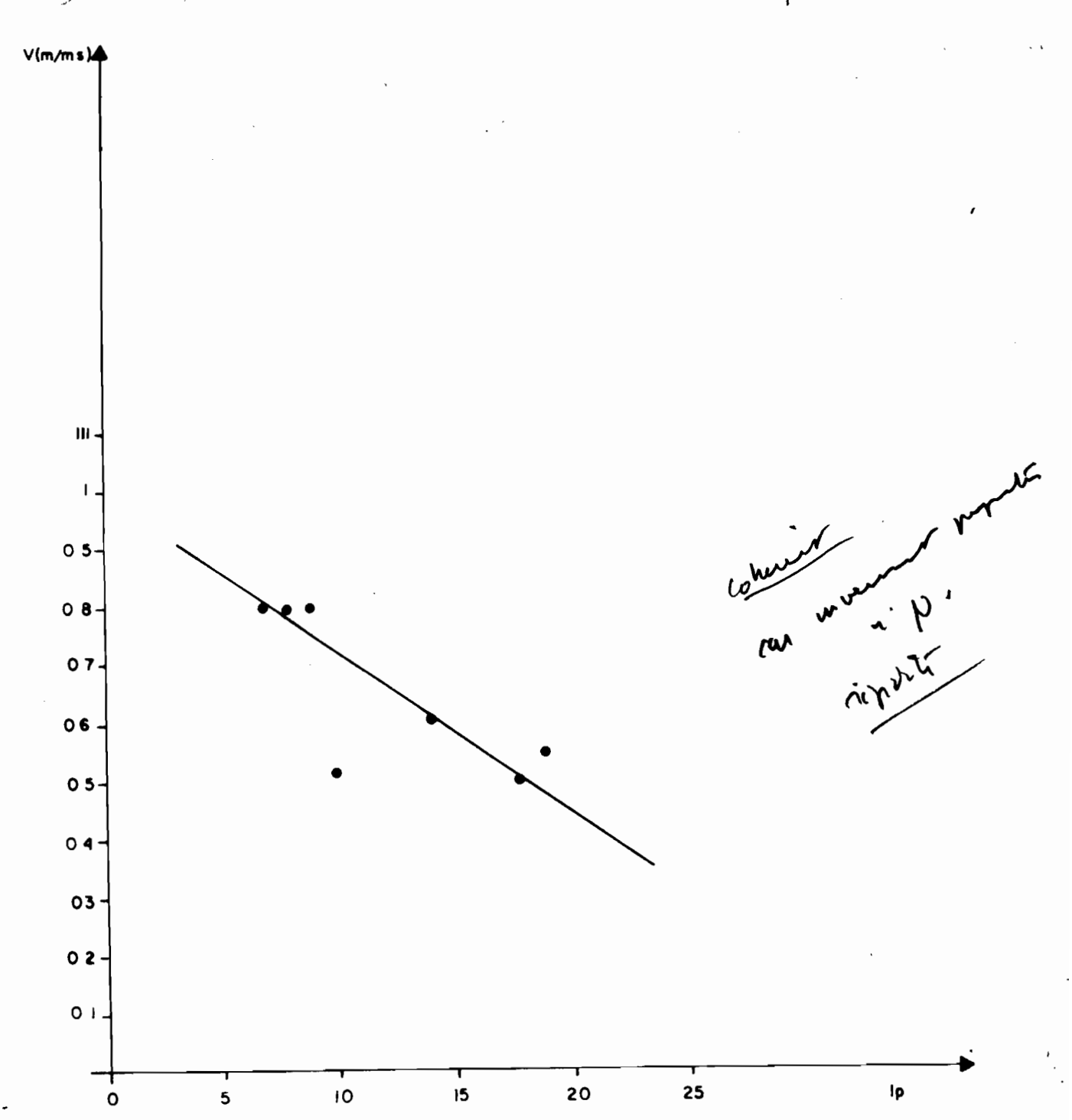


Fig. 31: Courbe V, Ip

#### **CONCLUSION GENERALE**

latérites représentent très certainement Les abondantes ressources de matériaux routiers naturels au Sénégal. Toutefois, l'ensemble des régions n'est suffisamment pas pourvu en gisements de graveleux latéritiques. Dans les régions favorisées, les latérites ne se rencontrent pas systématiquement à proximité des tracés routiers. Pour que l'exploitation soit économiquement intéressante, il est important aue les gisements régulièrement échelonnées le long des tracés, car les distances de transport importantes conduisent, rapidement à prohibitifs. Par conséquent, une campagne de prospection devient nécessaire tout le long de l'ouvrage en optimisant le maximum possible dans le choix des méthodes. C'est dans cet objectif que nous avons mené cette première expérimentation. Les résultats auxquels nous sommes parvenus, sont encourageants et nous ont permis de tirer les conclusions suivantes :

Avec les méthodes électriques, nous remarquons que les sondages réalisés aussitôt après l'hivernage (Octobre) donnent des valeurs moins dispersées que ceux effectués pendant la saison sèche (Mai et Juin).

Il serait par conséquent, préférable de programmer les campagnes de sondages électriques pendant l'hivernage ou juste après pour avoir un meilleur contact entre les électrodes et les terrains. Aussi, l'humidité faciliterait beaucoup la conduction du courant à travers les différentes couches.

La sismique réfraction a donné des résultats très homogènes malgré la sécheresse des sols.

La précision dans la différenciation des terrains et la facilité d'interprétation des résultats, rend cette méthode très séduisante.

Cependant, les méthodes géophysiques ne peuvent pas être considérées comme une panacée donnant une solution définitive aux problèmes de prospection de matériaux de construction, elles présentent quelques insuffisances.

La plus gênante est le fait que les correspondances entre faciès géologiques et faciès géophysiques ne soient pas biunivoques.

Il est dès lors impératif d'avoir une très bonne connaissance de la géologie du secteur à prospecter pour faciliter les interprétations des courbes de sondage.

Par rapport à la méthode des puits, la prospection géophysique présente quelques avantages parmi lesquels on peut citer :

- la rapidité dans l'estimation des épaisseurs des différentes couches ;
- une meilleure précision de l'extension du faciès et la possibilité de localiser les variations d'épaisseur;
- une possibilité d'avoir une idée de la qualité géotechnique dans le cas des graveleux latéritiques grâce à nos études de corrélation;
- enfin, le coût moins onéreux de sa mise en oeuvre et la rapidité dans son exécution.

#### **BIBLIOGRAPHIE**

- Bertrand Y.- La Prospection Electrique Appliquée aux problèmes de Ponts et Chaussées. Bull. de Liaison. Labo. Routiers. N° Spécial. 1, Juil. 1967.
- Bulletin signalitique C.N.R.S. Paris, section 290 Sciences de l'ingénieur, section 214 Sciences de la Terre, II : Géologie Appliquée.
- C.E.R.E.Q.: R.N<sub>2</sub>.- Tronçon DIAM NADIO (graveleux).

  N° dossiers: 72 1218

  74 1524 2

  84 3106
- C.E.R.E.E.Q.: R.N<sub>2</sub>.- Tronçon THIES TIVAOUANE (graveleux).

  N° dossiers: 79 2171 1

  79 2171 2

  84 3106
- C.E.R.E.Q.: R.N<sub>2</sub>.- Tronçon THIES KHOMBOLE (graveleux). N° dossier : 84 - 3106
- C.E.R.E.Q.: R.N<sub>2</sub>.- Tronçon KHOMBOLE DIOURBEL (graveleux).

  N° dossiers: 192 1

  84 3106
- Daniel N.- Genèse des Cuirasses. Compte-rendu de recherche sur les latérites en technique routière. UNESCO 1966.
- Denisoff I.- Contribution à l'étude des formations latéritiques au Parc National de la Garanba, Congo Belge, In Bull. Sté Belge de Pédologie VII, 1957.
- Diène M.- Latérites et stabilisation : Application à des graveleux latéritiques du Sénégal. Rapport de stage effectué à l'E.P.E.L., Lausanne, 1984.

- Dobrin.- Introduction to Geophysical Prospection, 2° Ed. New Yord, Mc Graw Bull, 1960, in 8°, IX 446 P.
- Favre.- Cours de géophysique, Ed. Technique, Paris 1958 in 8°.
- GBAGUIDI I. 1985.- Evaluation des qualités routières des sols latéritiques traités à la chaux. Application au contexte africain. Thèse de Doct. Ing., Univ. Paris VI et ENSM, Paris, 125 p.
- Gignoux M. et Mathiam J.- Génissiat, la Houille Blanche, n° Spécial, 1950, p. 55.
- Gignoux M. et Mathiam J.- La géologie appliquée à l'art de l'ingénieur est une science qu'il est impossible et dangereux de vouloir codifier ; elle ne peut guère procéder que par comparaison et analogies...
- Goguel J.- Application de la géologie aux travaux de l'ingénieur. Ed. Masson 2° Ed. Paris, 1967, p. 374.
- Hesse A.- Prospection géophysique à faible profondeur, application à l'archéologie. Thèse de Doctorat Ingénieur, Paris, 1964, n° 929.
- Howell B.- Introduction à la géophysique. Ed. Masson et Cie Paris, 1969.
- Plan Minéral Sénégalais. B.R.G.M., Département Géologie, 1986.
- Letourneur J. et Michel R.- Géologie du Génie Civil. Collection U, série "Géologie" Ed. Armand Colin, Paris 1971.
- Maignien R.- Compte-rendu de recherche sur les latérites. Ed. UNESCO, Paris, 1966, p. 155.
- Michel R.- La reconnaissance géologique des tracés routiers.

  Articulation des études et méthodes de prospection. Bull. de liaison Labo. P et C.N. 68 Nov.-Déc. 1973.

- Mourgues P.- Cours de Géophysique, I.S.T. (3ème année 1990-1991).
- Samb S.M.- Caractérisation des complexes latérite-géotextile pour le renforcement des remblais. Mémoire de Maîtrise en Ingénieur (Transport). Département de Génie Civil.
- Savadogo.- Cours d'hydrogéologie, I.S.T. (2ème année 1989).
- Tessier F.- Latéritoïdes phosphatés (Sénégal) 1950.
- Tessier F. et Lappartient.- Observations sur la latérite récente des environs de Dakar. Ed. Société géologique de France, 1967.

ANNEXES

MISSION SE N° COORDONNEES AZIMUT DATE 31/10/91

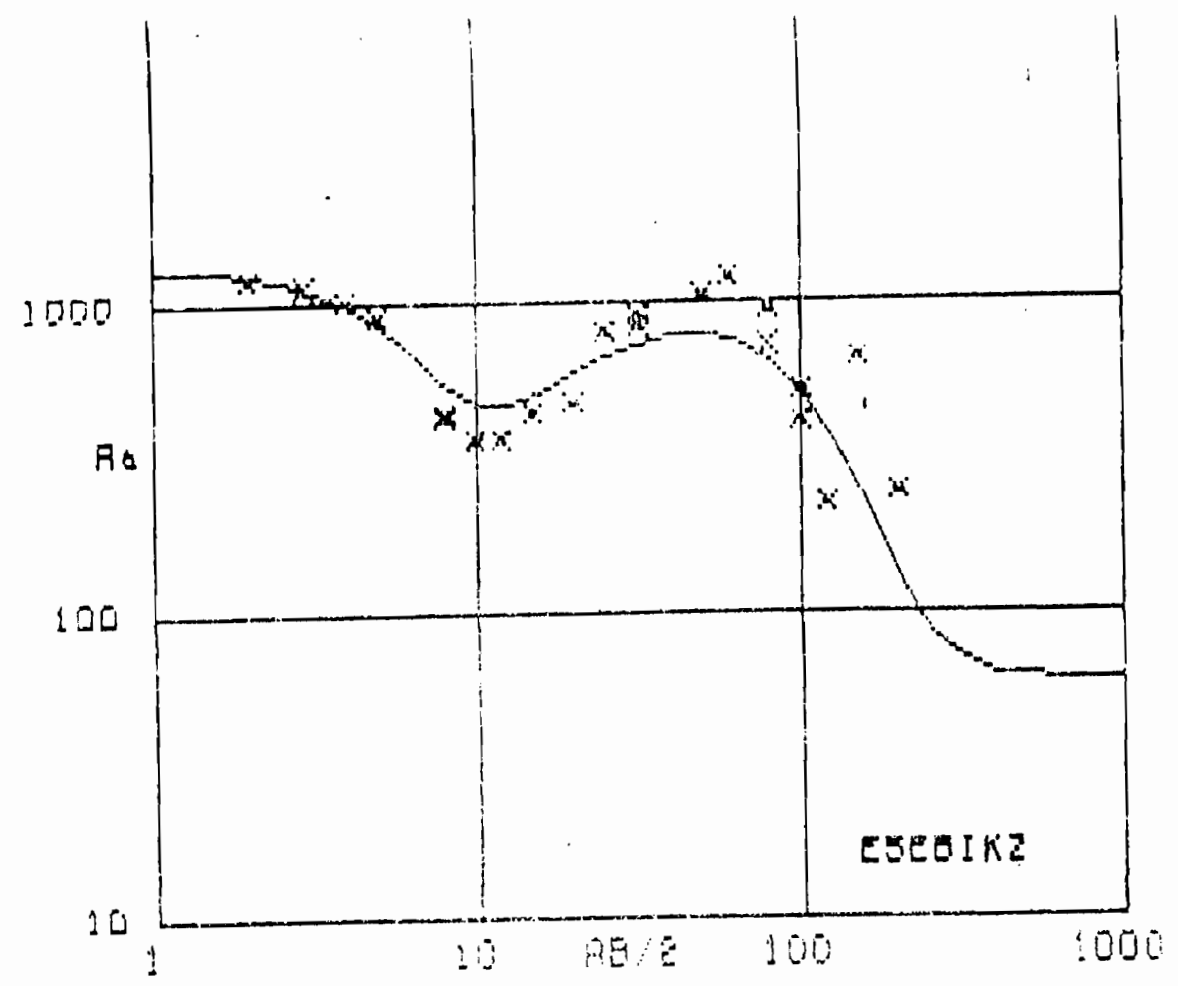
AB/2	- MN/2	Vm	I m	PS	RESISTIVITE
1	0.2	573,5	2,5	-12	1763,6
1.5	0.2	269,5	2,1	-14	2186,5
2	0.2	95,9	1,3	-15	2377,8
2	0.5	251,0	1,3	-43	2297,6
3 .	0.5	301,0	2,9	-43	2860,0
4	0.5	97,5	1,7	-43	2771,9
5	0.5	63,3	2,4	-44	2060,4
6	0.5	35,4	2,4	-44	1681,8
8	0.5	11,7	1,7	-45	1313,5
8	1	22,3	1,7	1 6	1296,8
10	1	22,1	2,6	-59	1362,5
10	0,5	11,8	2,7	-47	1424,7
12	0.5	6,36	2,0	- 47	1366,9
1 2	1	12,2	2,0	-14	1522,5
15	1	5,46	1,3	-214	1559,8
_ 20	1	_5,98	2,4	-96	1781,2
2.5	1	3,64	2,0	-75	1781,2
2.5	5	14,7	2,0	- 9	1379,2
3 2	5	9,7	2,0	- 8	1494,2
3 2	11	2,58	_2,0	- <u>62</u>	2049,5
40	5	5,22	1,5	- 6	1707,9
_50	_5	2,70	1,2	- 5	1794,1
60	5	10,7	8,2	- 2	1468,8
8 0	5	7,35	_8,0	- 1	1841,8

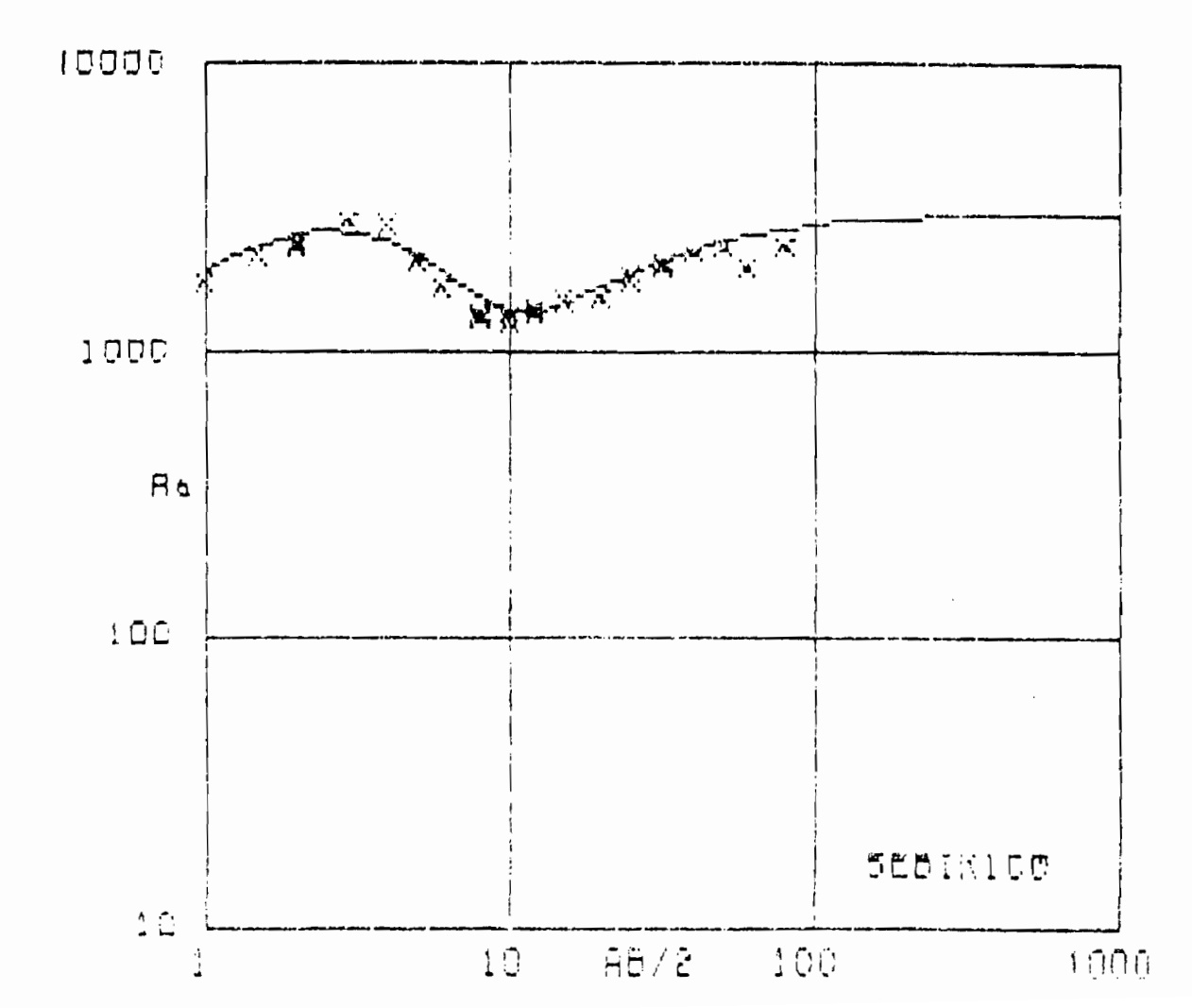
#### SONDAGE ELECTRIQUE ESEBIK2

MISSION SE Nº COORDONNEES AZIMUT N 0/10 DATE 31/10/91

A B / 2	MN/2	V m	1	DC	RESISTIVIT
NB/2	WINT	*'''	1 m	PS	E
1	0.2	1	1	1	7
1.5	0.2	1	1	,	,
2 2	0.2	1	1	1	7
2	0.5	952,7	9,3	20	1209,1
		279,7	2,7	20	2211
3	0.5	206,9	5,0	19	1147,2
4	0.5	145,3	7,0	19	1031,0
5	0.5	96,6	8,2	18	911,0
6	0.5	1	1	1	1
8	0.5	22,8	10,4	18	438,6
8	1	45,0	10,5	12	431,4
10	1	16,3	7,3	12	363,2
10	0.5	8,1	6,9	21	367,0
1 2	0.5	5,63	6,9	33	370,0
1 2	1	11,4	7,0	10	368,9
1.5	1	6,70	5,3	9	442,4
20	1	4,69	6,2	8	477,6
2.5	1	5,83	7,0	7	818,1
2.5	5	28,0	7,0	- 7	255,4
3 2	5	13,5	4,9	- 6	853,4
3 2	1	2,67	4,6	4	927,6
40	5	1	1	/	1
50	5	66,7	48,7	- 7	1065,9
60	5	17,0	15,7	- 7	1215,5
80	5	12,4	26,4	- 7	942,2
80	20	40,9	26,2	-34	736,5
100	20	5,64	10,3	-34	413
100	5	1,55	9,4	- 6	518,1
120	20	2,52	12,4	- 32	222,7
150	20	2,95	7,6	- 3 2	670,2
209	20	2.05	26,5	-31	240







ission	1	Azımut N	030	Date	:15/5/91
AB/2	MN/2	v_	L	۶••	Résistivité
1	0.2	921.8	2.2	80	3207
1.5	0.2	282.4	2.5	-80	1987
2	0.2	80.9	4.8	8.0	695.5
		105.2	4.7	-79	520
2	0.5	108.1	4.8	79	264
		70	4.8	-85	174

17**7.**9 **97.9** 560

777

761.1

319.4

288.2

217.8

216.7 221.0

169.7 169.1

323

3.7

3.0

1.0 2.6

2.2

2.3

2.8

2.9

1.9

1.3

1.5

1.9

-84

-79

-78 -79

-88

81

-73

12

71

11

- 30

32 33 4199

2969

7577

24360

69432

32956

17808

31277 26358

59878

94570

88633

17037

4 5 6

8

8

10 10

12 12 15

20 25

0.5 0.5

0.5

0.5

0.5

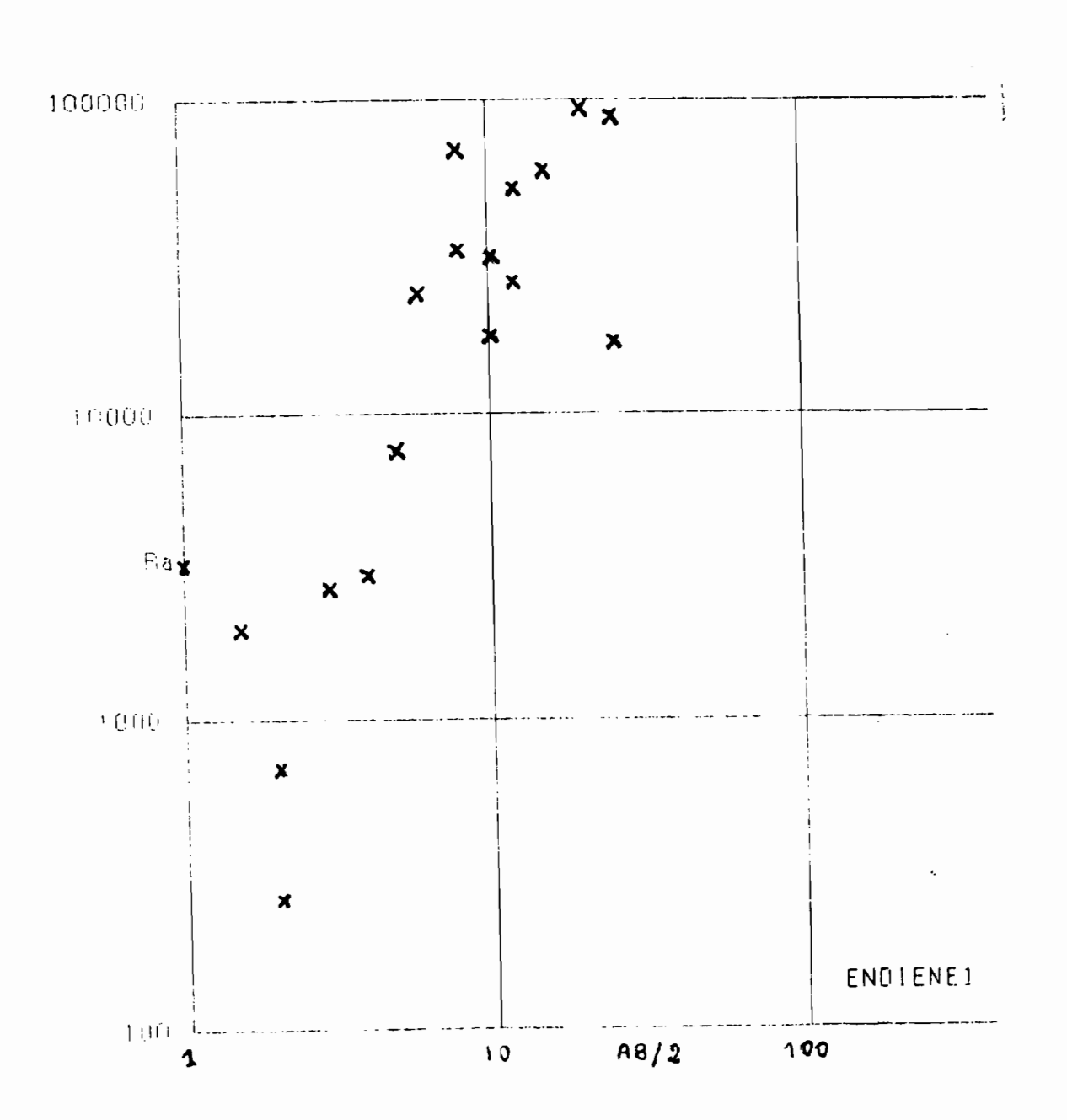
1

1

1

1

1



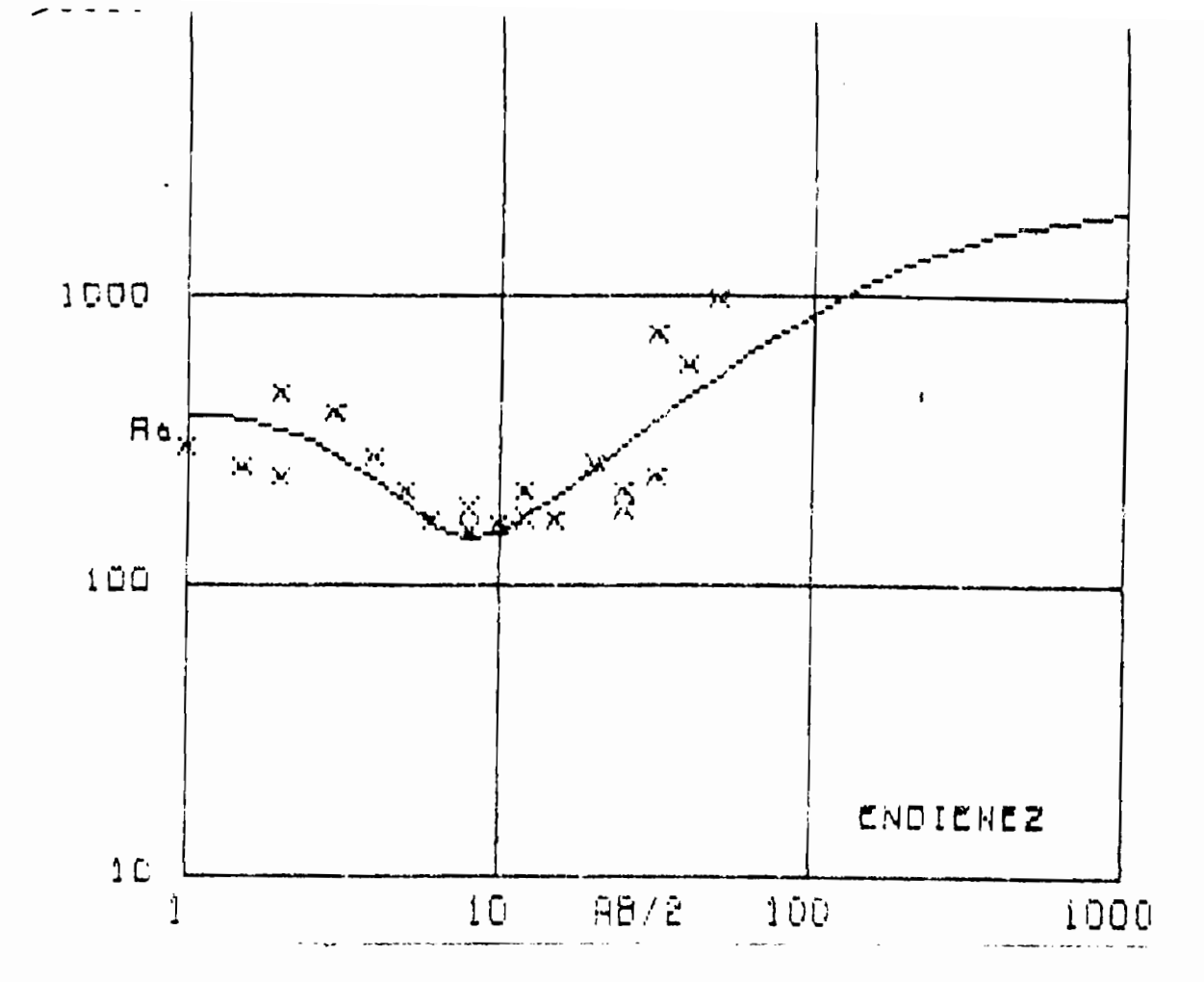
## Sondage Electrique: E Ndiéne 2

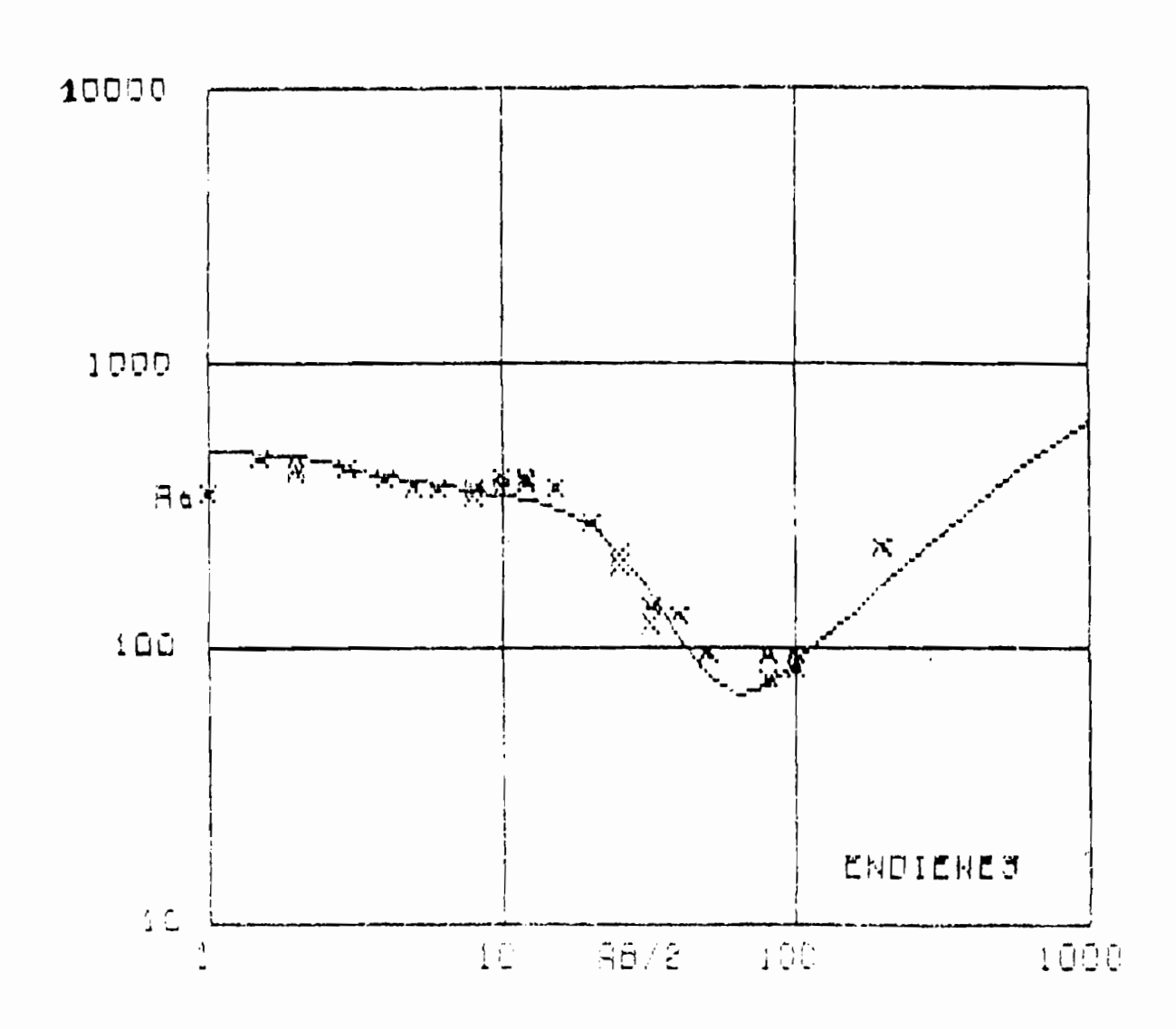
Mission	1	Azimut	N 140	Date	:15/5/91
AB/2	MN/2	V <sub>na</sub>	L	P.,	Résistivité.
1	0.2	229.7	5.8	- s	298
1.5	0.2	30.0	2.1	~ 3	251
2	0.2	16.4	2.2	- 3	232
2 3	0.5	86.0	2.2	-77	464
	0.5	20.1	1.4	-77	401
4	0.5	9.8	1.8	-78	275
5	0.5	8.5	3.2	77	1 209
6	0.5	3.93	2.7	-76	161
8	0.5	3.52	3.9	-76	180
8	1	5.83	3.9	-42	149.5
10	1	7.85	7.8	-41	157
12	0.5	2.84	6.2	-45	206
12	1	4.65	6.3	- 44	166
15	1	4.56	9.8	-41	164
20	1	2.92	7.0	-42	260
25	1	0.77	3.6	-36	210
25	5	3.37	3.6	-21	178
32	5	2.94	3.9	-19	237
32	1	1.81	3.8	42	758
40	5	1.47	1.2	-13	583
50	5	3.91	3.0	-20	999

#### SONDAGE ELECTRIQUE ENDIENE3

MISSION SE N° COORDONNEES AZIMUT E.W DATE 31/10/91

AB/2	MN/2	Vm	I m	PS	RESISTIVIT E
1	0.2	1904,4	41,7	-13	344,6
1.5	0.2	352	13,3	-13	458,2
2	0.2	418,9	31,7	-13	410,9
2	0.5	1170.9	31,6	3 2	436,2
3	0.5	319,7	20,7	32	424,2
4	0.5	149,7	20,7	32	392,4
5	0.5	104,6	22,1	3 2	368,8
6	0.5	62,1	19,2	32	362,9
8	0.5	29,7	16,4	3 2	362,7
8	1	56,5	16,3	1,37	342,2
10	1	38,6	16,2	177	369,8
10	0.5	20,6	16,3	31	396,3
1 2	0.5	11,9	13,4	30	398,3
12	1	22,9	13,6	97	377,8
1.5	1	11,2	10,8	90	363,3
20	1	3,78	8,5	83	278,3
2.5	1	2,44	11,3	79	211,0
2.5	5	11,7	11.4	-14	194,7
3 2	5	10,9	24,8	-14	137.8
3 2	1	1,85	24.8	+72	119,7
40	5	2,54	9,7	-15	129,3
50	5	2,30	19,1	-15	93,6
60	5	2,17	57,3	-18	42,5
8.0	5	1,03	27,6	-19	74.9
80	20	5,39	27,6	151	92,0
1.00	20	1,70	15,6	144	82,0
100	5	0,47	15,6	-190	93,5
120	20	1,63	5,7	130	316,5
150	2.0	4,44	13,9	124	554,6
200	20	1,49	20,7	117	225,4



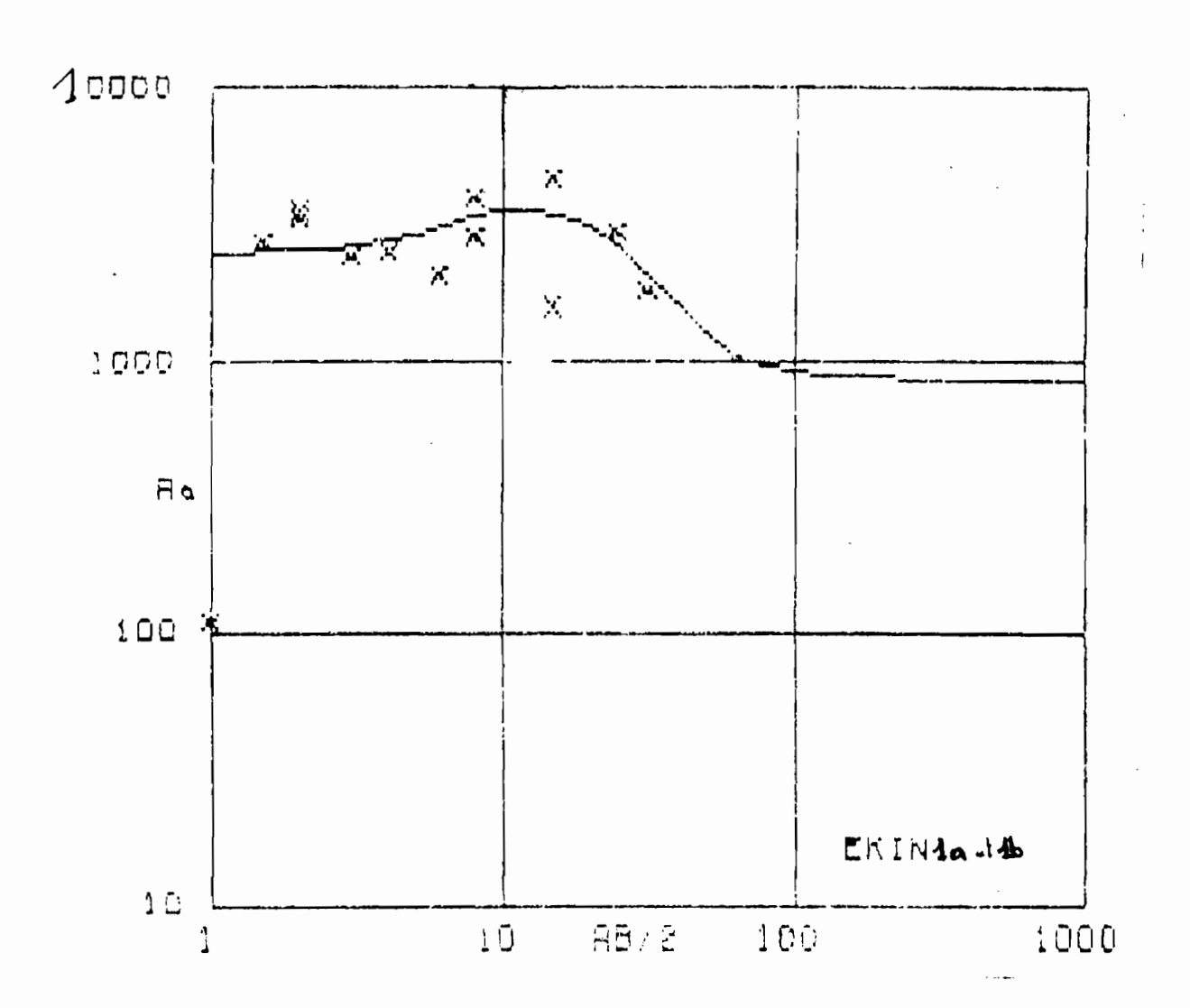


Sondage Electrique: B K.I.N. la

Mission	1	Azimut N	080	Date	:16/5/91	
AB/2	MN/2	V <sub>nn</sub>	I.	$P_{aa}$	Rėsistivit	ė.
1	0.2	39.5	1.2	-86	241	
1.5	0.2	140.8	1.1	-84	2944.4	
2	0.2	131.9	1.8	-83	2302	
2	0.5	1015.4	1.6	-91	7549	
3	0.5	88.0	1.0	94	2381	
4	0.5	647.6	6.0	-97	5341	ı
5	0.5	369.9	4.8	-100	6725	
5	0.5	79.5	4.9	122	1257	
5	1	105.4	5.1	44	183	
6	0.5	187.2	1.7	-96	12654	
6	1	31.5	2.4	-72	704	
8	0.5	435.2	1.7	-122	50134	
8	1	47.9	1.7	-39	2849	

#### Sondage Electrique: E K.I.N. 1b

Mission	1	Azimut N	080	Date	:16/5/91
AB/2	MN/2	$V_{an}$	1_	P.,	Résistivite.
1	0.2	26.2	1.8	-72	100
1.5	0.2	187.0	1.2	-71	2744
2	0.2	185.1	1.4	-70	3544
2	0.5	404.3	1.4	-119	3308
2 2 3 4 5	0.5		1.0		
4	0.5	280.3	5.6	-116	2499
5	0.5	41.1	4.7	11/	675
6	0.5	47.U	2.6	-116	2060
	1	30.9	2.5	22	6 <b>6 5</b>
8	1	59		-27	
		47.9	1.7	39	2849
10	1	75.6	1.4	-31	8907
10	2	427.8			∠6300
12	2	48.8	5.5	-36	982
12	1	4.23	5.2	14	183
15	5	24.1	1.8	-23	4667
	•	42.8	1.7	-17	1586
25	5	75.0	4.8	-26	2970
32	5	43.0	7.4	28	1814
40	5	84.7			
40	1		1.7		

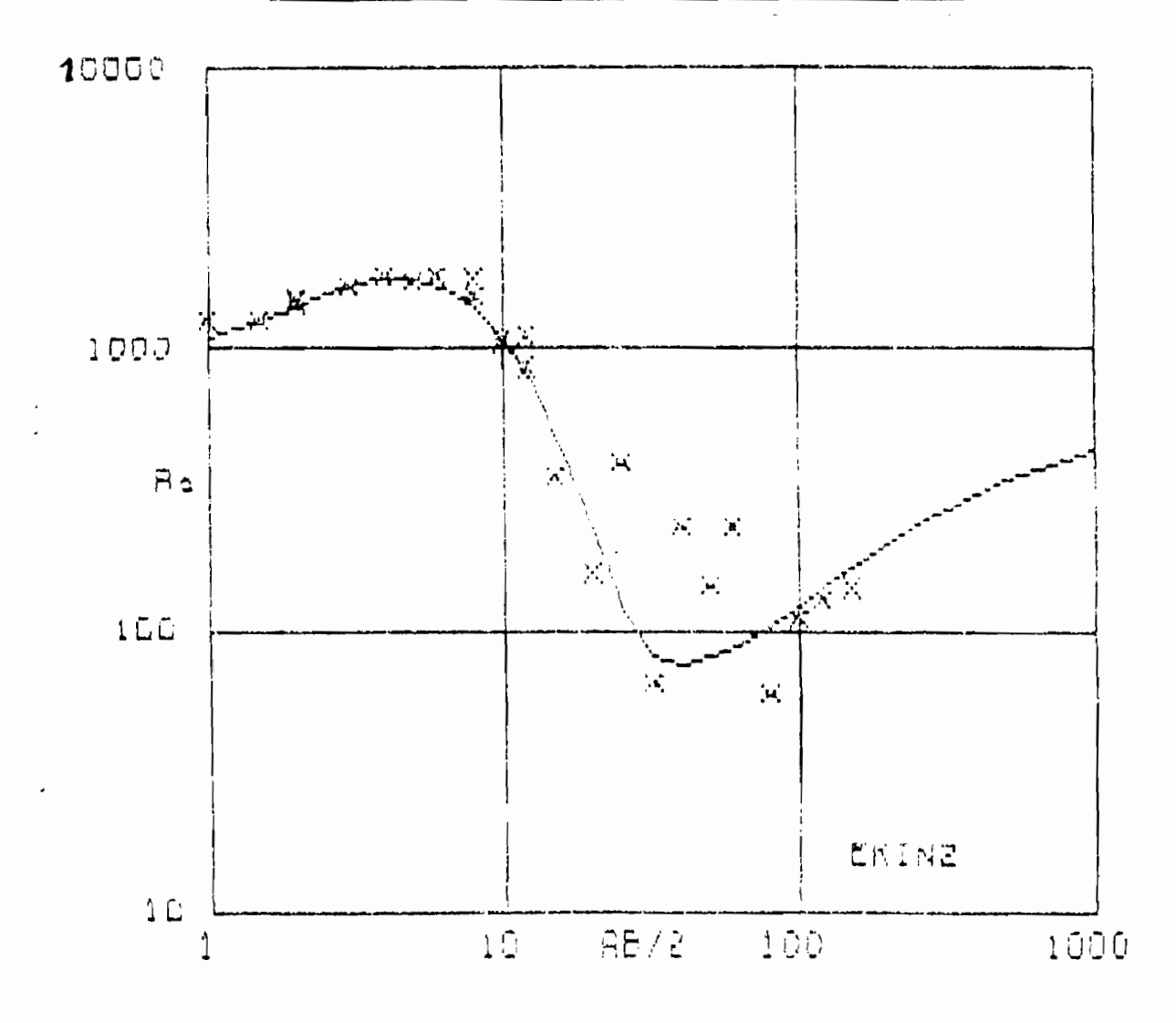


MISSION SE N° COORDONNEES 31/10/91

AZIMUT

DATE

A B / 2	MN/2	V m	l m	PS	RESISTIVIT E
1	0.2	119	1,2	- 38	1288
1.5	0.2	80,5	1,1	39	1273,2
2	0.2	47,4	1,0	39	1459,8
2	0.5	4,56	3.3	4 2	1508
		136,6	1,1	44	1517,6
3	0.5	104	1,7	41	1666,3
4	0.5	61,6	1,7	40	1806,1
_ 5	0.5	53,8	2,4	39	1746,1,
6	0.5	21,1	1,3	3 8	1844,3
8	0.5	11	1,2	38	1780,6
8	1	19,2	1,2	3 2	1575,3
10	1	12,1	1,8	29	1058,2
_10	0.5	6,42	1,8	38	1097,6
1 2	0.5	1 4	5,7	36	115,6
12	1	22	5,7	24	863
_ 1.5	1	2,18	2,2	19	352,5
20	1	0,72	2,8	19	159,0
2.5	1	1,55	1,8	19	828,4
_ 2 5	5	3,85	1,8	3.5	392,8
3 2	5	0,25	1,2	3.5	65,4
3 2	1	1,48	1,2	16	2048,8
		474	3 9	1.5	1960,4
40	5	3,12	6,6	3 4	233,7
		0.95	2,0	34	240,9
50	5	0,15	1,4	34	142,3
60	5_	0,35	1,7	_33	229,8
8.0	5	0,98	3,6	3 3	547,4
8 0	20	0,46	3,7	_8	58,6
1 00	20	0,03	14,1	8	1,8 ?
100	_5	0,5	14,2	_ 3 2	109,3
120	20	0,2	17,3	30	128
150	20	0,28	3,4	30	141,3



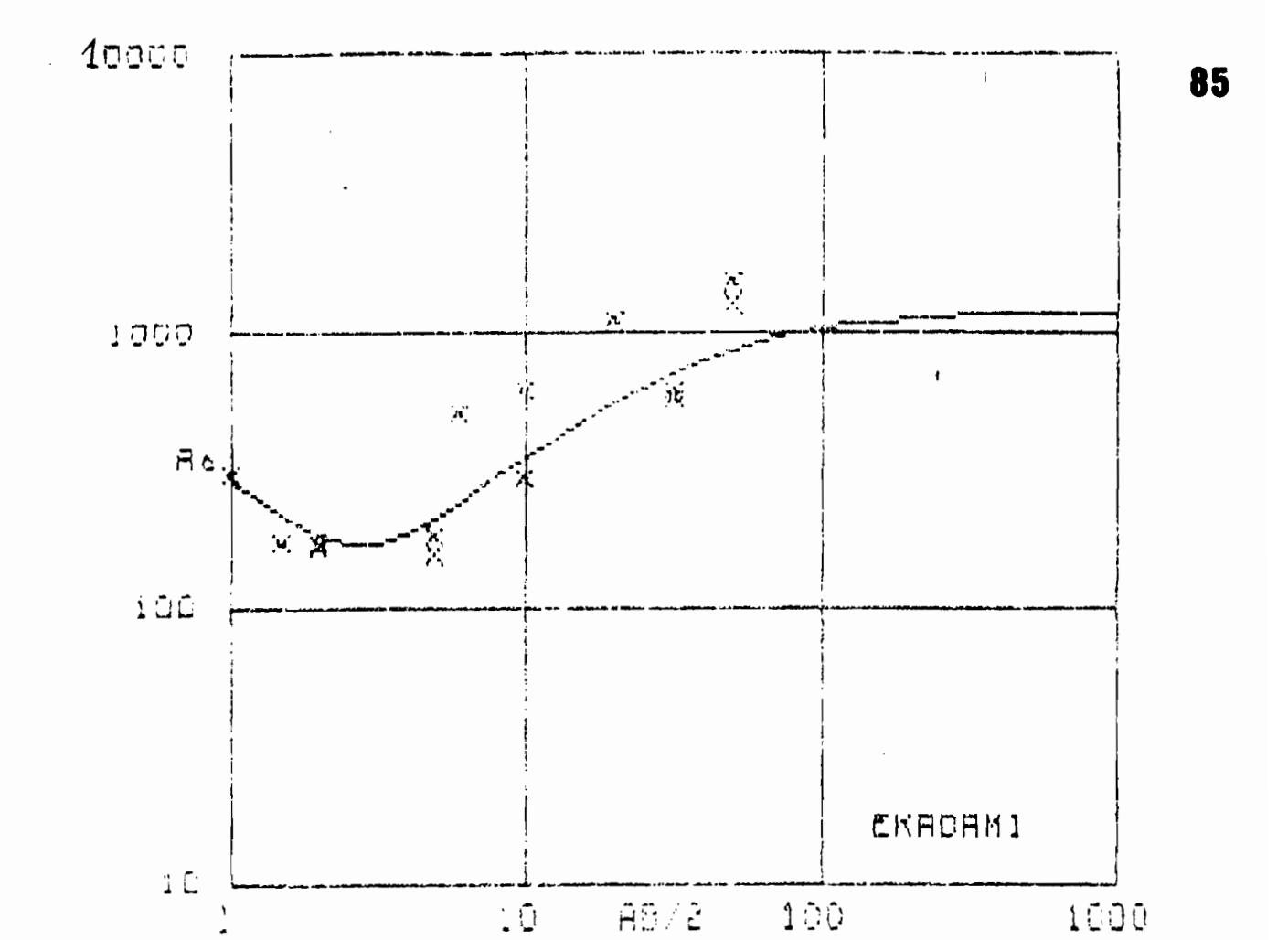
Sondage Electrique: E Kadam 1

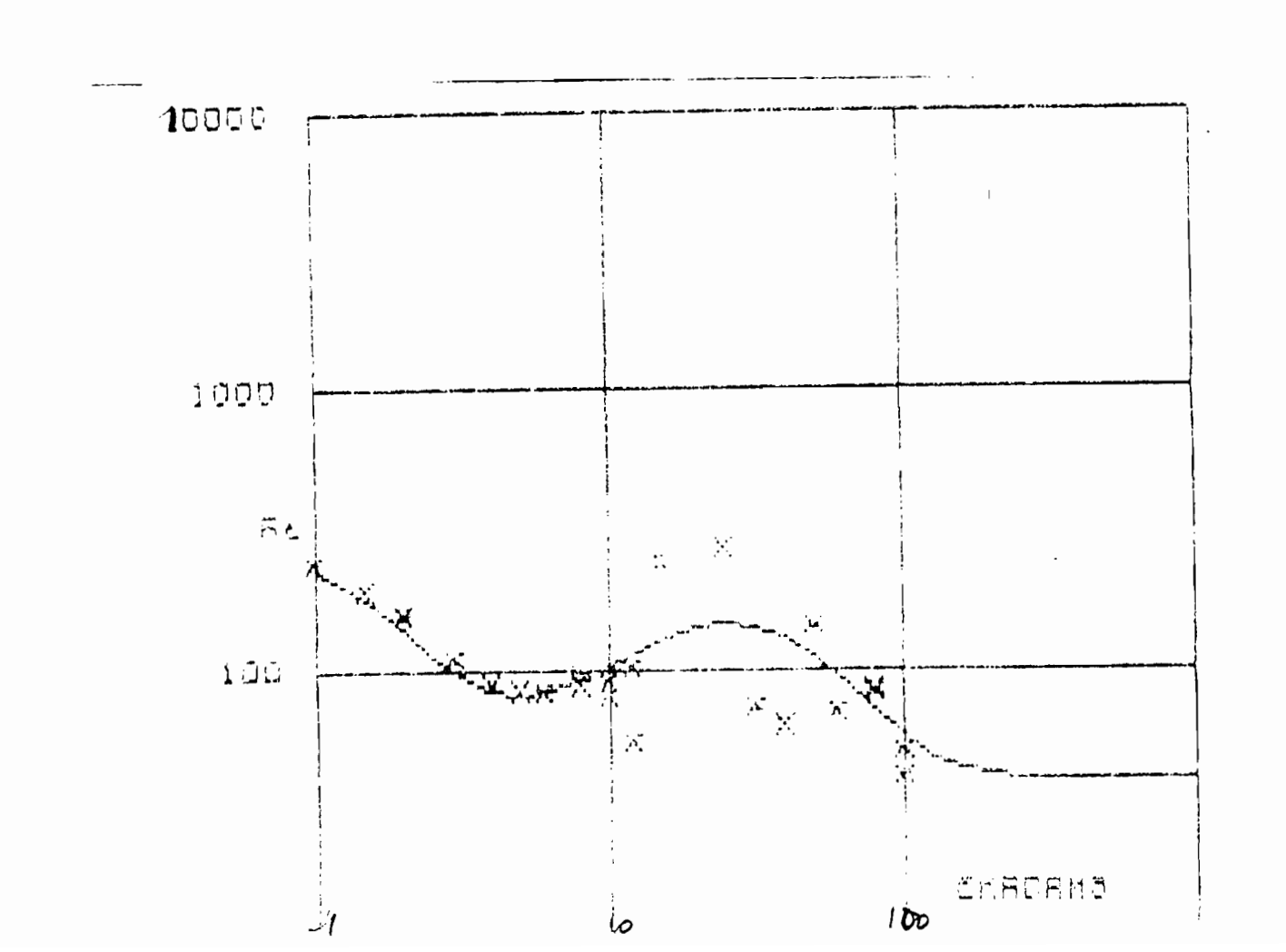
Mission	1	Azimut l	N 100	Date	:17/5/91
AB/2	MN/2	<b>v_</b>	L	۲.	Résistivité.
1	0.2	109.8	2.8	-14	295
1.5	0.2	108.5	11.3	-15	167.3
2	0.2	80.9	14.8	13	169.7
2	0.5	98.0	7.2	-15	161
3	0.5	8.6	3.5	-15	67.51
4	0.5	0.57	5.0	-15	5.6
		3.05	9.3	-16	16.2
		3.92	9.1	-16	21.3
		21.3	10.8	16	153.2
5	0.5	11.5	5.0	14	179
6	0.5	16.9	3.1	1 /	508
8	0.5		1.8	-16	4294
8	1	35.3	1.8	20	1918
10	1	20.0	10.8	20	288
10	0.5		10.5	- 10	624
12	0.5		40.5	· <b>1</b> 3	171
12	1	21.1	39.6	18	119
15	1	9.0	27.7	18	115
20	1	16.7	9.2	is	1137.9
		15.4	22.2	17	435
25	1	16.9	6.7	17	2469
25	5	34.1	12.5	15	2666
23	5	2.72	12.0	6.8	42.8
32	5		5.6	~68	52.4
32	5		1.8	, <b>6</b> 8	571
40	5		3.5	-68	624
10	,		13.6	69	171.2
50	5	5.07 6.98	12.9 <b>4</b> 2	69	194.6
55	•		3.6	~70	1298
		7.1.6	٥.6	-70	1561

#### SONDAGE ELECTRIQUE EKADAM3

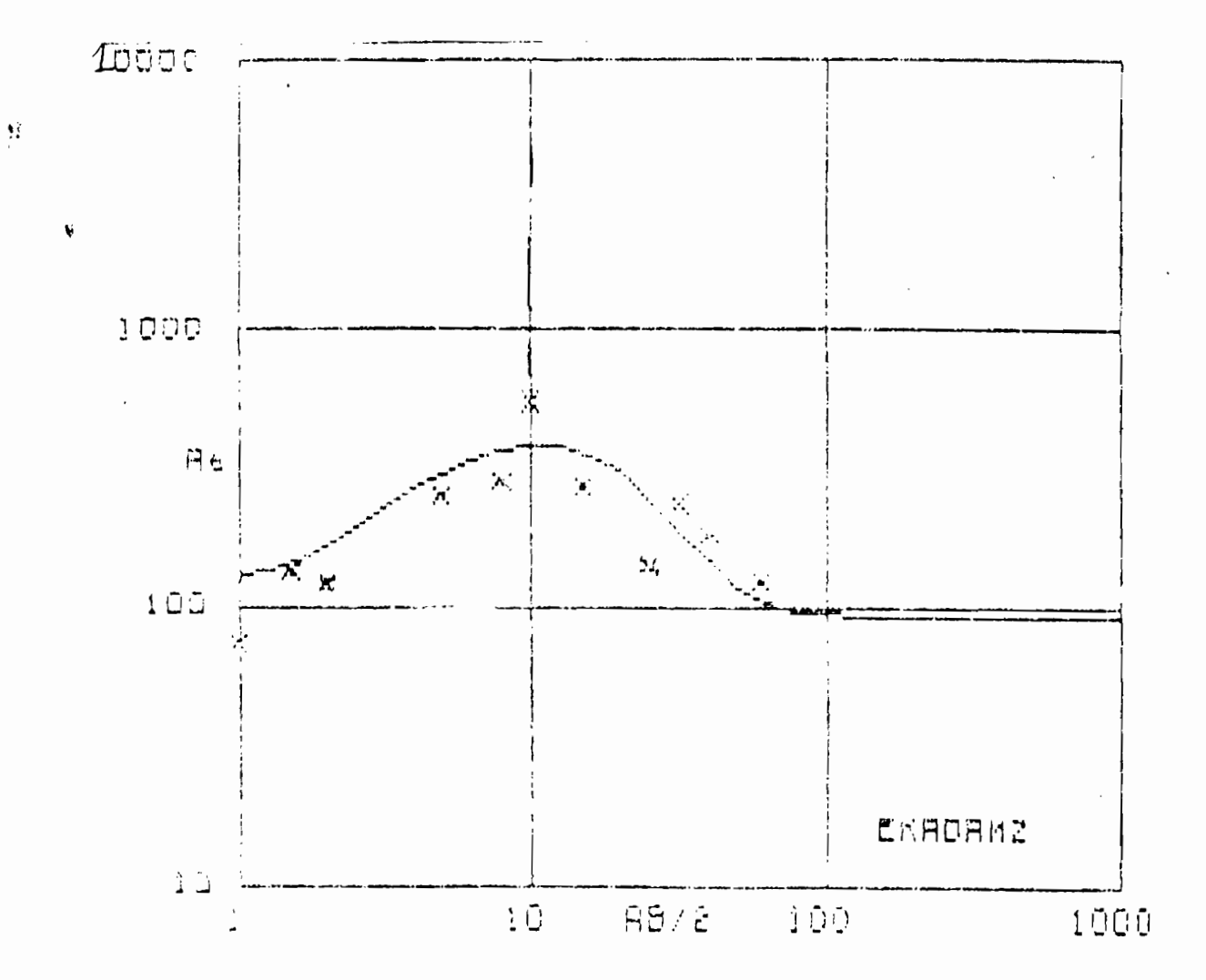
MISSION SE N° COORDONNEES AZIMUT N 045 DATE 31/10/91

AB/2	MN/2	Vm	ł m	PS	RESISTIVIT E
1	0.2	58,1	1,8	-12	244,5
1.5	0.2	26,8	2,4	- 9	195,5
2	0.2	30,6	6,0	- 7	158,5
2	0.5	79,1	6,0	3 5	155,3
3	0.5	9,3	2,3	39	108,6
4	0.5	6,91	3,9	40	88,4
5	0.5	7,83	7,3	4 1	83,8
6	0.5	6,00	8,1	4 1	83,0
8	0.5	2,48	5,7	4 2	86,5
8	1	5,63	5,7	14	96,9
10	1	2,44	4,2	12	90
10	0.5	1,08	4,2	44	79,9
12	0.5	0,43	3,5	44	55,2
12	1	1,88	4,2	- 0	101,2
1.5	1	2,28	3,2	- 3	249,2
20	1	1,98	3,2	- 4	389,5
2 5	1	0,73	2,5	- 4	280,7
2 5	5	0,50	2,6	30	36,8
3 2	5	0,30	3,8	28	25,4
3 2	1	0,17	3,7	- 7	73,2
40	5	0,31	2,5.	27	62,8
50	5	0,32	1,8	27	142,5
60	5	0,22	3,5	21	7 1
80	5	0,19	4,5	21	85,3
80	20	0,8	4,6	40	81,8
100	20	0,56	10,2	40	41,5
100	5	0,16	10,1	18	50,6





Mission	1	Date:18/5/91				
AB/2	HN/2	. V <sub>a.a</sub>	L	₽	Resistivité	٠.
1	0.2	152.1	15.7	10	72.9	
1.5	0.2	26.2	3.4	- 10	134.3	
2	0.2	15.5	4.1	i i	118.8	
2 3	0.5	41.8	4.0	31	124.0	
3	0.5	83.4	36.9	31	62.0	
4	0.5	74.6	42.6	30	86.6	
5	0.5	64.3	19.4	31	257.5	
6	0.5	72.3	94.2	31	86.1 /	
8	0.5	56.4	14.5	30	181.3	
8	1	42.3	14.5	51	288.2	
10	1	40.3	11.3	4 년	556.2	
12	0.5	59.9	10.9	69	1728.8	
12	1	69.1	3.2	68	9680.8	
15	1	48.1	2.6	50	4109.8	
20	1	44.4	57.1	49	4/3.6	
20	1	48.3	16.6	48	1823.6	
25	1	236	165.8	<i>13</i> 1	139.5	•
		17	116.5	82	143.5	
25	5	30.6		81	49.6	
		14.6	55.6	82	49.4	
32	5	12.5		8 i	61.5	
32	1	9.4	ს 2.8	55	239.7	
40	5	5.92	15.9	79	183.8	
50	5	1.26	15.5	81	63.1	
60	5	3.31	30.2	19	122.4	
80	5	6.73	8.7	80	1549.1	
		14.4	19.4	79	1481.5	



" Trainé " Wenner: AB/3 = 4 m

Mission	1	Azimut N	145	
N Point mesure	de V.	Ţ.	ь.	Résistivité.
1	37.8	20.0	2	47.5
2	24.3	11.7	36	52.2
3	26.2	20.9	95	31.5
4	35.8	26.8	-88	33.7
5	69	56.5	-5	30.7
6	360	23.2	16	39.0
7	55.3	25.3	-33	55
8	100	49.8	91	50.4
9	148.7	36.5	-16	102.5
10	63.2	13.6	- 36	117
11	74.6	18.3	-81	102.7
12	68.5	16.0	58	107.6
13	19.8	8.4	-14	59
14	34.7	15.1	55	57.5
15	40.1	17.5	18	57.5
16	30.8	12.6	78	61.1
17	26.3	12.1	-73	~54.9
18	50.2	16.7	30	-75.8
19	11.1	8.4	16	33.2
20	30.2	U . Z	i İ	92.J
21	60.8	15.7	-107	97.3
22	25. i	1.50	7.3	04.2
23	42.8	16.2	16	66.3
24	63.7	33.3	9.2	48.1
25	41.6	18.6	59	56.3
26	153	84.9	46	45.3

" Trainé " Schlumberger: AB/z = 15 m , MN/2 = 2 m

Mission 1		Azimut		
N Point de mesure	V.		F	Résistivité.
1	1.17	16.2	0	12.6
2	51.4	13.5	149	560.5
3	5.52	13.2	-96	72.7
4	1.97	18.8	10	68.6
5	5.86	14.8	3.1.2	68.6
6	13.2	53.0	; .;	43.7
7	15.4	67.7	-116	39.5

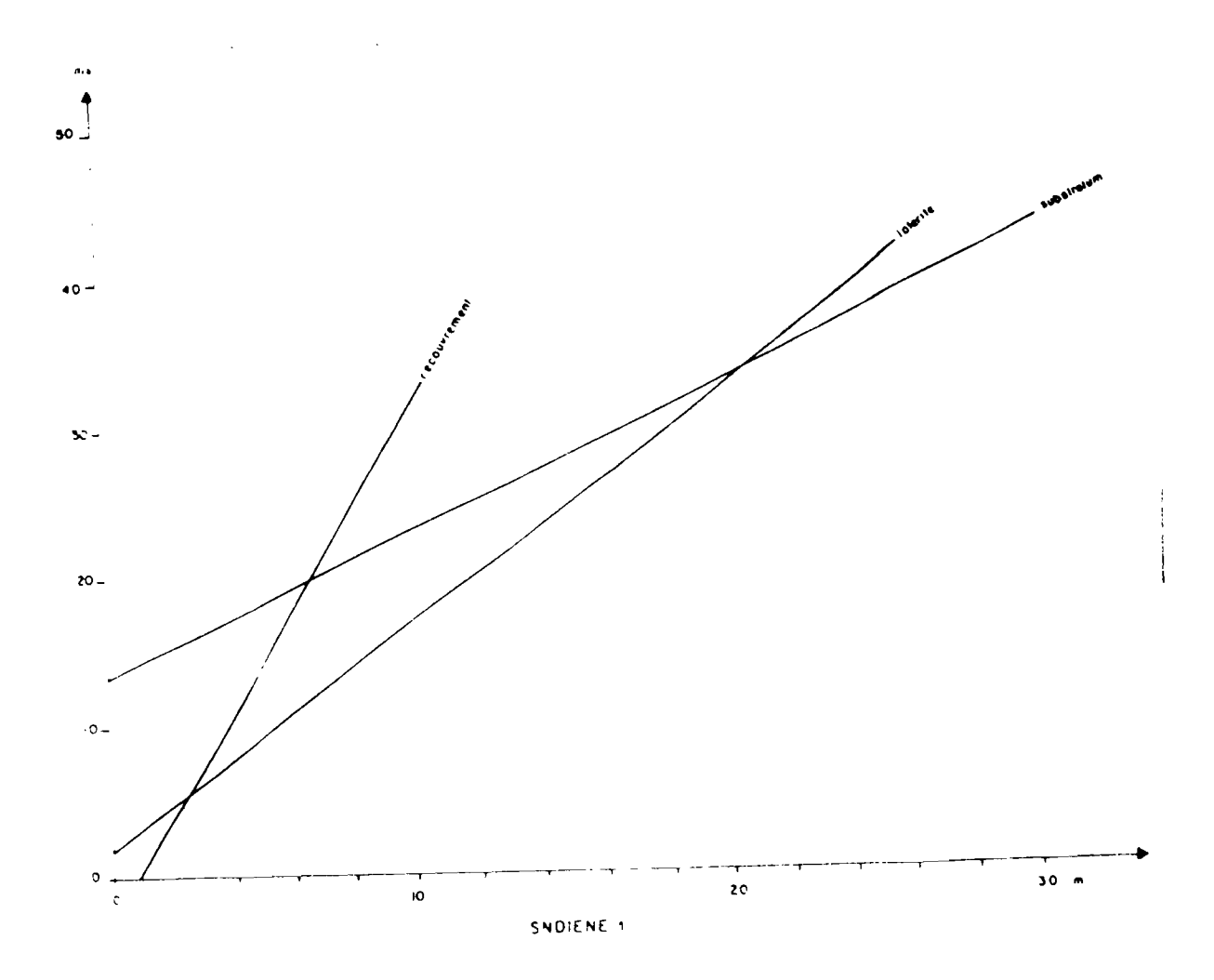
NB.: Le premier point du "trainé" Schlumberger correspond au point 26 du Wenner.

Sondage sismique: Ndiéne 1

Azimut: N 030

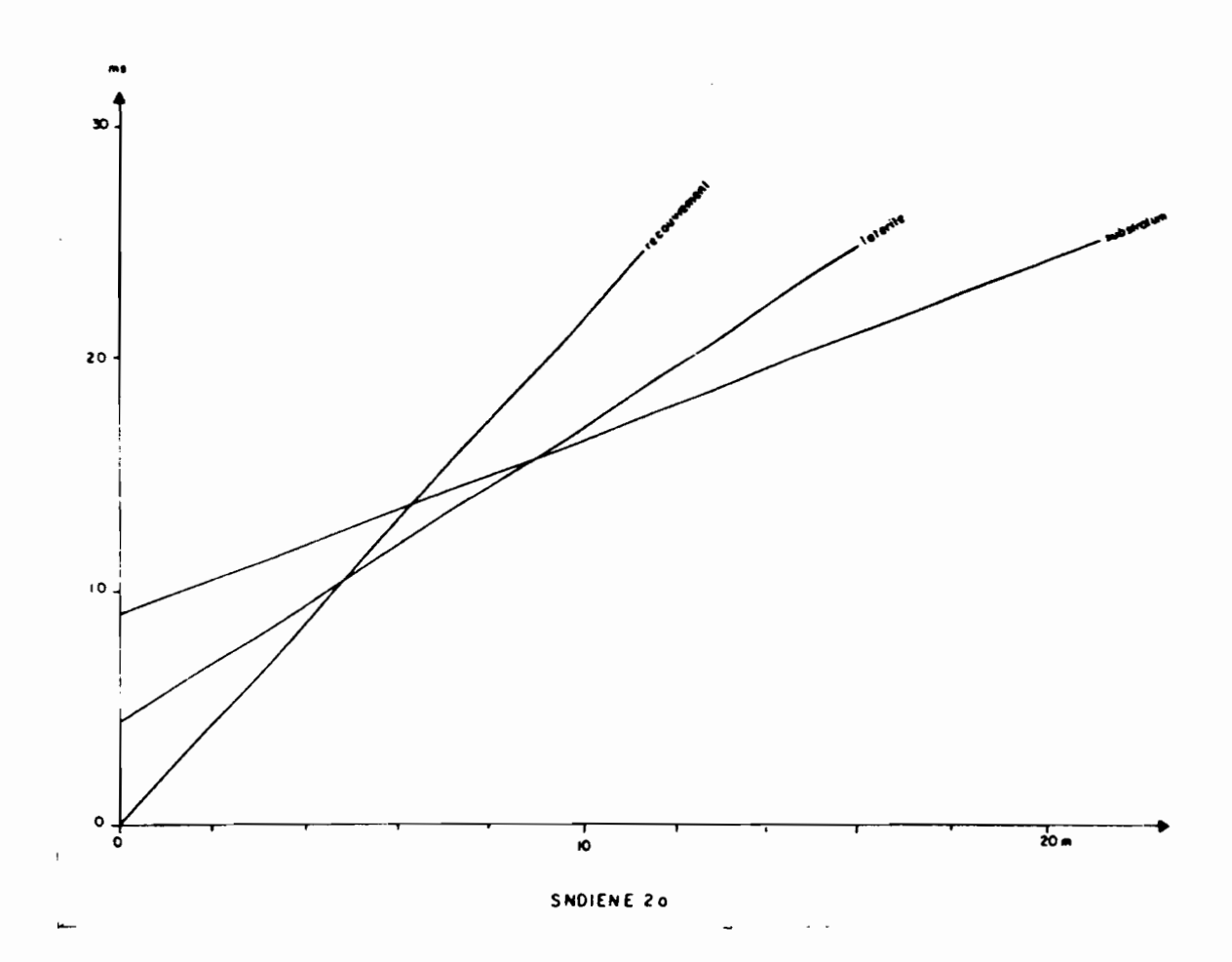
X ( m )	Temps (	ms)
1 1.5 2 2.5 3 4 5 6 7 8 9 10 11 12 15 17 20 22 24 26	C. 0.3 C. 2.5 C. 4.2 C. 5.7 C. 7.3 C.10.3 C.12.2 C.13.7 C.16.2 C.16.1 C.20.2 C.22.6 C.24.0 C.25.8 C.30.3 C.32.6 C.34.2 C.45.4 C.45.4 C.45.4 C.46.0 C.48.0	D. 5.5 D. 8.4 D. 9.7 D.11 D.13.6 D.18 D.18.9 D.20.9 D.21.0 D.25 D.27.6 D.38.8 D.36.2 D.39.2
28 30	C.50.4	D.43.2

C = Compression D = Dilatation

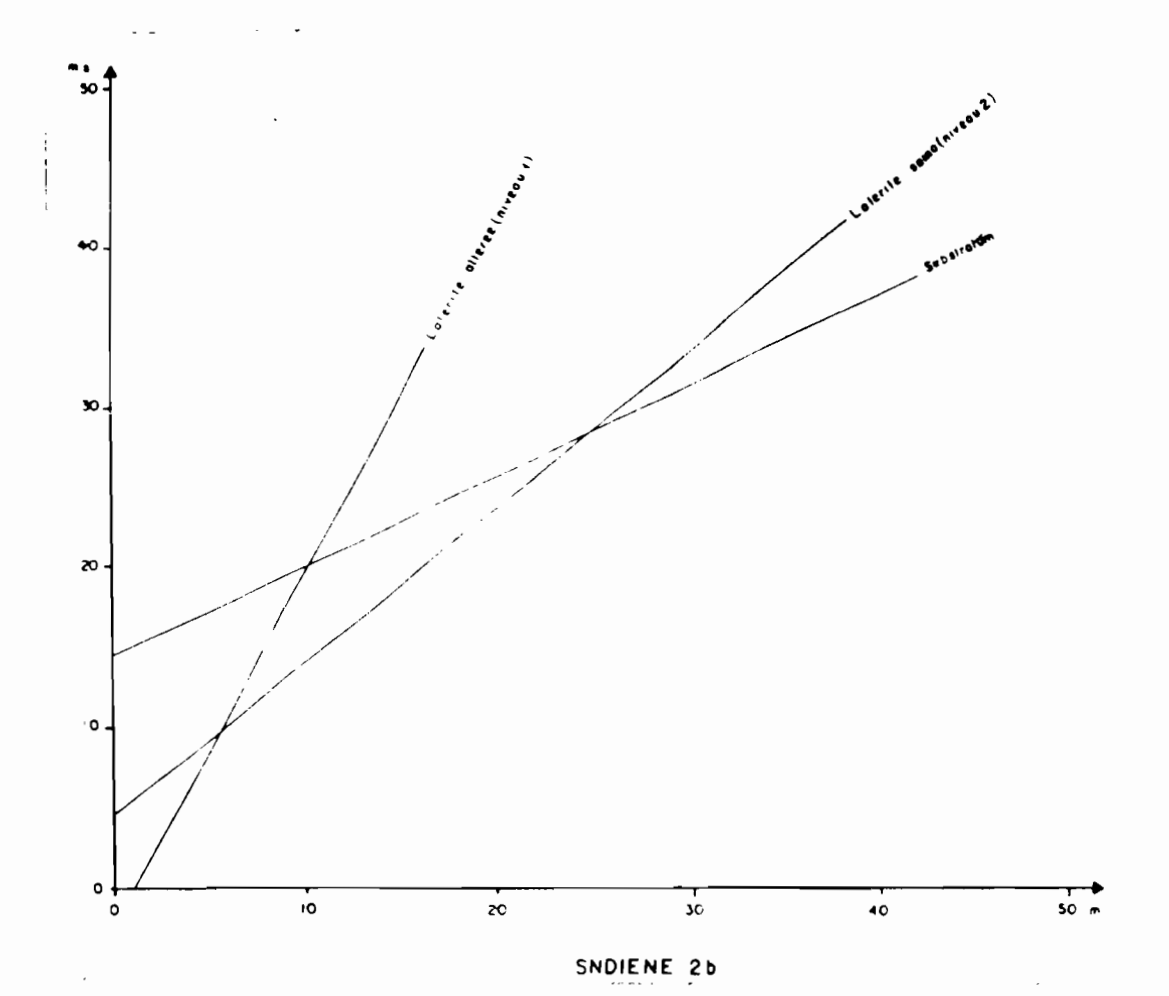


AZIMUL: SE NW

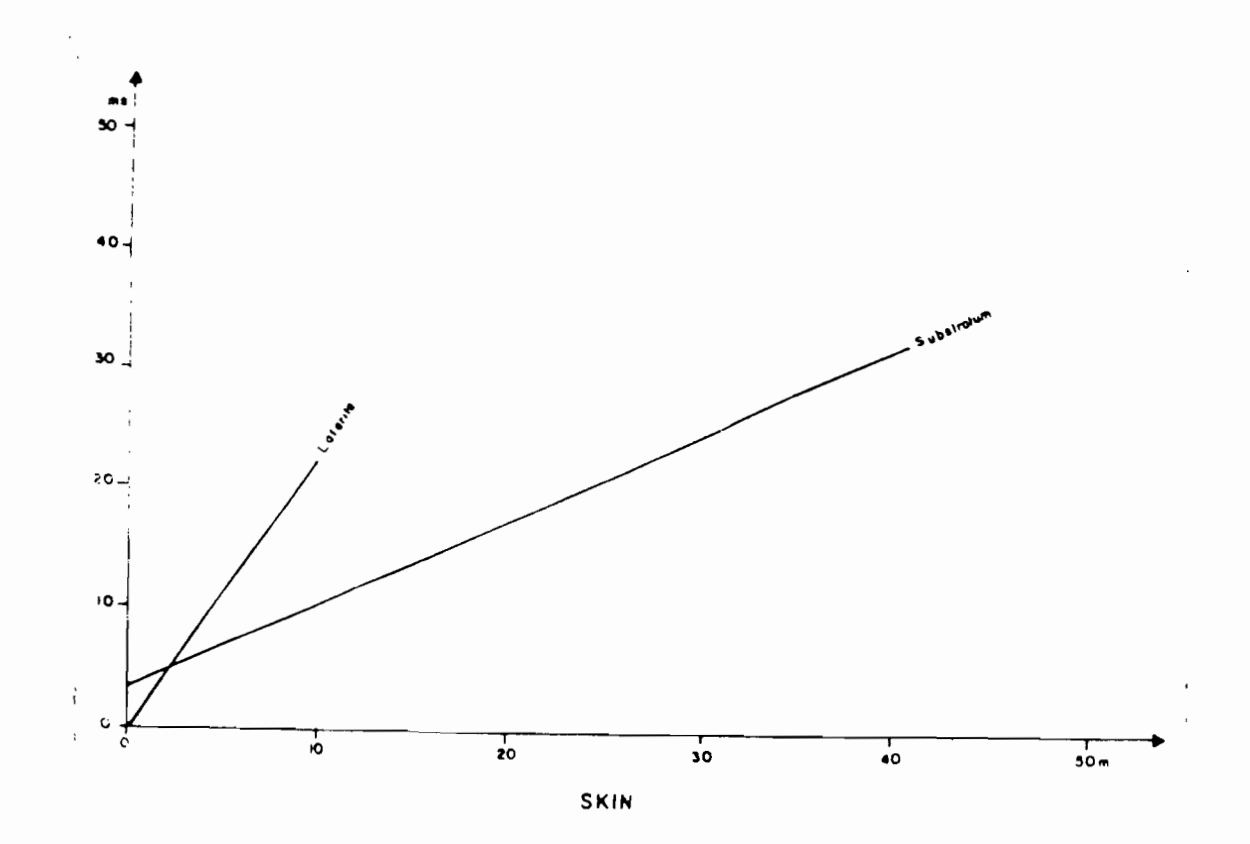
X ( m )	Temps ( ms )
ı	1.2
1.5	2.6
.:	6.5
2.5	5.7
3	<b>ც.4</b>
3.5	9.9
4	11.4
4.5	12.3
1,	12.4
5.5	13.6
ь	14.5
7	15.5
8	15.8
9	17.3
10	18.1
12	20.2
14	21.3
16 ,	23.8
18	26.1
20	27.5



X (m)	Temps (	ms )
1		C. 2
1.5	D. 1.7	C. J.1
2	D. 2.6	C. 3.7
2.5	D. 3.9	C. 5.6
3	D. 4.9	C. 6.7
3.5	D. 4.7	C. 7.3
4	D. 5.3	C. 9
4.5	D. 8.1	C. 10.4
5	D. 9.1	C.11.5
5.5	D. 9.4	C 11.8
6	D. 9.3	C.12.4
7	D.11.4	C.13.4
8		C.14.4
9	D.14.1	C.15.7
10	D.14.2	C.16.5
12	D.16.5	C.18.1
14		C.20.6
16	D.21.4	C.24.1
18		C.24.6
20	D.23.7	C.26.7
22	C.25.2	28.4
24		C.30.3
26		C.33.5
28		C 34.1
30	D.34.0	C.36.3
32	D.33	C.37.1
34	D.34.2	C.38
36	D.33.8	C.31.9
38	D.35.9	C.39.7
40	D.37.5	C. 40.4
45		C.45.6
	., .	



X (m)	'Fei	mps ( Ms )	X ( 1	m) Te	mps ( ms
1	0.9		1.5	ī	2
1.5	1.9	0.8	1.	2	4
2	5.3	2.3	3	3.8	6.9
2 2.5	7.1	6.1	4	7.8	1.3
3	8.2	6.9	5	7.7	11.1
3 4	9.6	6.9	6	3.1	19.5
5	10.8	9.6	7	7.8	21.0
			R	6	41.4
6	7.6		9	9.u	23.2
	19.3		10	10.6	23.8
			11	31.2	45.2
			12	11.7	26.1
			1.3	12.6	
			14	14.3	
			15	14.6	
			16	15.5	
			17	16.1	
			18	16.9	
			19	17.9	
			20	18.2	
			22	19.5	
			24	21.1	
			26	22.1	
			28	23.6	
			30	25.4	
			32	26.9	
			34	78.9	
			36	29.3	
			38	30.4	4/.6
			40	36.0	54.8
			4.:	.5 / - 6	55.2
			44	4 U	
			46	4 2	
			48	45.6	82.4
			50	45	3 to

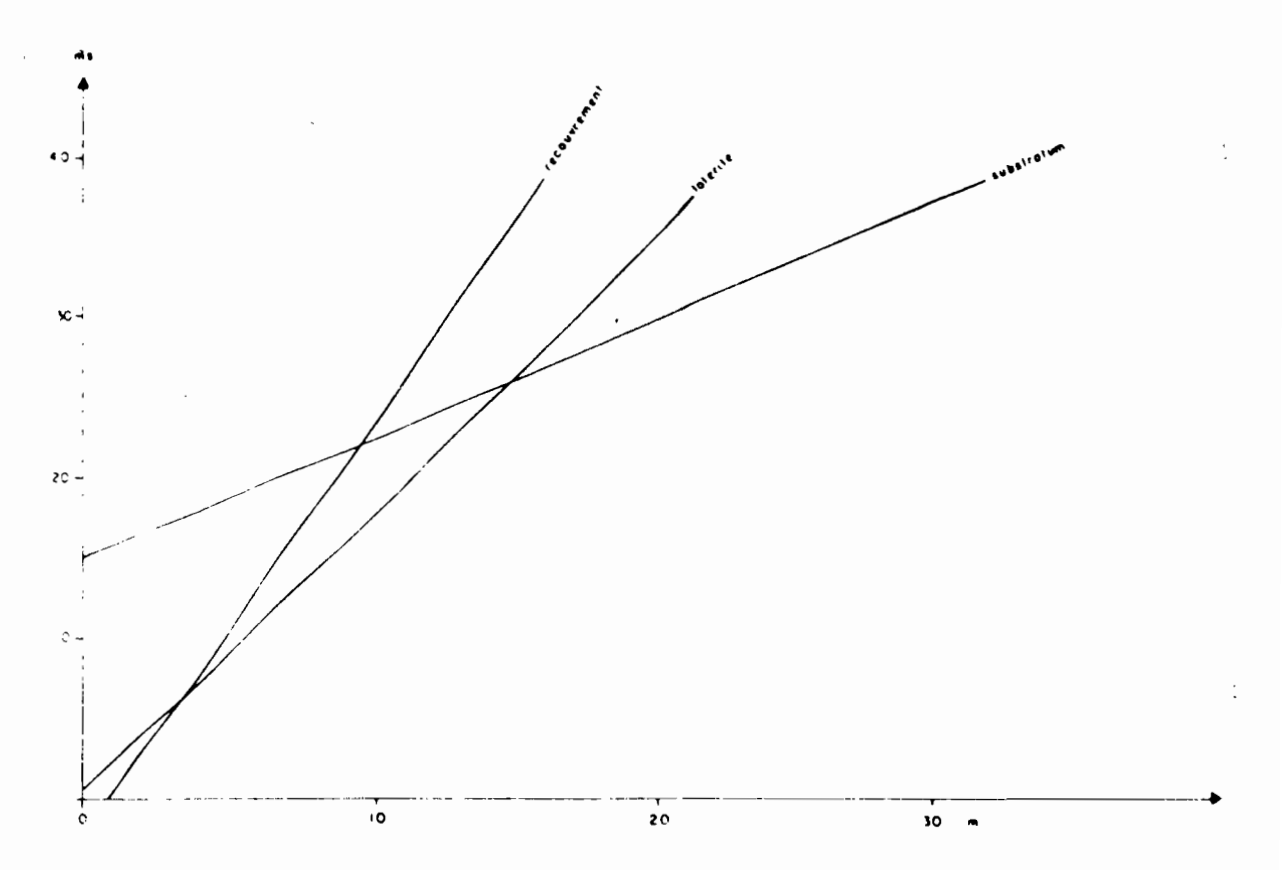


Azim	ıt	: N	100	
X	(		)	

Temps	(	MS	)

92

1	0.3		
1.5	1.4		
2	4.8	3.2	
2.5	6.0	4.4	
3	7.1	5.5	
3.5	8.9	6.5	
4	10.1	7.6	
4.5	10.5	8.2	
5	11.3	9.1	
5.5	12.2	9.9	
6	13.3	1υ. υ	
6.5	14.5	11./	
7	15		
7.5	15.1	11.5	
8	16.4	12.9	
8.5	17.6	13.1	į
9	18.7	13.7	1
9.5	20.3		
10	20.9	16.5	
11	24.2	20.4	
12	26.3	22.3	
13	26.9	22.8	
14	28.8	24.9	
15	30.0	26.5	
16	30.2	27.0	
17	31.5	27.9	
18	32.3	28.6	ĺ
19	33.0	28.7	,
20	33.9	29.8	
21	34.9	30.0	
22	35.6	30.9	
23	36.2	31.3	
24	37.7	32.8	
25	39.0	33.7	
26	39.0	34.6	
27	40.6	(5.6	
28	40.4	34.4	
29	42.2	36.7	
30	43.1	38.5	



SKADAM 1

Azimut: N 045

Х	1	m	1	Temps	(	mз	,
^	٠,	111	,	1 01115	•		

1	د.0	0.7
1.5	2.1	1 - L
2	3.5	۷.5
2.5	4.1	2.0
3	5.6	3.6
3.5	5.8	4.1
4	7.1	5.5
4.5	6.2	
5	7.4	
5.5	υ. ι	
6	8.7	
ű.5	5.1	
7	9.5	
1.5	10.1	
8	10.7	
8.5	10.8	
9	11.3	
9.5	11./	
10	11.8	

